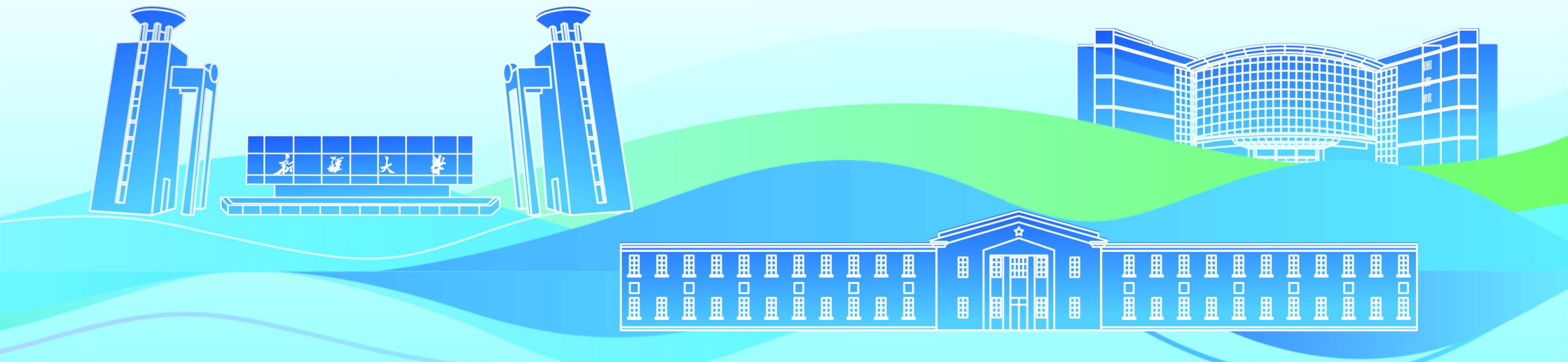
新疆大学发明专利推荐目录

2026年10月



新疆大学发明专利推荐目录

序号	申请号	专利名称	IPC分类号	DPI星级	授权公告日	摘要
1	CN202410627793.3	基于增强现实远程控制的视觉喷洒机器人的施药方法	A01M	4星	2025.11.07	本发明提供一种基于增强现实远程控制的视觉喷洒机器人的施药方法，涉及农业智能机器人领域，喷洒机器人包括施药机器人与虚拟机器人，施药机器人与虚拟机器人相互对应，施药机器人包括移动底盘、机械臂、双目视觉系统、喷洒系统、传感系统与控制模块，虚拟机器人包括显示器、手势虚拟模块与工控机；具体方法为：通过双目视觉系统实现田间虫害信息的实时采集，并通过进行虫害目标识别、虫害坐标计算、运动轨迹规划与喷洒决策调控，利用手势虚拟模块对规划的运动轨迹进行验证，最终输出至施药机器人。该方法能对田间病虫害区域进行精准化作业，稳定性好、安全系数高，且能够解决施药过程中出现的突发状况。
2	CN202211518184.1	一种基于聚类的可扩展的分片共识算法	H04L	4星	2025.06.24	本发明为一种基于聚类的可扩展的分片共识算法。一种基于聚类的可扩展的分片共识算法，包括以下步骤：(1)使用K-prototype聚类算法对网络中的节点，根据混合属性进行分片处理；(2)将各个所述的分片处理相应交易进行共识流程、合并与分发流程；(3)动态重新分片：在网络所设定的时间间隔结束后，K-prototype聚类算法对网络中的所有节点进行重新分片；(4)选取分片代理节点与全局代理节点。本发明所述的一种基于聚类的可扩展的分片共识算法，在显著降低通信复杂度与提高系统吞吐量的同时，保证了系统的安全性与可靠性。
3	CN202210702752.7	一种基于代谢病的事理知识图谱的构建方法及系统	G06N	4星	2025.03.25	本发明涉及一种基于代谢病的事理知识图谱获取方法及系统，首先获取代谢病相关数据，识别出代谢病相关数据文本中的触发词及其对应的事件类型，然后针对每个事件触发词及事件类型构建对应的问题，将问题与上下文拼接后输入模型以抽取事件其他组成部分，获得完整事件表述，然后判断各完整事件之间的关系，最后根据所抽取的信息构建代谢病事理知识图谱。本申请上述方法充分利用临床信息构建知识图谱，构建更加完善的代谢病知识图谱，可以帮助科研工作者或医疗从业人员快捷方便的查询相关的知识，辅助临床医生做科学决策，另一方面也可以为代谢病相关的各种智能服务提供数据支撑。
4	CN202210697836.6	用于检测重金属离子的荧光传感器阵列的制备方法及应用	G01N	4星	2025.01.28	本发明提供了一种用于检测重金属离子的荧光传感器阵列的制备方法，该方法为：将氯化十六烷基吡啶溶液与氢氧化钠溶液混合，然后进行水浴超声，使用二氯甲烷进行纯化，然后用透析袋透析，得到CPC-CDs溶液；将不同浓度的重金属离子溶液加入至两组pH环境下CPC-CDs/XO传感溶液，获得荧光传感器阵列。还提供了应用，用于重金属离子Cr6+、Fe2+、Fe3+、和Hg2+的检测。本发明通过调节体系pH环境简化了阵列构建步骤，通过加入二甲酚有效改善了碳点与重金属离子间缺乏亲和力的缺陷，能够同时检测多种金属离子(Cr6+、Fe2+、Fe3+、和Hg2+)，具有较高的灵敏度，选择性好，用于环境中重金属的检测。

新疆大学发明专利推荐目录

序号	申请号	专利名称	IPC分类号	DPI星级	授权公告日	摘要
5	CN202210684392.2	一种基于音素嵌入的语音识别方法	G10L	4星	2025.04.25	本发明公开了一种基于音素嵌入的语音识别方法，方法包括：将m+n层的编码器Encoder的前m层当作声学模型，用于音素信息学习，可使用目标语言数据和其他语种数据训练声学模型；后n层和解码器Decoder当作语言模型，可以结合前m层输出的上下文语义信息用于目标语言的识别，可以使用目标语言的纯文本数据训练语言模型；通过学习音素信息嵌入去学习Encoder中间层的输出，在音素信息嵌入学习之后，使用大量纯文本数据生产音素序列，经过音素信息嵌入生成与Encoder中间输出接近的特征序列，传入语言模型，通过Decoder的训练输出真实的文本标签。有效利用了大量文本数据来训练模型，解决了Decoder依赖Encoder输出的问题。
6	CN202210511221.X	基于混合注意力机制的发电机故障检测方法	G06F	4星	2025.03.25	本发明公开了一种基于混合注意力机制的发电机故障检测方法，首先采集风电机组发电机历史正常运行时的SCADA系统监测信号，获取训练数据集；其次建立基于混合注意力机制的长短期记忆自编码器，在编码器中引入空间注意力机制，在解码器中引入时间注意力机制，以重构误差最小为目标训练整个自编码网络模型，并提取训练数据集的深度特征；构建发电机故障检测模型，首先计算各深度特征的平均值，然后采用马氏距离计算各样本的状态指标，对训练集的状态指标序列进行平滑处理，采用核密度估计方法计算健康阈值；最后采集待检测发电机的监测信号，获取测试数据集，将测试数据集输入到发电机故障检测模型中，输出发电机故障检测结果，判断发电机故障与否。
7	CN202210451005.0	场景文本检测系统	G06V	4星	2025.09.02	本发明涉及属于文本检测领域。本发明提供场景文本检测系统，包括：图像获取单元，特征提取单元，特征融合单元以及可微分二值化模块，其中，特征提取单元，用于使用Resnet提取原始图像的特征图，所述Resnet骨干网络中嵌入残差校正支路；所述残差校正支路，用于在Resnet对原始图像进行常规卷积获得输入特征后，构成两个支路；其中一支路通过下采样将输入特征转换为低维嵌入，由该低维嵌入来校准另一支路中卷积核的卷积变换，并最终得到原始图像的特征图；最终根据目标特征图确定图像中的目标文本区域。本发明引入了残差校正支路(RCB)来扩大感受野，来提升获取上下文信息的能力，从而获得更大感受野的上下文信息。
8	CN202210148066.X	基于云服务的机器人多传感器融合定位导航系统及方法	B25J	4星	2023.08.04	本发明公开了基于云服务的机器人多传感器融合定位导航系统及方法，包括机器人和导航云服务平台，所述机器人包括室内移动机器人底盘、车载计算机、三维激光雷达、深度相机和液晶显示器，所述室内移动机器人底盘包括全向轮、壳体、减震器、型材架、安装板、驱动电机、驱动控制板和车载电池，所述导航云服务平台包括机器人端、云服务器、客户端和网络设备，机器人在感知、检测外部环境完成地图构建的基础上，自主完成实时感知、判别所处环境特征，标定当前所处位置，更新局部地图，依据环境信息完成符合社会约束、任务约束等多评价指标的最优路径规划，以此规划结果控制机器人执行机构抵达目标位置。

新疆大学发明专利推荐目录

序号	申请号	专利名称	IPC分类号	DPI星级	授权公告日	摘要
9	CN202210071712.7	蛛网结构混纺防水透湿膜的制备方法	D04H	4星	2023.04.25	本发明涉及一种蛛网结构混纺防水透湿膜的制备方法，制备方法为：先将含A和B的混纺纺丝液进行静电纺丝制得串珠结构混纺A/B防水透湿膜，再对串珠结构混纺A/B防水透湿膜依次进行烘干和加热处理得到蛛网结构混纺防水透湿膜，其中，加热的温度在串珠结构混纺A/B防水透湿膜的玻璃化转变温度以上、熔点温度以下；或者为：先将含A和B的混纺纺丝液进行静电纺丝制得网状结构混纺A/B防水透湿膜，再在网状结构混纺A/B防水透湿膜的表面将含A和B的静电喷雾液进行静电喷雾得到蛛网结构混纺防水透湿膜。本发明的方法，通过静电纺丝结合热处理或者静电喷雾，简便有效，有效提高了膜的防水性能以及力学性能。
10	CN202210059594.8	视网膜血管图像分割方法、装置及相关设备	G06F	4星	2024.12.17	本发明涉及计算机视觉图像处理领域，公开了一种视网膜血管图像分割方法和装置。所述方法包括：在数据处理阶段，首先获取待检测的视网膜血管图像；然后，对视网膜眼底图像进行数据增强和预处理；在训练阶段，首先构建基于Transformer优化的网络模型，再用处理好的训练图像进行网络模型训练；在测试阶段，将所述视网膜血管图像输入训练好的网络模型中进行图像分割；最后，对网络模型输出的多个视网膜血管图像的预测结果取加权平均获得每个像素的分类概率，得到最终的分割结果图，采用本发明提高对视网膜血管图像的分割精度。
11	CN202111666478.4	一种基于云模型和改进DS证据理论的变压器故障诊断方法	G06F	4星	2024.05.14	本发明公开了一种基于云模型和改进DS证据理论的变压器故障诊断方法，包括：步骤1、获取变压器油中溶解气故障样本，建立变压器的故障样本集；步骤2、采用故障样本集建立各类型故障的故障标准云模型；步骤3、计算待诊断样本与故障标准云模型间的最终隶属度矩阵；步骤4、根据最终隶属度矩阵确定不同故障下的基本概率分配；步骤5、利用Pignistic概率距离构建相似度并对基本概率分配进行修正，引入平均支持度加权优化证据融合规则，并使用改进D-S证据理论对基本概率分配进行融合，以得到最终融合结果；步骤6、在最终融合结果中，选取基本概率最大值对应的变压器状态作为诊断结果。本发明有效地提高了变压器智能诊断方法的准确率。
12	CN202111583313.0	一种由煤气化炉渣制备二氧化硅气凝胶的方法	C01B	4星	2023.09.22	本发明以煤气化过程中产生的废弃物——气化炉渣为原料，将其与助剂混合研磨，经活化、溶胶-凝胶、快速干燥过程制备出具有高比表面积、低导热率、密度小的SiO2气凝胶，实现了对固体废物的高附加值转化。本发明方法具有简便、低成本的特点，所得SiO2气凝胶材料可应用于隔热、保温、介电、吸附、催化等领域。

新疆大学发明专利推荐目录

序号	申请号	专利名称	IPC分类号	DPI星级	授权公告日	摘要
13	CN202111375279.8	具有高容错可扩展的拜占庭容错方法、装置及存储介质	H04L	4星	2023.09.29	本发明公开了一种具有高容错可扩展的拜占庭容错方法、装置及存储介质，方法包括：引入一致性哈希算法，将各节点IP信息通过哈希计算后映射在哈希环上，并根据区块信息在哈希环上进行共识主节点、各组代表节点以及各小组节点的选择；采用先组内共识再组间共识，设计节点选择性广播模型和代表节点计票模型；基于所述节点选择性广播模型和代表节点计票模型获取高容错可扩展的拜占庭容错的上限；对分组共识可能存在的各组代表节点联合作恶和组间节点联合作恶分别进行了概率分析；根据高容错可扩展的拜占庭容错的共识流程，计算出通信复杂度。装置包括：处理器和存储器。本发明既能保证共识的民主又能提升网络扩展性、降低网络通信复杂度以及提高容错性能。
14	CN202111318379.7	基于浅层特征重激活和多阶段混合注意力的声源分离方法	G10L	4星	2025.04.11	本发明公开基于浅层特征重激活和多阶段混合注意力的声源分离方法，包括以下步骤：采集单通道混合信号和干净目标声源信号，其中，单通道混合信号与干净目标声源信号相对应，处理单通道混合信号，获得单通道混合信号时域嵌入向量；基于干净目标声源信号，计算权重损失函数；构建分离网络模型，将单通道混合信号时域嵌入向量输入初始分离网络模型，利用权重损失函数对分离网络模型进行训练，获得训练好的分离网络模型；利用训练好的分离网络模型，对单通道混合信号进行声源分离。本发明采用的多阶段网络模式和多监督训练方式改善网络的拟合能力，参数量小、运算效率高，进一步提高声源分离的性能。
15	CN202111284575.7	一种精油微胶囊纱线的制备方法	D01D	4星	2022.08.16	本发明涉及一种精油微胶囊纱线的制备方法，将精油微胶囊、高聚物和溶剂共混配置成静电纺丝液，再采用连续式的静电纺丝工艺，制得精油微胶囊纱线；所述连续式的静电纺丝工艺是指：在正负共轭针头静电纺丝得到纳米纤维基础纱线的收集过程中，将所述纳米纤维基础纱线穿过正负共轭喷头静电纺丝的金属收集装置并作为正负共轭喷头静电纺丝的收集系统，用于收集所述正负共轭喷头静电纺丝形成的纳米纤维，然后随纳米纤维基础纱线的进一步抽出对纱线进行卷绕；所述正负共轭针头的喷丝口与所述正负共轭喷头的喷丝口之间的距离大于50cm。本发明将针头静电纺和喷头静电纺组合起来批量制备精油纳米纤维，使得纳米纱线包覆精油微胶囊的含量得到大幅度的提升。
16	CN202110792894.2	一种挤出成型—光固化一体式的三维打印机的打印方法	B29C	4星	2024.10.22	本发明公开了一种挤出成型—光固化一体式的三维打印机的打印方法，包括：机架；光固化成型料槽模块，固定设置在X、Y轴运动机构上；复合成型平台模块，固定设置在Z轴运动机构上；无干涉切换装置，利用齿轮啮合原理控制挤出成型平台和光固化成型平台的反向运动；光处理装置，位于所述料槽模块的底端，并固定设置在X、Y轴运动机构上，用于将光固化成型的图形投影至复合式沉积平台上；X轴系统驱动电机固定于X轴运动机构上，驱动X轴系统电机丝杠带动复合式沉积平台翻转。本发明通过光固化技术打印个性化定制的高精度三维结构，再通过挤出成型技术打印生物材料，实现多种材料高精度个性化快速打印。

新疆大学发明专利推荐目录

序号	申请号	专利名称	IPC分类号	DPI星级	授权公告日	摘要
17	CN202110698814.7	基于双重生成对抗网络的评分预测方法	G06N	4星	2022.10.11	本发明公开了基于双重生成对抗网络的评分预测方法，主要涉及深度学习领域；包括步骤：S1、将样本分为用户喜欢的样本、未购买的样本和用户不喜欢的样本三种类型；S2、使用两个GAN，第一个GAN的G为负样本生成器，第二个GAN的G为正样本生成器，负样本生成器用于生成高质量的负样本；S3、将负样本生成器生成的样本作为额外的标记数据输入到正样本生成器中，并随机选取一些未购买的样本作为输入输入到负样本生成器中以生成正样本；S4、第二个GAN输入用户喜欢的购买向量并要求在第一个GAN生成的负样本元素上生成接近0的输出，并将随机采样的未购买向量尽可能生成x(0＜x＜1)；本发明能够提高模型对推荐预测的精度和模型的泛化力。
18	CN202110604013.X	区块链节点的数据同步方法、装置及存储介质	H04L	4星	2022.07.19	本发明公开了一种区块链节点的数据同步方法、装置及存储介质，应用于数据处理技术领域。本发明提供的方法包括：获取区块链的实时状态，基于所述实时状态对本地状态进行判断；若判断结果为本地状态与实时状态不一致，则向命名数据网络发起状态同步请求；接收所述命名数据网络基于所述状态同步请求反馈的区块链的世界状态树根，并基于所述世界状态树根向所述命名数据网络发起状态树重建请求；接收所述命名数据网络基于所述状态树重建请求反馈的待同步状态数据，并根据预设规则对本地状态进行数据同步。本发明用于提高区块链节点进行数据同步的效率。
19	CN202110552656.4	基于健康状态指标构建和故障预警限自学习的轴承早期故障检测方法	G01M	4星	2022.06.28	本发明公开了一种基于健康状态指标构建和故障预警限自学习的轴承早期故障检测方法：首先，采用短时傅里叶变换STFT将原始振动数据转换为二维时频图，充分提取健康状态信息，对得到的时频图进行灰度处理以便后续模型输入；其次，利用高斯可视单元构造了新的高斯矩阵变量卷积深度信念网络GMVCDBN模型，对转换后的时频信息自动构造健康状态指标；最后，拟合健康状态指标概率分布函数，自学习预警控制极限。将本发明应用于滚动轴承实验振动信号的分析，能够实现滚动轴承的早期故障检测，降低误报率和漏报率，具有较好的泛化性，能更有效地跟踪故障传播趋势和估计轴承的动态退化行为。
20	CN202110439428.6	基于DQN的不确定车间环境下物料配送实时优化方法	G06Q	4星	2022.08.09	本发明公开了一种基于DQN的不确定车间环境下物料配送实时优化方法，包括以下步骤：对不确定车间环境进行建模，建立物料需求动态时间窗方程及路径实时路阻系数方程；将不确定车间环境下物料配送实时决策优化问题转化为半马尔科夫决策问题，设计状态空间、全局动作空间、局部动作空间和奖励函数等关键模型要素；使用全连接神经网络来设计DQN的两个Q网络；DQN不断与环境交互进行试错学习直到Q值网络训练稳定；将实时感知到的车间关键状态数据和环境模型计算得到的扰动数据传输到训练稳定的DQN中；DQN计算出当前状态下的最佳的安全动作，然后传输给AGV，指导AGV在不确定车间环境下实时响应扰动并做出合适的动作选择，以较小的成本快速完成物料配送任务。

新疆大学发明专利推荐目录

序号	申请号	专利名称	IPC分类号	DPI星级	授权公告日	摘要
21	CN202110439410.6	基于PCA-XGBoost-IRF的作业车间实时调度方法	G06Q	4星	2022.05.06	本发明公开了一种基于PCA-XGBoost-IRF的作业车间实时调度方法，包括步骤一：规范数据样本构建；步骤二：样本数据预处理，包括对样本数据进行异常值处理、类别不平衡处理和归一化处理，并对数据集进行切分以满足决策模型构建的输入要求；步骤三：对训练集进行特征工程处理，包括特征提取、特征重要度计算和特征选择；步骤四：基于改进随机森林的决策模型构建，包括随机森林模型构建、将RF模型进行改进得IRF模型和基于栅格搜索对IRF模型的超参数进行寻优；步骤五：基于最优参数的PCA-XGBoost-IRF决策模型训练；步骤六：用基于PCA-XGBoost-IRF的决策模型实现对动态作业车间调度规则的实时选择与决策。本发明为基于数据驱动的智能调度研究提供了一种更可靠，鲁棒性、泛化性更强的实时调度方法。
22	CN202110417373.9	多孔硅生物传感器表面量子点荧光图像的去噪方法及装置	G06T	4星	2022.07.01	本发明公开了一种多孔硅生物传感器表面量子点荧光图像的去噪方法及装置，方法包括：对量子点荧光图中的噪声类型进行分析，确定噪声类型为伽马乘性噪声；对获取的量子点荧光图做非局部均值平滑处理，滤波后的图像作为灰度压缩的参考标准图；获取含噪荧光图的多个均质区域，对每个均质区域的变异系数取均值获取估计变异系数，确定灰度压缩迭代次数；对含噪荧光图做灰度压缩预处理，以平滑后图像与原始荧光图像的比值作为压缩系数，根据迭代次数进行压缩；采用非局部的各向异性扩散方法，计算每个像素点的非局部余弦距离获得扩散系数的阈值，求解微分方程去除噪点并恢复原始灰度值。装置包括：分析模块、平滑处理模块、获取模块、压缩模块及恢复模块。
23	CN202110402515.4	一种基于油污泥热解残渣的改性沥青胶浆及其制备方法	C04B	4星	2022.12.09	本发明涉及一种基于油污泥热解残渣的改性沥青胶浆及其制备方法，方法包括：在干燥状态下将油污泥热解残渣与预设物质进行拌合以制备填料；在所述填料中加入水制成粘稠状流体；将所述粘稠状流体静置预设时间以制备混合物；对所述混合物进行干燥处理，以制备混合填料；将所述混合填料制备成改性沥青胶浆。本发明所制备的改性沥青胶浆是经矿粉复合改性后的残渣，其高温性能明显优于矿粉沥青胶浆。改性后的油污泥热解残渣的低温性能明显优于矿粉沥青胶浆。油污泥热解残渣代替部分矿粉后经过消石灰改性后其各项性能明显优于矿粉沥青胶浆，解决了单一用油污泥热解残渣改性存在的高温性能、水稳定性能不足的问题，有很好的路用性能。
24	CN202110362796.5	一种SDN的物联网异构网络通信设备及数据传递方法	H04L	4星	2024.03.01	本发明涉及物联网技术领域，具体为一种基于SDN的物联网异构网络通信设备，包括SDN控制器、物联网感知层汇聚节点设备和物联网感知层感知节点设备；SDN控制器包括拓扑发现模块、控制模块、拓扑维护模块、协议转换模块、流表生成与下发模块；拓扑发现模块用于与SDN控制器通信的所有汇聚节点和感知节点的拓扑发现；拓扑维护模块对拓扑发现后的拓扑信息进行维护；协议转换模块对不同的物联网协议进行转换；流表生成与下发模块生成流表后下发到各汇聚节点设备；SDN技术应用在物联网，解决物联网感知层异构网络数据融合的问题。本发明将SDN技术应用到物联网中，描述了软件定义物联网的架构及各层设备的功能实体。

新疆大学发明专利推荐目录

序号	申请号	专利名称	IPC分类号	DPI星级	授权公告日	摘要
25	CN202110345513.6	一种ZnS-SnS@3DC复合材料及其制备方法和应用	H01M	4星	2023.03.10	本发明公开了一种ZnS-SnS@3DC复合材料及其制备方法和应用，所述ZnS-SnS@3DC复合材料由具有异质结构的ZnS-SnS纳米晶嵌入由金属有机骨架ZIF-8碳化得到的氮掺杂的三维多孔碳骨架中复合而成，ZnS-SnS@3DC复合材料作为锂离子电池或钠离子电池的负极材料，ZnS-SnS异质结构纳米晶嵌入氮掺杂的三维多孔碳，能够更好地限制ZnS-SnS的体积膨胀，从而保证活性物质在脱嵌锂或钠的过程中的结构稳定性，进而提升其电化学性能。
26	CN202110290616.7	基于信号分解与复杂网络的滚动轴承未知故障检测方法	G06F	4星	2023.04.18	本发明公开了基于信号分解与复杂网络的滚动轴承未知故障检测方法，涉及机械设备故障诊断技术领域。本发明包括信号处理、网络转换、特性提取与故障诊断检测四部分内容；信号处理：利用辛几何模态分解剔除采集到轴承工作数据中干扰成分；网络转换：对增强后信号以样本内数据点为节点、利用幅度差构建序列周期网络；特性提取：提取网络信号中包含全局及局部微观特征作为分类依据；故障诊断及检测：依照标准故障集，利用复杂网络社团结构探索实现典型故障诊断及未知故障检测。本发明克服现有信号处理方法存在模态混淆等不足，采用复杂网络从全局分析观测值间关系以提供更优良分类依据，增加诊断准确。
27	CN202110276543.6	一种含有石墨烯和MAX相的SnBi系无铅钎料的制备方法	B23K	4星	2024.07.26	本发明公开一种含有石墨烯和MAX相的SnBi系无铅钎料的制备方法，属于低温焊接材料技术领域。其中石墨烯的质量分数为0-0.1%，钛碳化铝的质量分数为0-1.0%，其余成分为锡铋二元共晶合金。本发明还公开了该无铅钎料的制备方法。本发明的钎料合金为共晶组织，熔点低，微观组织均匀，具有良好的润湿性，此外，不含有毒有害元素，是一种环保型钎料，适用于低温软钎焊领域。
28	CN202110277553.1	一种用于低资源黏着性语言文本分类的语言模型微调方法	G06F	4星	2023.04.28	本发明公开了一种用于低资源黏着性语言文本分类的语言模型微调方法，涉及语言处理技术领域，通过形态学分析和词干提取构建低噪声微调数据集，在该数据集上对跨语言预训练模型进行微调，为下游文本分类任务提供有意义且易于使用的特征提取器，从预先训练的语言模型中更好地选择相关的语义和句法信息，并将这些特征用于下游文本分类任务。

新疆大学发明专利推荐目录

序号	申请号	专利名称	IPC分类号	DPI星级	授权公告日	摘要
29	CN202110275474.7	一种基于双链结构的电子病历跨院共享方法	H04L	4星	2023.04.18	本发明公开了一种基于双链结构的电子病历跨院共享方法，实现跨院共享患者电子病历，模型使用IPFS存储患者病历原始文件，私有链中存储患者的病历的IPFS地址及摘要信息，通过跨链合约调用方法，将私有链中的请求经过联盟链进行转发，获取目标链中的数据，整个过程在链上完成，保证数据的可靠性，结合代理重加密算法，实现灵活控制的读取权限，保证患者数据安全性和隐私性。
30	CN202110193636.2	一种自动化水力切块煤巷掘进台车	E21C	4星	2022.09.23	本发明公开了一种自动化水力切块煤巷掘进台车，包括履带式底盘，所述履带式底盘的顶部固定连接有破碎模块和转载模块，所述破碎模块的顶部固定安装有作业模块，所述履带式底盘的顶部固定安装有高压给水模块，所述履带式底盘的顶部设置有控制模块，所述破碎模块包括底座，所述底座的顶部固定连接有支撑架，所述支撑架的侧壁开设有腔体，所述底座的外壁固定连接有L型金属钢板，所述履带式底盘通过螺栓固定连接有长条型金属长条，所述长条型金属长条的侧壁固定连接有驱动件。通过控制模块实现台车的自动化行走、扫描定位、钻孔、切割、拿取、破碎和转载功能，可显著提高煤巷掘进效率、改善煤巷掘进作业环境、降低煤巷掘进成本，提高煤巷掘进质量。
31	CN202110170716.6	一种基于暗通道的细节保留的低照度视频增强方法及装置	G06T	4星	2022.05.17	本发明公开了一种基于暗通道的细节保留的低照度视频增强方法及装置，方法包括：对细化的暗通道图按照预设标准选择亮度最高像素作为大气光值；根据大气光值归一化散射模型，根据模型两侧的最小通道得到初始透射率，并采用各向异性引导滤波器进行细化；将大气光值和细化后的透射率代入到初始大气散射模型中，得到清晰图像并反转获取初始增强图像；对初始增强图像进行细节优化，用可见度函数定义S型函数作为高频叠加的系数，将高频信息与初始增强图像相叠加得到最终增强图像；将每一帧的最终增强图像按顺序以预设的速率写入新建视频中，得到增强后的视频。装置包括：细化与选择模块、获取与滤波模块、反转模块、细节增强模块及输出模块。
32	CN202110053204.1	一种有机污染物还原催化剂的制备方法	B01J	4星	2022.09.09	本发明公开了一种有机污染物还原催化剂的制备方法，用一锅法制备氧化亚铜/铜复合催化剂，取硫酸铜或氯化铜或醋酸铜中铜源的一种，用去离子水在圆底烧瓶中搅拌至完全溶解；加入的苯甲醇，室温下搅拌；水浴锅中进行反应；同时，滴加一定量的氢氧化钠，搅拌均匀，加入一定量的葡萄糖，反应30分钟后，逐渐冷却至室温；再离心洗涤3-5次去除杂质，最后在干燥温度为55-65℃下干燥4小时，即可得到氧化亚铜/铜复合催化剂。通过本发明方法制备氧化亚铜/铜复合催化剂，简单，廉价，高效，在废水处理中能实现工业化生产。

新疆大学发明专利推荐目录

序号	申请号	专利名称	IPC分类号	DPI星级	授权公告日	摘要
33	CN202011554355.7	复杂载荷工况下风机叶片复合材料可靠性分析方法	G06F	4星	2022.12.06	本发明公开了一种复杂载荷工况下风机叶片复合材料可靠性分析方法，通过基于Palmgren-Miner疲劳损伤累积理论，计算正常风载作用下叶片复合材料的疲劳寿命；根据疲劳损伤状态等效原理，建立正常风载作用下叶片复合材料的强度退化模型；运用齐次泊松过程描述极端风载的作用规律，考虑正常风载和极端风载的交替作用，建立风机叶片复合材料的动态可靠度模型；对传统离散型应力—强度干涉模型进行改进，提出随机风载和剩余强度概率分布未知条件下的可靠度计算方法。本方法不仅能够综合考虑外部载荷的随机性和多样性，而且能够有效表征叶片复合材料强度退化行为的分散性和不可逆性，为风机叶片复合材料的性能退化行为分析及可靠性评估提供了一种合理、有效的计算方法。
34	CN202011310170.1	一种基于剪枝迭代的PC-SCMA系统联合译码方法	H03M	4星	2022.12.13	本发明提供了一种基于剪枝迭代的PC-SCMA系统联合译码方法，所述方法包括：步骤一：在极化编码和SCMA编码之前进行CRC编码；步骤二：经过极化编码和SCMA编码的码字，经过信道传输后，计算资源节点各分枝的置信度稳定性值；步骤三：将获取的置信度稳定性值，优先传播在相邻迭代中稳定性偏差较大的分枝，并动态的缩减参与下次迭代的因子图；步骤四：根据动态的因子图进行SCMA和SCAN联合迭代检测译码；步骤五：将译码后的码字进行CRC校验，若校验通过，终止迭代，若未通过返回步骤二。本发明解决SCMA与极化码联合译码算法计算复杂度较高，收敛速度慢，误码率高的问题。
35	CN202011125319.9	一种高效的上行链路SCMA码本设计方法	H04L	4星	2023.10.31	本发明提供了一种高效的上行链路SCMA码本设计方法，所述方法包括：步骤一：二维格星座的M点子集构成母星座的第一维度星座点；步骤二：通过对第一维度星座点使用符号交换算法得到母星座的第二维度星座点；步骤三：构造拉丁结构的因子图矩阵步骤四：计算资源块星座图Qk的最小欧式距离得到满足最大化准则的最优旋转角度θ*；步骤五：通过计算拉丁结构因子图矩阵和最优旋转角度θ*得到用户j的映射矩阵Vj和星座算子Δj；步骤六：将母星座、用户j的映射矩阵和星座算子相乘生成用户j码本。本发明方法通过设计高效的码本解决上行链路SCMA系统的误码率(BER)高、多用户检测算法收敛速度慢的问题。
36	CN202011084727.4	基于视觉显著性的局部运动去模糊方法、装置及存储介质	G06T	4星	2023.02.17	本发明公开了一种基于视觉显著性的局部运动去模糊方法、装置及存储介质，方法包括：采用流行正则化随机游走显著性检测模糊区域的显著图，将检测结果用于标记图像中的模糊区域；采用基于遗传的大津法对显著图进行二值化操作，将模糊前景与清晰背景分割成不同的图层，获取到前景、背景分割二值化图像；将得到的二值化图像带入基于MAP框架的图像去模糊模型进行优化，迭代估计初始模糊核和潜在图像；列出初始模糊核和潜在图像的先验，并基于迭代加权最小二乘对初始模糊核和潜在图像求解；采用改进的自适应引导滤波对求解结果进一步优化，保持图像的边缘信息。

新疆大学发明专利推荐目录

序号	申请号	专利名称	IPC分类号	DPI星级	授权公告日	摘要
37	CN202010999283.0	一种自支撑多孔纳米板钴镍磷化物催化剂制备方法及应用	B01J	4星	2024.08.30	本发明提供了一种自支撑多孔纳米板钴镍磷化物催化剂制备方法及应用。此材料制备方法包括：（1）先将剪裁好的泡沫镍在盐酸、乙醇、水中分别超声若干时间，去除表面氧化物及取出真空干燥；（2）以硝酸钴为金属盐、甲酸为配体、甲胺为模板，通过室温共沉淀法将金属甲酸框架原位均匀生长在泡沫镍上；（3）在氩气气氛下，以次亚磷酸钠，通过低温磷化法，将次亚磷酸钠与原位生长在泡沫镍的金属金酸框架放入石英舟两端置于管式炉中煅烧，得到原位生长在泡沫镍上的金属甲酸框架衍生多孔纳米板结构的钴镍磷化物。此材料可作为一种全水解电催化剂，在碱性条件下表现出优异的HER、OER和全水解性能。CoP-Ni5P4/NF优异的电化学性能主要归功于其多孔纳米板结构，CoP和Ni5P4之间的协同效应以及自支撑电极的稳定性。本发明方法操作简单，便于实行，可推广到一系列具有结构多功能优势的复合材料设计与合成中。
38	CN202010974309.6	双螺旋结构纤维状锂离子电池及其制备方法和装置	H01M	4星	2022.08.26	本发明涉及一种双螺旋结构纤维状锂离子电池及其制备方法和装置，该方法是以含有正极材料和聚合物I的纺丝液A和含有负极材料和聚合物II的纺丝液B为原料，采用设有双通道且双喷丝口相连的偏芯注射装置进行静电纺丝，制得双螺旋纳米纤维；再经过加热，加捻得到复合纤维状材料；该复合纤维状材料沿着管状电池外封装层的长度方向置于其中，并制得双螺旋结构纤维状锂离子电池；制得的双螺旋结构纤维状锂离子电池，包括管状电池外封装层及其内部的复合纤维状材料(包括相互缠绕形成双螺旋结构的纤维状正极材料和纤维状负极材料)；纤维状正极材料的芯层为正极材料、皮层为聚合物I；纤维状负极材料的芯层为负极材料、皮层为聚合物II。
39	CN202010929968.8	基于暗通道先验镜面高光图像增强方法、装置及存储介质	G06T	4星	2022.12.09	本发明公开了一种基于暗通道先验的镜面高光图像增强方法、装置及存储介质，方法包括：选取输入图像中最模糊的像素，采用移动窗口最小滤波器对像素的每个颜色通道进行滤波，获取颜色通道的最大值并作为大气光成分的估计值；在边界约束上计算局部像素的色差来构造加权函数，根据加权函数构造细化的场景透射率的目标函数；基于改进的引导滤波优化目标函数，基于优化后的透射率、大气光成分的估计值输出最终的图像；用对比度受限的自适应直方图均衡对最终的图像进行处理，并改进局部对比度增强镜面高光图像的局部细节。本发明有效的增强了图像的清晰度和颜色特征，并解决了图像中被高光遮挡的区域纹理信息丢失的问题。
40	CN202010894923.1	一种基于分数阶控制器的氧化槽的温度控制方法	G05B	4星	2022.09.16	本发明公开了一种基于分数阶控制器的氧化槽的温度控制方法，涉及控制技术领域。本发明包括如下步骤：步骤一：构建分数阶PID控制器参数整定问题的目标函数；步骤二：通过混合优化算法确定所述分数阶PID控制器的参数；步骤三：分数阶PID控制器对氧化槽温度进行控制；其中步骤二中的混合优化算法为ACO-PSO混合算法。本发明通过ACO-PSO算法对分数阶PID控制器参数进行整定后，利用完成参数整定后的分数阶PID控制器对氧化槽温度控制系统中的控制对象进行控，提高了分数阶PID控制器参数优化效率、收敛速度以及分数阶PID控制器的控制性能，使得控制系统具有更小的超调量和稳态误差，更短的调节时间和上升时间，系统的抗干扰性能更强。

新疆大学发明专利推荐目录

序号	申请号	专利名称	IPC分类号	DPI星级	授权公告日	摘要
41	CN202010669986.7	一种快速的沙尘降质图像增强方法	G06T	4星	2023.02.10	本发明公开了一种快速的沙尘降质图像增强方法，步骤包括：步骤1、补偿蓝色通道中丢失的蓝色波长来恢复蓝色波长。步骤2、采用白平衡算法对沙尘降质图像进行颜色校正。步骤3、采用引导滤波算法来增强图像对比度和边缘准确性，并使用自适应的方法计算细节层的放大系数来增强图像细节信息。步骤4、得到最终恢复的无沙尘彩色图像，即成。本发明的方法实现了对沙尘拍摄的图像进行清晰化处理，改善了沙尘降质图像的视觉效果，提升了图像的清晰度，增强了图像对比度和色度，使图像的纹理信息更清晰，视觉效果良好。
42	CN202010648555.2	一种机器人运动可靠度评估方法及装置	G06F	4星	2024.05.31	本发明涉及一种机器人运动可靠度评估方法及装置，以解决机器人运动可靠度评估准确度低的技术问题。该机器人运动可靠度评估方法包括步骤：确定连杆参数对应的区间变量；根据连杆参数的区间变量和目标轨迹点的转换矩阵，确定目标轨迹点的位置误差区间和姿态误差区间；将位置误差区间、姿态误差区间，输入预先设置的运动可靠性模型得到目标轨迹点的运动可靠度。该可靠度评估方法考虑到了机器人各点的参数区间变量及误差区间变量的影响，包括各关节点的区间变量及误差区间变量，具有可靠度评估准确、直观的优点。
43	CN202010625720.2	一种模块化蛇形机械手	B25J	4星	2025.05.09	本发明公开了一种模块化蛇形机械手，涉及果蔬收获设备，主要包括机械手单体、软体套、电机控制线；机械手单体主要包括控制杆单元、上底板、下底板、中心杆、底板支撑球、限制件；中心杆与底板支撑球形成一个球副，中心杆与下底板固定，且中心杆的轴线与下底板垂直；控制单元的两端各含一个球副，可使精确控制上、下底板的法线间的夹角；控制单元中的电机与控制杆经焊接固定，且电机的轴线与控制杆的轴线相平行，可以减少机械手单体的径向尺寸；限制件一段与下底板固定，另一端通过销四与控制杆单元相连，可防止控制杆单元绕着自身的轴线转动。本发明径向尺寸小，结构简单，增强了对不同的品种的果树的适应性，可在果蔬植株的枝干间运动。
44	CN202010580504.0	非腐蚀性催化剂及催化活化制备活性炭的方法	C01B	4星	2023.04.11	本发明利用亲和性催化剂增强炭前驱体与CO2之间的活化反应，在超低催化剂用量(炭前驱体与催化剂质量比1:0.001～1:0.5)和超短活化时间(0.1～2h)内得到大比表面积活性炭。其中，催化剂是由钾盐、表面活性剂和过渡金属盐反应获得。钾盐作为主催化剂，起到插层造孔作用。过渡金属盐作为助催化剂，增强炭与CO2之间的物理活化效果。表面活性剂促进催化剂在炭前驱体中均匀分散和高效界面结合。三种组分之间的强烈协同作用使催化剂具有高催化效率，且在极低用量下对设备没有腐蚀性。本发明属于化学合成技术领域。

新疆大学发明专利推荐目录

序号	申请号	专利名称	IPC分类号	DPI星级	授权公告日	摘要
45	CN202010567881.0	一种中小规格钛及钛合金薄壁管材的制备方法	C22B	4星	2022.11.11	本发明公开一种中小规格钛及钛合金薄壁管材的制备方法。本发明采用电子束冷床熔炼-真空自耗电弧熔炼工艺熔铸工业纯钛，采用真空感应熔炼-等离子体精炼TA7合金，通过熔化、溶解、浮选、沉降脱除合金中夹杂，减少低熔点合金元素铝、锡烧损，脱除合金中的有害气体杂质。采用分段加热、锻造开坯，减少铸锭吸气污染。采用热轧-温轧-冷轧工艺，可以最大限度利用合金的塑性，减少退火、酸洗工序，减少金属氧化和酸洗金属损耗。利用轧制带材焊接直径为Φ6.3mm-Φ7.26mm，壁厚为0.10mm-0.8mm的薄壁管材代替无缝管，具有原料利用率高、生产效率高、经济效益好的优点。
46	CN202010547438.7	一种沙尘降质图像的增强方法及装置	G06T	4星	2022.04.08	本发明实施例提供一种沙尘降质图像的增强方法及装置，涉及数字图像处理技术领域，用于准确估计沙尘降质图像的环境光和透射率，进而增强沙尘降质图像的对比度和色度，该方法包括：对待处理的沙尘降质图像进行多层分解，得到基础层和残差层；对残差层进行非线性映射处理，对基础层进行蓝通道处理和白平衡处理；对处理后的残差层和基础层进行重构，得到第一图像；对沙尘降质图像进行白平衡处理以及Gamma校正，得到第二图像；对第一图像和第二图像分别进行权重图处理、归一化处理以及拉普拉斯和高斯金字塔处理；将处理后的第一图像和第二图像求和，得到沙尘降质图像的增强图像。本发明实施例用于增强沙尘降质图像。
47	CN202010356861.9	一种基于快速网络嵌入的疾病基因预测方法	G16B	4星	2023.07.07	本发明公开了疾病基因预测技术领域，具体领域为一种基于快速网络嵌入的疾病基因预测方法，可以更有效地利用多种关联数据中的信息来预测疾病相关基因。其方法由四部分组成：(1)利用疾病-基因、疾病-表型、蛋白质-蛋白质、基因-GO关联等多种类型的关联数据构建异构网络；(2)采用快速网络嵌入方法提取疾病和基因的低维矢量表示；(3)使用低维矢量表示构建由疾病和基因组成的双层异构网络；(4)将异构网络传播应用于网络预测疾病相关基因。本方法有提高疾病基因预测能力方面的重要作用，并通过与最新算法的比较验证了本方法的优越性能。
48	CN202010290930.0	基于EEMD-MCNN-GRU的滚动轴承剩余使用寿命预测方法	G06F	4星	2022.07.12	本发明公开了一种基于EEMD-MCNN-GRU的滚动轴承剩余使用寿命预测方法，包括以下步骤：对滚动轴承的全生命周期振动数据进行预处理；利用集合经验模态构建轴承振动信号在不同时间尺度上的退化特征，以此构建各个滚动轴承的退化特征数据集；集成多尺度卷积神经网络特征提取层和门控制循环单元神经网络时间序列预测层搭建剩余寿命预测模型；对输入预测模型的退化特征数据集进行归一化；对归一化后的数据进行分割处理；将退化特征数据集划分为训练集和测试集，将训练数据作为整个预测网络模型的输入；使用移动平均法对预测模型输出进行平滑处理，输出最优寿命预测结果。本发明为滚动轴承的剩余使用寿命的分析提供了一种更可靠，鲁棒性、泛化性更强的预测方法。

新疆大学发明专利推荐目录

序号	申请号	专利名称	IPC分类号	DPI星级	授权公告日	摘要
49	CN202010129793.2	一种低照度视频图像增强方法及装置	G06T	4星	2022.10.14	本发明公开了一种低照度视频图像增强方法及装置，涉及图像处理技术领域，能够得到较佳的增强的视频图像，且方法实施步骤简单、效率高。本发明的主要技术方案为：在获取到一段低照度视频图像数据之后，通过对所述视频图像数据进行分帧处理，得到所述视频图像数据对应的多个连续的单帧图像；利用全变分方法对所述单帧图像进行处理，生成所述单帧图像对应的照度图；对所述照度图进行亮度平衡调整，得到对应的曝光率；根据所述曝光率，通过调整所述单帧图像得到对应的增强图像，并利用多个所述增强图像合成增强的视频。本发明主要应用于低照度视频图像执行增强操作。
50	CN202010115586.1	一种N-膦氧基取代的咔唑及吲哚衍生物的合成方法	C07F	4星	2021.12.07	本发明公开了一种电化学条件下经由交叉脱氢偶联反应制备N-膦氧基取代的咔唑及吲哚衍生物的方法。在电化学条件下，以咔唑及吲哚衍生物和膦氧类化合物为原料，咪唑离子液体为电解质，一步制备N-膦氧基取代的咔唑及吲哚衍生物。与已报道的N-膦氧基取代的咔唑及吲哚类化合物的制备方法相比较，本发明绿色环保、无需惰性气体保护和外加氧化剂、底物适用范围广、产物官能团兼容性好、原料易得、操作简便，且离子液体导电性好、不易挥发、可循环使用，反应后仅生成氢气作为副产物。
51	CN202010036574.X	一种锂皂石/铁酸钴多孔纳米复合材料及其制备方法和作为磁性催化剂的应用	B01J	4星	2022.08.12	本发明提供了一种锂皂石/铁酸钴多孔纳米复合材料及其制备方法和作为磁性催化剂的应用，涉及无机材料技术领域。本发明提供的复合材料具有多孔的短柱状形貌，比表面积为80～120m2/g；所述短柱状形貌的平均尺寸为3.8μm×1.6μm；所述复合材料中锂皂石嵌入铁酸钴纳米颗粒中。本发明将锂皂石嵌入铁酸钴纳米颗粒中，避免了锂皂石团聚；且铁酸钴纳米颗粒的结构和特征保持完好。本发明提供的复合材料具有较高的比表面积和良好的磁性特征，可作为磁性催化剂应用在催化氧化降解有机染料中，催化活性高，并易于回收。本发明提供了所述复合材料的制备方法，过程简单，条件温和，对设备要求较低，原料价格低廉、易于得到。
52	CN201911375442.3	考虑电流变化的特高压直流输电系统换相失败判别方法	G01R	4星	2022.02.11	本发明公开了一种考虑电流变化的特高压直流输电系统换相失败判别方法，该方法通过对直流输电线路进行精确建模，能够在逆变侧交流系统发生对称短路故障与不对称短路故障导致逆变侧直流电压降低时，有效对逆变侧的直流电流进行计算，得出考虑直流电流动态变化的逆变器关断角计算方法，当计算得到的关断角小于逆变器换相失败的最小关断角时，判定为逆变器发生换相失败。本发明提供的考虑电流变化的特高压直流输电系统换相失败判别方法，在考虑逆变侧交流系统故障后直流电流的动态变化的前提下，实现了对换相失败的有效判别，可有效提高交直流混联系统运行风险评估结果，为保障电力系统的安全稳定运行提供依据。

新疆大学发明专利推荐目录

序号	申请号	专利名称	IPC分类号	DPI星级	授权公告日	摘要
53	CN201911102978.8	一种钛及钛合金大规格无缝管材的制备方法	B21C	4星	2023.03.10	本发明提供一种钛及钛合金大规格无缝管材的制备方法。采用电磁铸造空心管坯，两辊或三辊斜轧工艺对管坯进行2-3道次开坯，随后进行温轧-冷轧-冷拉伸、或温轧-冷拉伸、或温轧-扩径拉伸，拉伸管材经过检验、定尺锯切、表面清洗、成品退火后，包装、入库。本发明避免了传统斜轧-穿孔工艺存在的荒管壁厚不均、质量不稳和穿孔不成功等问题；省略了传统工艺需要对铸锭反复进行升温加热-反复轧制的工艺环节，可以缩短加热时间，减少管坯加热吸气氧化；减少退火、酸洗工序和酸洗金属损耗；可以生产直径为Φ80mm-Φ424mm，壁厚2-30mm的大规格无缝管材，满足市场需求。
54	CN201911102977.3	一种钛铝基多晶耐热钛合金及其制备方法	C22C	4星	2022.09.02	本发明公开一种钛铝基多晶耐热合金及其制备方法。本发明通过多元合金化改善合金性能；通过微合金化改变合金组织演变路径；通过添加硼、碳细化合金铸锭组织；通过固溶、沉淀强化提高强度、抗蠕变性能，改善耐高温氧化和环境脆化性能；通过热加工、热处理和快速冷却相变强化合金；通过γ（TiAl）的层片状组织提高高温强度、断裂韧性和抗蠕变性能，达到提高使用温度和高温使用寿命的目的。
55	CN201911004037.0	一种提高腐植酸对金属离子吸附量的方法	B01J	4星	2022.08.02	本发明涉及一种提高腐植酸对金属离子吸附量的方法。本发明提出了一种以复合氧化剂通过多重氧化反应氧化腐植酸，再经过碱溶酸沉制备出金属离子吸附量高的腐植酸，制备方法主要包括以下步骤:(1).按照氧化剂A：氧化剂B：水的质量比配制复合氧化剂溶液，在搅拌均匀的复合氧化剂溶液中加入一定质量的腐植酸，并用超声振荡器进行振荡分散，振荡时间为10-120分钟；(2).将步骤(1)中反应完毕的溶液抽滤，用去离子水冲洗至中性；(3).在沸水浴中、搅拌条件下，将步骤(2)中的氧化腐植酸溶解于质量百分浓度为0.1%-10.0%的碱溶液中至全部溶解，搅拌时间为30-120分钟；(4).将步骤(3)中反应完毕的溶液取出冷却至室温，于搅拌条件下滴加质量百分浓度为1.0%-10.0%的盐酸溶液，逐渐析出腐植酸，终点pH值调节至1.0-3.0，完毕后过滤出腐植酸并真空干燥。本发明具有环境相容性好，得到的腐植酸含有更多的羟基、羧基等官能团，能够吸附更多量的金属离子。
56	CN201910952029.2	一种确定地下煤火区地表裂隙的方法	G06T	4星	2022.10.28	本发明-一种确定地下煤火区地表裂隙的方法属于煤火探测监测技术领域，主要通过该方法识别、监测地下煤火区地表裂隙及其变化趋势，为评判火区动态演化过程分析提供数据基础本发明由遥感数据地表温度反演、地表植被盖度反演、地表裂隙范围确定方法、地表裂隙变化监测方法综合构成：地下煤火区地表裂隙确定方法主要由基于Landsat8遥感数据，采用单窗法反演火区地表温度分布，采用NDVI植被指数表征火区地表植被盖度分布，采用InSAR数据与分析方法表征火区地表沉降及裂隙变化趋势，从而基于温度、植被盖度、地表沉降与裂隙等特征为一体综合分析火区地表裂隙区动态演化特征，为定量分析火区状态及其变化趋势提供基础。

新疆大学发明专利推荐目录

序号	申请号	专利名称	IPC分类号	DPI星级	授权公告日	摘要
57	CN201910940133.X	一种水锁伤害物理模拟方法及装置	E21B	4星	2024.08.06	本申请实施例提供一种水锁伤害物理模拟方法及装置，涉及煤层气开发技术领域。该方法应用于储层伤害模拟系统，包括地质环境模拟及控制系统、压裂液注入系统和煤层气排采系统，地质环境模拟及控制系统包括夹持器，压裂液注入系统包括第一煤层气注入系统和压裂液注入子系统，煤层气排采系统包括第二煤层气注入系统；该方法包括通过第一煤层气注入系统和第二煤层气注入系统向夹持器注气，模拟压裂液侵入前的煤层气产出渗透率；再模拟压裂液侵入储层过程；再通过第一煤层气注入系统向夹持器注气，模拟压裂液返排过程。该方法用以解决现有的水锁伤害模拟方法由于难以体现和反映压裂液侵入-返排这一实际煤层气排采过程导致的模拟不准确的问题。
58	CN201910711568.7	在多孔介质充填的采空区内存储二氧化碳气体的方法	E21F	4星	2021.04.06	本发明涉及一种在多孔介质充填的采空区内储存二氧化碳气体的方法，该方法利用粉碎的矸石、粉煤灰和水泥制作方形的多孔介质；在井工煤矿采空区内紧随采煤工作面用上述方形的多孔介质砌筑充填条带，形成对采空区顶板的有效支撑，确保采空区顶板的长期稳定；待整个采煤工作面回采结束后，封闭采区顺槽，由多孔介质充填的采空区形成一个封闭的空间；最后将火电厂产生的二氧化碳气体注入该封闭空间，形成对二氧化碳气体的长久储存。该在多孔介质充填的采空区内储存二氧化碳气体的方法，利用煤矿固体废弃物对采空区进行充填，既避免了采空区垮塌造成的地表沉陷，又为二氧化碳气体的长久储存提供了理想空间，减小因二氧化碳气体排放而造成的温室效应。
59	CN201910381845.2	一种最小失弃风量的塔筒电梯供电优化调度方法	H02J	4星	2023.04.07	本发明公开了一种最小失弃风量的塔筒电梯供电优化调度方法，包括：构建塔筒电梯供电模型，构建塔筒电梯日耗电量模型，构建基于最小失弃风量的塔筒电梯供电优化调度模型，引进粒子算法并改进粒子算法，将改进后的粒子算法与实际结合完成对塔筒电梯供电调度方法的优化，本发明针对目前风电场存在弃风严重与风电机组维护量巨大的问题，以经济性最优为目标，提出在“弃风量+储能补偿电量＝电梯消耗电量”的供电模式下，构建基于最小失弃风量的塔筒电梯供电优化调度模型，采用改进粒子群算法，通过算例验证该模型对塔筒电梯供电优化调度的可行性与有效性，高效解决塔筒电梯供电优化调度问题，为风电消纳开辟一条新路径。
60	CN201910324595.9	基于背景减法的运动目标的检测方法及装置	G06T	4星	2023.05.12	本发明实施例是关于一种基于背景减法的运动目标的检测方法及装置，涉及图像识别技术领域，主要解决的技术问题是运动目标检测效果较差。检测方法包括：基于视觉背景提取子算法构建视觉提取背景样本模型；根据视频的图像构建图像像素的辅助背景样本模型；分析视频的图像像素在前景和背景之间转换程度的闪烁程度，对于闪烁程度满足预设条件的闪烁像素，采用辅助样本模型中与闪烁像素位置对应的样本替换，以生成闪烁分析后的图像；根据视觉提取背景样本模型对闪烁分析后的图像中像素分类前景像素和背景像素，根据前景像素生成运动目标。相对于现有技术，可以有效抑制动态像素对运动目标的检测，提高了运动目标检测效果。

新疆大学发明专利推荐目录

序号	申请号	专利名称	IPC分类号	DPI星级	授权公告日	摘要
61	CN201910133541.4	检测图像变化的方法及装置	G06T	4星	2022.09.06	本发明公开一种检测图像变化的方法及装置，涉及图像处理技术领域，其目的在于提高变化检测结果的准确性。本发明的方法包括：获取第一多光谱图像及第二多光谱图像；对第一多光谱图像及第二多光谱图像进行单波段图像提取处理，以获得第一多光谱图像对应的多个第一单波段图像及第二多光谱图像对应的多个第二单波段图像；对每个波段对应的第一单波段图像和第二单波段图像进行迭代加权处理，以获得每个波段对应的最优特征差异图像；对多个最优特征差异图像进行融合处理，以获得多个最优特征差异图像对应的变化强度图像；根据预设聚类算法对变化强度图像进行二值聚类分析，以获得变化检测结果。本发明适用于对两幅多光谱图像进行变化检测的过程中。
62	CN201910008877.8	一步熔融盐法制备煤基多孔炭与金属氧化物纳米杂化材料的方法	C01B	4星	2022.05.31	本发明涉及复合材料技术领域，是一种一步熔融盐法制备煤基多孔炭与金属氧化物纳米杂化材料的方法；将处理煤、金属盐和熔融盐球磨混合后，在惰性气氛下煅烧后并自然冷却至常温，然后用去离子水洗涤，洗涤后经干燥，得到煤基多孔炭与金属氧化物纳米杂化材料。本发明通过使用廉价的原料煤、硝酸钴和钼酸铵作为反应物，氯化锌和氯化钾熔盐作为离子液体溶剂，在惰性气氛中一步煅烧，随后洗去熔盐后得到，所得金属氧化物与多孔炭交叉堆叠形成双连续相，结晶度高；且本发明具有成本低、操作简便、制备时间短、可逆容量和循环稳定性更优异、环境友好和易于工业化生产的特点。
63	CN201910005541.6	磷酸铷铅铋及其非线性光学晶体的制备方法和用途	C01B	4星	2023.01.10	本发明提供一种化合物磷酸铷铅铋和磷酸铷铅铋非线性光学晶体的制备方法和用途，所述化合物的化学式为Rb3PbBi(P2O7)2，分子量为2040.92,属于单斜晶系，空间群为P21，晶胞参数为a=8.8410(4)Å，b=9.5088(4)Å，c=9.2041(4)Å，α=90°，β=106.192(9)°，γ=90°，单胞体积为743.07(6)Å3，晶体的倍频效应约为KH2PO4(KDP)的2倍，紫外吸收边短于294nm，采用高温熔液法、水热法和室温法生长晶体，该晶体的化学稳定性好，可作为紫外-可见非线性光学晶体在全固态激光器中获得应用。
64	CN201811600257.5	去除多孔硅微阵列图像中散斑噪声的方法及装置	G06T	4星	2023.02.21	本发明公开了一种去除多孔硅微阵列图像中散斑噪声的方法及装置，涉及生物芯片领域，能够解决的现有技术中散斑噪声对微阵列图像检测的影响的问题。本发明的方法包括：获取多孔硅微阵列图像中的奇异像素点，对所述奇异像素点进行标记；根据所述奇异像素点，确定并标记奇异像素点的区域；按照标记奇异像素点的区域，将多孔硅微阵列图像中奇异像素点区域以外的区域平均划分为9个区域，计算每个区域中灰度值的第一平均值；对全部的第一平均值进行排序，获取第一中间值；将第一中间值代替奇异像素点的灰度值，对奇异像素点进行一次散斑噪声吞噬。本发明可广泛应用于处理图像散斑噪声的场景中。

新疆大学发明专利推荐目录

序号	申请号	专利名称	IPC分类号	DPI星级	授权公告日	摘要
65	CN201811599619.3	图像处理方法及装置	G06T	4星	2022.07.08	本发明公开了一种图像处理方法及装置，涉及遥感图像领域。本发明的图像处理方法包括：对第一图像进行钝化模糊处理；将钝化模糊处理后的第一图像进行各项异形扩散，使所述第一图像各个方向上的噪声平滑；对各项异形扩散处理后的第一图像进行复制，得到第二图像；对所述各项异形扩散处理后的第一图像进行二维离散小波变换，得到第一高频子图和第一低频子图，将所述第二图像进行二维离散小波变换，得到第二高频子图和第二低频子图；按照设置的融合图像的高频系数和低频系数对第一高频子图、第一低频子图、第二高频子图和第二低频子图进行图像融合，得到融合图像。本发明可广泛应用于处理遥感图像的场景中。
66	CN201811471156.2	倾斜煤层采空区刚柔条带相间充填无煤柱连续开采法	E21C	4星	2021.02.02	本发明涉及一种倾斜煤层采空区刚柔条带相间充填无煤柱连续开采法，该方法首先对倾斜煤层采空区进行刚性条带充填，条带平行工作面布置、材料为砂基膏体、间距小于直接顶的初次垮落步距，条带上端至轨道平巷的回采侧结束；然后利用保留的轨道平巷将风积沙运至采空区，灌入并充满刚性条带间的空隙，形成对采空区顶板的柔性支撑条带；最后在轨道平巷回采侧对风积沙条带进行膏体墙封闭。该倾斜煤层采空区刚柔条带相间充填无煤柱连续开采法，利用风积沙的自溜性保证了风积沙干式充填接顶效果，提高了充填条带的整体稳定性，确保了充填体对倾斜煤层采空区顶板的长时控制效果；保留的轨道平巷可以为下一工作面回采服务，实现工作面间无煤柱连续开采。
67	CN201811107206.9	图像分割方法及装置	G06T	4星	2021.09.21	本发明公开了一种图像分割方法及装置，涉及图像处理技术领域，主要目的在于在图像分割的过程中，解决图像分割结果准确性较低的问题而发明。本发明的方法包括：利用预设算法将待处理图像转化为目标显著图；通过中智学图像算法对所述目标显著图进行处理，得到初始像素集合；根据预设函数对所述初始像素集合进行过滤，并将过滤后的初始像素集合所对应的图像进行分割，得到目标图像。本发明主要适用于对图像进行分割。
68	CN201810947077.8	一种基于弃风利用的塔筒电梯供电方法及储能系统	H02J	4星	2022.04.19	本发明涉及风电场塔筒电梯供电技术领域，具体涉及一种基于弃风利用的塔筒电梯供电方法及储能系统，运用弃风电量为塔筒电梯供电并在弃风不足时使用储能系统作为塔筒电梯的补充电源的供电模式。以配置储能系统经济性最优为目标，建立了塔筒电梯储能系统模型，使用遗传算法(GS)优化储能配置。采用新疆某风电场的实际统计数据统计计算风电场弃风电量和塔筒电梯使用功率。通过算例计算得出所需配置储能电量和充放电功率，并优化储能系统的参数使储能系统运行成本最低，验证了系统基于弃风利用的塔筒电梯供电模式方案的可行性。本发明解决塔筒电梯耗电量高的问题，并达到节约能源保护环境的目的。

新疆大学发明专利推荐目录

序号	申请号	专利名称	IPC分类号	DPI星级	授权公告日	摘要
69	CN201810538114.X	一种手写维吾尔文单词切分识别方法	G06K	4星	2021.10.12	本发明的一种手写维吾尔文单词切分识别方法属于手写体识别领域，特别适用于在移动终端上手写维吾尔文单词的单词切分的识别方法。本发明所要解决的技术问题是提供一种不做预先探测延迟笔画的利用手写轨迹局部信息的单词切分方法，包括以下步骤：预处理；轨迹局部信息点探测；检测手写轨迹中的平直点、局部最大点/峰点、局部最小点/谷点、局部最右点、局部最左点、交叉点以及各笔画的起点和终点等信息点；基于轨迹局部信息点的单词过切分；切分块合并；组合切分块，形成字母。本发明的手写维吾尔文单词切分方法，由于不需要进行预先延迟笔画处理，因此处理更加快捷，具有较高的通用性，适合自然手写单词的切分问题。
70	CN201810476055.8	一种抗GPC3蛋白的纳米抗体及其制备方法和应用	C07K	4星	2021.08.03	本发明公开了一种抗GPC3蛋白的纳米抗体及其制备方法和应用，本发明利用原核表达的GPC3融合蛋白免疫骆驼，提取骆驼脾脏组织中的RNA，以其为模板反转成cDNA，构建到噬菌体外衣壳蛋白的载体上，构建噬菌体展示文库，并计算库容及滴度。然后利用抗原-抗体亲和性原理，经三轮淘选，从该文库中筛选出与GPC3特异性结合的纳米抗体，进而获得该特异性抗体的基因，构建表达载体，对其进行原核表达、纯化与鉴定，即得到所需要的纳米抗体。
71	CN201810418590.8	一种遥感图像变化检测方法及装置	G06T	4星	2022.02.18	本发明公开了一种遥感图像变化检测方法及装置，涉及图像处理技术领域，主要目的是解决现有的差值法检测遥感图像变化时，由于遥感图像中存在噪声使得遥感图像变化检测的准确性较低的问题。技术方案包括：获取第一遥感图像和第二遥感图像；利用预置滤波器分别对所述第一遥感图像和所述第二遥感图像进行滤波， 得到第一滤波图像和第二滤波图像；根据所述第一滤波图像和所述第二滤波图像计算差异图像，所述差异图像用于标识所述两个不同时相的遥感图像变化。主要用于两时相遥感图像变化区域的检测。
72	CN201810367379.8	流速仪检定装置及其检定方法	G01P	4星	2024.04.02	本发明公开了一种流速仪检定装置及其检定方法，其包括流速仪安装杆、垂直架、滑座、翻转支架、手自一体升降驱动机构、翻转驱动机构和换向机构；手自一体升降驱动机构驱动滑座作升降动作，翻转驱动机构驱动翻转支架作翻转动作；换向机构驱动流速仪安装杆转动；通过换向机构的换向，可以实现流速仪在检定车的往返过程均可以检测，提高了检定效率；通过手自一体升降驱动机构来控制流速仪的入水深度，而且具有手动和自动两种方式控制，灵活性高，满足不同的使用需求；同时翻转驱动机构具有自锁功能，在方便工作人员更换流速仪的同时，也能防止翻转支架在翻转时发生逆转现象，给使用带来方便，工作稳定性好，易于实现，利于广泛推广。

新疆大学发明专利推荐目录

序号	申请号	专利名称	IPC分类号	DPI星级	授权公告日	摘要
73	CN201810357576.1	一种利用铝灰渣制备铝电解阳极防氧化涂料的装置与方法	C09D	4星	2023.05.12	本发明专利公开了一种利用铝灰渣制备铝电解阳极防氧化涂料的装置与方法，其特征在于，所述装置包括铝灰渣电解槽、钛铱阳极、密封槽罩、氨气-氯气-氟回收系统、钛钌阴极、铝灰渣储料-上料系统、电解槽补水系统、未溶铝-氧化铝-氧化硅-氧化铁沉淀排放口、电解产物偏铝酸钠-偏铝酸钾溶液排放-蒸馏-脱水系统；所述的方法为利用废弃的铝灰渣为原料，回收利用铝灰渣中铝、氧化铝、氯盐、氟盐资源，实现废弃、污染环境的铝灰渣资源化的目的。
74	CN201810286167.7	可折叠的无人机机架	B64U	4星	2023.09.05	本发明公开了一种可折叠的无人机机架，包括中心板组件、四个折叠机臂组件和四个电机组件；其中折叠机臂组件采用了三段式折叠方式，包括通过铰接片连接的第一关节臂、第二关节臂和第三关节臂；三个关节臂相连的关节端都加工有四分之一圆的啮合齿，各关节臂可以相互啮合；第二关节臂上有螺纹，其上的螺纹套通过旋转推动机臂滑动套对伸展状态的机臂进行固定；处于折叠状态时，机架可以向下折叠将电机组件折叠进中心板组件的下部；本发明可方便展开和折叠，大大提高携带便携性，减少放置空间。
75	CN201810177509.1	一种复合结构的定制化可降解接骨板的设计与制造方法	A61B	4星	2021.03.16	本发明公开了一种复合结构的定制化可降解接骨板的设计与制造方法。接骨板由可降解聚合物-生物陶瓷复合层、长纤维增强聚合物层、药物缓释层构成。接骨板的接触面根据患者骨折部位进行定制化设计，接骨板的结构根据安装部位的力学特点进行优化设计，采用3D打印制造。包括如下步骤：1）利用CT等方法扫描患者的骨折部位，并输出扫描数据；2）在医学图像处理软件中提取接骨板安装部位的骨骼表面数据，并输出重构后的骨骼表面三维模型；3）在三维计算机辅助设计软件中对接骨板的三维结构进行优化设计；4）采用3D打印技术制作接骨板；5）对制造的接骨板进行力学实验。
76	CN201711013609.2	一种杂化膜结构防酸透湿织物及其制备方法	D06N	4星	2020.06.05	本发明涉及一种杂化膜结构防酸透湿织物及其制备方法，制备方法为：在基布表面喷粘合剂后以同一基布为接收基材同时静电纺沥青纤维和含氟聚氨酯/聚氨酯复合纤维，最终制得的织物主要由基布和沉积在基布表面的杂化纤维膜组成，杂化纤维膜主要由沥青纤维和含氟聚氨酯/聚氨酯复合纤维相互穿插交错形成，防酸透湿织物的拒液指数大于90％，耐酸压达到二级，防酸渗透时间达到二级。本发明的制备方法，提高了织物对于酸液的阻隔性能，改善了织物对液滴的抗沾附和抗浸润性能，兼顾了防酸织物防护性能和舒适性能，制得的织物具有良好的防酸防护性能和舒适性能。

新疆大学发明专利推荐目录

序号	申请号	专利名称	IPC分类号	DPI星级	授权公告日	摘要
77	CN201711013596.9	一种层级膜结构防酸透湿织物及其制备方法	D06M	4星	2019.10.18	本发明涉及一种层级膜结构防酸透湿织物及其制备方法，制备方法为：在基布表面先后交替静电纺沥青纤维膜和含氟聚氨酯/聚氨酯复合纤维膜，每次静电纺前在接收基材表面喷粘合剂，最终制得的织物具有由基布、沥青纤维膜和含氟聚氨酯/聚氨酯复合纤维膜形成的多层结构，沥青纤维膜沉积在基布或基布和含氟聚氨酯/聚氨酯复合纤维膜的表面，含氟聚氨酯/聚氨酯复合纤维膜沉积在沥青纤维膜表面。本发明的层级膜结构防酸透湿织物的制备方法，提高了织物对于酸液的阻隔性能，改善了织物对液滴的抗沾附和抗浸润性能，兼顾了防酸织物防护性能和舒适性能，制得的织物具有良好的防酸防护性能和舒适性能。
78	CN201710816580.5	一种提高遥感图像质量的方法	G06T	4星	2020.06.16	本发明实施例提供了一种提高遥感图像质量的方法，其包括：S1、利用非下采样剪切波变换对原始遥感图像和直方图均衡化后的遥感图像进行分解，得到各自的低频子带和高频子带；S2、对直方图均衡化后的低频子带进行PM滤波；对原始图像的高频子带进行旋转阈值去噪，然后进行引导滤波；S3、对处理后的低频子带和高频子带进行非下采样剪切波逆变换。本发明的技术方案具有以下有益效果是：将PM滤波用于低频子带，引导滤波用于高频子带，提出一种基于非下采样shearlet变换的遥感图像新算法。通过对非下采样剪切波变换阈值的处理，对大程度的滤除噪声，再经引导滤波过程，增强图像的细节信息，提高图像清晰度，增强图像的抗噪性。
79	CN201710537712.0	一种基于对数变换的遥感图像变化检测方法及装置	G06T	4星	2020.11.10	本发明公开了一种基于对数变换的遥感图像变化检测方法及装置，涉及图像处理技术领域，主要目的是解决现有的非监督图像变化检测方法对遥感图像进行变化检测的检测结果性能指标仍然较低，进而导致遥感图像变化检测准确性较低的问题。技术方案包括：获取第一遥感图像和第二遥感图像，所述第一遥感图像和第二遥感图像为两个不同时相分别对应的遥感图像；分别利用预置第一函数和预置第二函数，根据所述第一遥感图像和所述第二遥感图像，计算第一差异图像和第二差异图像；根据所述第一差异图像和所述第二差异图像，计算最终差异图像，所述最终差异图像为表示所述两个不同时相之间的变化区域图像。主要用于两时相遥感图像变化区域的检测。
80	CN201710413744.X	一种生物芯片图像倾斜的校正方法及装置	G06T	4星	2023.04.21	本发明公开了一种生物芯片图像倾斜的校正方法及装置，涉及图像处理技术领域，主要目的是提高生物芯片图像校正的速度。所述方法包括：获取生物芯片图像对应的二值化图像；通过旋转所述二值化图像对应的外接矩形，得到旋转角度；根据所述旋转角度对所述生物芯片图像进行校正。本发明主要用于生物芯片图像倾斜的校正。

新疆大学发明专利推荐目录

序号	申请号	专利名称	IPC分类号	DPI星级	授权公告日	摘要
81	CN201710413734.6	生物芯片荧光图像倾斜角度的确定方法及装置	G06T	4星	2021.03.09	本发明公开了一种生物芯片荧光图像倾斜角度的确定方法及装置，涉及图像处理技术领域，主要目的是解决现有的获取图像倾斜角度的方法是通过计算投影角度或功率谱估计，巨大的计算量导致图像倾斜角度的确认效率较低，从而影响图像校正的速度的问题。技术方案包括：获取生物芯片的荧光图像；根据预处理方法处理所述荧光图像，所述预处理方法用于将不完整的荧光图像填充为完整的荧光图像；计算所述荧光图像中各个样点的圆度值，根据预设的圆度判断准则筛选出符合圆度条件的样点，所述圆度值为衡量样点对应的形状是否为标准圆的数值；根据筛选后的样点确定所述荧光图像的倾斜角度。主要用于生物芯片荧光图像倾斜角度的确定。
82	CN201710383198.X	钢管混凝土墩柱沿空留巷主动支护结构及其施工方法	E21F	4星	2024.03.22	本发明公开了一种钢管混凝土墩柱沿空留巷主动支护结构及其施工方法，包括钢管混凝土墩柱和液压千斤顶、混凝土注浆泵和乳化液泵站组成。其中位于工作面采空区一侧的钢管混凝土墩柱由钢管和混凝土组合而成。乳化液泵站通过乳化液输送管给安设在钢管顶部的液压千斤顶提供动力。所述的方法步骤包括：按照设计要求施工钢管混凝土墩柱；安装并调整液压千斤顶位置；启动乳化液泵站进行第一次施压。循环上述步骤，直至所有钢管混凝土墩柱主动支护结构具有1MPa的初撑力。间隔一天后，对所有液压千斤顶进行二次施压，当压力表读数达到2MPa时停止加压。本发明施工工艺简单，变传统钢管混凝土被动支护形式为主动支护，充分发挥钢管混凝土墩柱的技术经济优势。
83	CN201710297457.7	基于改进加速鲁棒特征的平面旋转人脸检测的方法	G06K	4星	2021.03.30	本发明涉及图像处理技术领域，是一种基于改进加速鲁棒特征的平面旋转人脸检测的方法，包括以下步骤：第一步，采用FAST-SURF算法提取特征；第二步，采用Adaboost算法对特征点进行分类；第三步，采用Adaboost算法对经分类后的特征点进行迭代、计算得到公共人脸特征分类器；第四步，将特征点与人眼区域相结合，过滤无效特征点，获得有效特征点；第五步，判断有效特征点与公共人脸特征关键点集是否匹配；第六步，检测出旋转人脸区域。本发明利用人眼定位来降低人脸检测的误检率，采用Harrlike特征模板定位人眼区域，有效降低背景及其他非人脸部分对人脸检测的干扰，减少无效特征点数目，提高检测效率。
84	CN201710252962.X	一种基于统计和浅层语言分析的维吾尔文语义串抽取方法	G06F	4星	2020.08.18	本发明公开了一种基于统计和浅层语言分析的维吾尔文语义串抽取方法，属于少数民族语言语义串抽取技术领域。目的是提供一种基于统计和浅层语言分析的维吾尔文语义串快速抽取方法。采用一种多层动态索引结构为大规模文本建词索引，然后是结合维吾尔文词间关联规则采用一种改进的n元递增算法进行词串扩展并发现文本中的可信频繁模式，最终依次判断频繁模式串结构完整性从而得到语义串。通过在不同规模的语料上实验发现，此方法可行有效，能够应用到维吾尔文文本挖掘多个领域。本发明提出的语义串抽取方法不仅可以应用到维吾尔文文本挖掘中，还能应用到哈萨克文、柯尔克孜文等同语系语言文本挖掘中。

新疆大学发明专利推荐目录

序号	申请号	专利名称	IPC分类号	DPI星级	授权公告日	摘要
85	CN201710223062.2	一种手指屈肌腱损伤修复后的定制化固定支具的设计与制备方法	B29C	4星	2019.09.06	本发明提出了一种手指屈肌腱损伤修复后的定制化固定支具的设计与制备方法，利用CT扫描数据重构患侧手臂皮肤的三维模型以及健侧手部皮肤的三维模型，将健侧手部皮肤三维模型以矢状面为对称平面进行镜像，用镜像得到的皮肤三维模型替代患侧的对应部位，并与患侧前臂合并成新的手臂三维模型；用合并的三维模型为基础设计定制化固定支具，支具的手指部分采用转动调节设计，可实现定期调整及配合早期功能锻炼；对支具进行有限元分析和力学实验，通过3D打印制作支具。本发明设计与制备的定制化支具形状准确、佩戴方便、贴合效果好，在精度、加工效率、材料利用率等方面优于传统支具制作工艺。
86	CN201710118264.0	Ni基双金属催化剂及其制备方法和应用	B01J	4星	2020.06.09	本发明涉及双金属催化剂技术领域，是一种Ni基双金属催化剂及其制备方法和应用，该Ni基双金属催化剂包括第一种活性组分Ni、第二种活性组分M和载体活性三氧化二铝。本发明首次公开了Ni基双金属催化剂及其制备方法以及其在煤焦油催化裂解、焦油模型化合物茚裂解中的应用，本发明采用优质载体，结合操作简单、易于工业化的机械化学法得到本发明所述的Ni基双金属催化剂，同时，本发明所述的Ni基双金属催化剂能够提高煤焦油催化裂解轻质组分产率，并能够降低煤焦油模型化合物催化裂化的析炭率，说明本发明所述的Ni基双金属催化剂的催化性能较高。
87	CN201610934862.0	一种气动爬杆机器人载物平台的设计	B62D	4星	2024.03.26	本发明涉及一种气动爬杆机器人载物平台的设计，整体由两组呈十字型交叉的爬杆机构组成，每组机构包括一对竖直伸缩气缸，一对伸缩缸保护体，一对水平夹紧气缸和一个夹紧气缸保护架；两组机构上下交错安装在总托板上，交叉做伸出缩进动作实现对导杆的夹紧和爬升；设计结构紧凑，一次动作可爬升两倍行程的距离，效率高，平衡性好，设计空间大，能安装其他高空清洗或检测设备，起到载物平台的作用。
88	CN201610001253.X	一种氧化石墨烯的固相还原方法	C01B	4星	2017.10.17	本发明提供了一种由氧化石墨烯制备石墨烯的固相还原方法。在该发明方法中，通过将氧化石墨烯与还原剂、盐在室温下进行固相化学反应，实现对氧化石墨烯的还原，制得石墨烯。本发明方法所使用的原料廉价易得，反应操作简单，不使用溶剂，条件温和，耗时少，环保无污染，易于进行大批量生产。

新疆大学发明专利推荐目录

序号	申请号	专利名称	IPC分类号	DPI星级	授权公告日	摘要
89	CN201510709005.6	液体速凝剂及其制备方法	C04B	4星	2018.05.29	本发明提供了一种液体速凝剂及其制备方法，以硫酸铝为主要原料，所得液体速凝剂碱含量很低，速凝效果好，且稳定性高。所述制备方法为，由以下质量百分比组成的原料混合均匀得到液体速凝剂：硫酸铝45％-60％，醇胺5％-15％，增溶剂0.5％-5％，促凝剂0-5％，余量为水，所述硫酸铝的Al2O3含量为14％-17％，所述增溶剂为磷酸和/或碳原子数不超过6的羟基羧酸，所述促凝剂为可溶于水的硝酸盐、亚硝酸盐、硫酸盐、氟化盐、碳酸盐、羧酸盐-磺酸盐-非离子三元共聚物中的至少一种。由上述制备方法得到的液体速凝剂用于喷射混凝土，掺量一般为水泥质量的5％-8％，速凝效果好，稳定性高，稳定期达到180天以上。
90	CN202210048618.X	一种基于次网格占比函数的尺度自适应KF积云对流参数化方法	G06F	4.5星	2024.10.11	本发明公开了一种基于次网格占比函数的尺度自适应KF积云对流参数化方法，包括以下步骤：步骤A：通过数据拟合给出次网格占比均值函数；步骤B：将次网格占比均值函数引入到KF积云对流参数化方案中，得到新的具有尺度意识的积云对流参数化方案，即基于次网格占比函数的尺度自适应KF方案。本发明根据KF计算的积云高度与模式网格距，应用拟合的次网格感热通量平均占比函数，对KF积云对流方案的9个变量进行调整，使得KF积云方案具有了尺度意识特征，具有更好的理论支撑，构造了与模式格点尺度和积云尺度具有依赖关系的积云调整函数，使降水预报性能更加稳定，提高了降水预报的准确率。
91	CN202110081106.9	多级循环载荷作用下材料疲劳寿命预测方法	G06F	4.5星	2022.10.28	本发明公开了一种多级循环载荷作用下材料疲劳寿命预测方法，通过根据恒幅循环载荷下的疲劳试验数据，分析材料疲劳寿命的概率分布特征；运用Weibull分布描述各应力水平下的寿命分布规律，建立表征疲劳寿命分布特性的条件概率密度函数PDF模型；基于材料的实际服役载荷数据，编制多级循环载荷谱；考虑载荷施加次序对疲劳损伤累积规律的影响，建立多级循环载荷作用下材料的疲劳损伤累积模型；基于条件PDF模型和疲劳损伤等效原则，预测多级循环载荷作用下材料的疲劳寿命。本方法不仅具有寿命预测精度高的优点，而且能够合理反映载荷的加载次序效应和疲劳损伤累积的非线性特征。
92	CN202010290308.X	预测风力机齿轮箱轴承剩余寿命的方法	G06F	4.5星	2023.03.31	本发明公开了一种预测风力机齿轮箱轴承剩余寿命的方法，是一种基于竞争的改进比例失效模型的齿轮箱轴承剩余使用寿命预测方法。包括以下步骤：对齿轮箱轴承从使用到发生故障的全寿命周期内温度和振动数据进行主成分融合为一维特征量，体现轴承的退化性能；考虑风电机组齿轮箱轴承的特殊性，采用改进的比例危险模型，建立Wiener退化过程和Weibull分布突发失效的竞争失效可靠性评估模型。通过实例分析，对比退化失效和突发失效竞争模型、不相关模型及独立退化失效、突发失效模型的剩余寿命分析，验证了竞争模型的可靠性和最优性。本发明为风力机齿轮箱轴承的剩余使用寿命的分析提供了一种有效、实用、精度较高的预测方法。

新疆大学发明专利推荐目录

序号	申请号	专利名称	IPC分类号	DPI星级	授权公告日	摘要
93	CN202010020528.0	平稳输出液体的基于位置的多液压缸协调控制方法及装置	F15B	4.5星	2022.07.22	本发明涉及多组液压缸控制技术领域，是一种平稳输出液体的基于位置的多液压缸协调控制方法及装置，前者在n组液压缸工作前，先对n组液压缸的活塞位置进行初始化，然后液压缸开始工作，通过检测一组液压缸活塞或活塞杆或柱塞的位置，控制另外一组液压缸换向，实现多组液压缸有序换向，第m组液压缸的启动加速过程和第m+1组液压缸的减速停止过程完全重叠，输出流量实现完美叠加。本发明通过检测一组液压缸活塞杆或柱塞的位置，控制另外一组液压缸的换向阀换向，实现多组液压缸有序换向，输出流量稳定，流量和压力脉动小。
94	CN201911108305.3	一种钛合金板材的制备方法	C22C	4.5星	2022.02.08	本发明公开一种钛合金板材制备方法。采用等离子-真空自耗电弧组合工艺制备TC4铸坯；第一火次终锻880℃，变形量60-75%；第二火次终锻850℃，变形量25-65%；第三火次终锻800℃，变形量45-75%。轧制20mm成品板材，道次变形量4-6mm，变形50%时换向轧制；轧制2-10mm板带材时，先热轧-再温轧，一火次轧温960-1050℃，二火次轧温950-1000℃，三火、四火采用温轧工艺。退火温度600-650℃，保温时间5-10h。本发明采用高温熔化、溶解、浮选、沉降脱除夹杂，利用分压原理除气，减少低熔点合金元素铝的烧损，省略了电极制备工序，简化了生产工艺，可以直接利用钛残料，降低铸锭成本，制品为均匀细晶组织，具有加工温度范围宽，板材强度、塑性及断裂韧性配匹性好等优点。
95	CN201810377080.0	一种维吾尔文手写字母识别方法、系统及电子设备	G06V	4.5星	2022.03.25	本申请属于文字识别技术领域，特别涉及一种维吾尔文手写字母识别方法、系统及电子设备。所述维吾尔文手写字母识别方法包括：步骤a：收集/读入/读入维吾尔文字母的原始手写样本；步骤b：对所述原始手写样本进行预处理，将所述原始手写样本转换为二值图像；步骤c：将所述二值图像输入卷积神经网络进行分类训练和测试，得到所述原始手写样本的识别结果。本申请有效地提高了网络模型的性能，识别准确率高。
96	CN202510199195.5	一种含氮杂环氮邻位取代的芳基醚的合成方法	C07D	3星	2025.11.28	本发明属于新化合物合成和应用技术领域，公开了一种含氮杂环氮邻位取代的芳基醚的合成方法，所述方法在六甲基磷酰三胺HMPA的催化下，使用N,N-二异丙基乙胺DIEA做碱，在POBr3的辅助下，使用氮氧化物和酚反应，实现氮邻位芳氧基取代。本发明方法具有优异的原子经济性(3a,96％)、溶剂绿色(使用乙酸乙酯作为溶剂)、反应条件温和、反应时间短(大部分底物反应时间5分钟)、底物范围广、反应底物廉价易得等优点。该方法为合成1-芳氧基异喹啉、2-芳氧基喹啉及2-芳氧基吡啶化合物提供了一种便捷高效绿色实用的方法。

新疆大学发明专利推荐目录

序号	申请号	专利名称	IPC分类号	DPI星级	授权公告日	摘要
97	CN202411769281.7	多尺度多深度神经网络驱动的金属材料疲劳寿命预测方法	G16C	3星	2025.09.30	本发明公开了多尺度多深度神经网络驱动的金属材料疲劳寿命预测方法，包括以下步骤：构建金属材料疲劳试验数据集；考虑金属材料在非比例载荷下的附加硬化效应，将临界平面最大正应力加入数据集中，并对数据集进行预处理；建立多尺度多深度神经网络框架；考虑物理约束指导神经网络训练可以增加预测精度，建立具有软调节能力的物理损失函数；基于多尺度多深度神经网络框架、物理损失函数搭建多尺度多深度神经网络驱动的金属材料疲劳寿命预测模型；不断迭代优化该模型，得到最优预测模型；使用最优预测模型进行金属材料疲劳寿命预测。本发明不仅具有预测精度高的优点，而且能够增强预测精度的稳定性和泛化能力。
98	CN202311380426.X	一种基于双模光谱交互学习的高阶张量多模态融合方法和模型	G06V	3星	2025.12.05	本发明为具体涉及一种基于双模光谱交互学习的高阶张量多模态融合方法和模型。一种基于双模光谱交互学习的高阶张量多模态融合方法，包括：S10：输入拉曼光谱和红外光谱数据；S20：通过高阶张量外积，所述的拉曼光谱与红外光谱数据进行非级联多模光谱融合表征；S30：计算正交性损失、重建损失、对抗损失，通过对所述的拉曼光谱特征和红外光谱特征进行独特的表征学习来弥补异质性差异。本发明所述的一种基于双模光谱交互学习的高阶张量多模态融合方法和模型，通过BHTF获得双模光谱信息的高阶交互融合特征有效实现多模态数据信息融合，并通过CMIL跨模态学习多模态数据间异质性，实现更准确的跨模态表示，提高了模型的鲁棒性。
99	CN202311390469.6	基于注意力机制TCN-LSTM模型的表层海流预测方法	G06N	3星	2025.10.24	本发明属于海洋测绘技术领域，一种基于注意力机制TCN-LSTM模型的表层海流预测方法，包括以下步骤：(1)通过数据采集模块采集表层海流真实数据，(2)采用实验数据处理模块处理表层海流数据，(3)采用模型搭建模块构造注意力机制TCN-LSTM表层海流预测模型，(4)对表层海流数据进行验证和测试，(5)对神经网络模型进行预测。本发明方法利用长短期记忆网络特点以及时间卷积的优势，同时加入了注意力机制，通过对WaMoSII系统测得的某海域的真实历史海洋数据处理后进行预测。本发明提出的方法预测表层海流流速准确度达到了92.9%，流向准确率高达90.4%。
100	CN202311082066.5	一种润湿性Janus织物的制备方法及润湿性Janus织物	D06M	3星	2025.07.25	本申请公开了一种润湿性Janus织物的制备方法及润湿性Janus织物。所述润湿性Janus织物的制备方法包括：制作水溶性端七甲基三硅氧烷基聚氨酯；将水溶性端七甲基三硅氧烷基聚氨酯和增稠剂加入水中，配制高粘度的水溶性保护涂料；通过水溶性保护涂料对基底织物进行单面涂布，然后烘干，得到单面保护涂层织物；配制低粘度超疏水喷涂液，对所述单面保护涂层织物未涂布的一面进行疏水喷涂处理，然后烘干，得到超疏水-单面保护涂层织物；将得到的超疏水-单面保护涂层织物进行水洗以及烘干处理，将水溶性单面保护涂层去除，得到润湿性Janus织物。本申请提供的一种润湿性Janus织物的制备方法能同时实现润湿性Janus织物疏水面与亲水面静态接触角差值大、织物透气性高的问题。

新疆大学发明专利推荐目录

序号	申请号	专利名称	IPC分类号	DPI星级	授权公告日	摘要
101	CN202310891872.0	一种罗布麻脱胶方法	D01C	3星	2025.08.29	本发明涉及一种罗布麻脱胶方法，属于罗布麻脱胶工艺技术领域。本发明提供的罗布麻脱胶方法包括预酸处理、预碱处理和温和氧化酶处理联合脱胶。本发明基于复合酶脱胶，配合温和氧化处理方法，可有效去除罗布麻纤维上的果胶、木质素、半纤维素等主要杂质，以及天然色素等其他杂质，并可增加罗布麻纤维白度，提高吸水和毛效，使织物表面光洁，手感柔软光滑；同时织物的亲水性，吸水扩散度均有明显增加，力学性能提升，可相应提高染色工序的上色率和匀染性。
102	CN202310865814.0	一种行人重识别方法	G06V	3星	2025.04.25	本发明公开了一种行人重识别方法，属于计算机视觉领域，该方法采用识别终端和用于所述识别终端的识别系统；该方法包括以下步骤：步骤1：准备培训数据集：准备Market-1501、Dukemtmc-Reid和Cuhk03数据集，并对数据集进行训练，在训练之前，对这些数据集进行预处理，包括图像预处理和数据增强；步骤2：建立姿态估计算法并进行训练和优化。采用姿态估计算法对不同姿态下的外观建模匹配，实现了域自适应的行人重识别，实现更好的识别效果和鲁棒性，能够制作便携式的行人重识别装置，利用该装置的结合在实时视频流中对行人进行稳定的、高准确度的身份识别，能够满足在各种场景下人们对行人重识别的需求，具有很高的实用性和应用前景。
103	CN202310570042.8	基于卷积网络和图神经网络混合的变化检测方法	G06V	3星	2025.06.17	本发明公开了基于卷积网络和图神经网络混合的变化检测网络及方法，涉及遥感图像变化检测领域。包括编码器、融合器和解码器，所述编码器有五层网络，其中前两层为由卷积操作构成浅层网络，后三层为由图神经网络构成的深层网络，编码器的输入为双时刻遥感图像，为了同时处理双时刻图像编码器具有孪生的结构，所述融合器接收编码器输出的双时刻特征，将它们进行合并处理，所述解码器包含五层网络，其中深层网络有三层，每一层由点对点的特征融合模块和视觉图卷积模块构成，浅层网络有两层，由点对点的特征融合模块和卷积模块构成。本发明的有益效果是：能够提取局部和全局特征，具有较低的时间开销，使得网络的优化更明确专注。
104	CN202310560239.3	基于GCN-LSTM的多传感器数据融合的电机温度态势预测方法	G06F	3星	2026.09.25	本发明公开了一种基于GCN-LSTM的多传感器数据融合的电机温度态势预测方法，具体如下：步骤1.由多个不同监测电机温度状态传感器收集的多元时间序列构建为传感器网络，并且在该网络上生成空间-时间图；步骤2.构建GCN-LSTM模型得到电机温度最终的预测值。在利用GCN对影响电机温度态势的多源传感器融合抽象为无向图结构，通过局部集聚系数将节点的邻域属性编码作为自环的权重，使得节点在图神经网络的消息聚合过程中能够获取更多邻居节点的信息，以有效挖掘传感器网络的独特空间特征；同时引入LSTM提取电机温度的时空特征，从而有效提高电机态势预测准确度。

新疆大学发明专利推荐目录

序号	申请号	专利名称	IPC分类号	DPI星级	授权公告日	摘要
105	CN202310470329.3	基于多关系的图卷积协同过滤推荐方法、系统和设备	G06F	3星	2025.07.15	本发明涉及一种基于多关系的图卷积协同过滤推荐方法和系统。该方法使用图卷积网络获取用户和项目卷积后的嵌入向量和使用注意力网络为每个图卷积层获得的用户和项目的嵌入向量和分配不同权重αl和βl，并利用这些权重得到用户和项目之间的隐式关系au和ai；分析用户-项目的历史交互数据，分别为用户和项目建立用户-用户图和项目-项目图来获取它们之间的显式关系lu和li；将用户和项目的隐式关系au、ai与显式关系lu、li整合，获得用户和项目的特征表示eu和ei，通过内积运算得到目标用户对目标项目的评分，预测用户对项目的偏好。本发明通过注意力网络为每层图卷积网络分配不同的权重，得到用户和项目的最优特征表示，使得模型能够更好地对用户偏好进行建模，提高推荐效果。
106	CN202310400566.2	一种非煅烧制备Ni3B/Ni电催化剂的方法及应用	B22F	3星	2025.08.05	本发明设计一种硼镍合金和镍复合物（Ni3B/Ni）的合成方法与应用。具体包括以下步骤：1）硼氢化钠和镍盐（硫酸镍，硝酸镍，氯化镍等）在溶液中共沉淀得到硼酸镍前驱物；2）前驱体真空处理后得到亚稳态中间产物，此中间产物在空气中自燃得到主要由硼镍合金和镍组成的复合物（Ni3B/Ni＞80wt%）。其应用于甲醇电氧化制备甲酸展现出高活性和长寿命，用于电催化甲醇产甲酸法拉第效率接近100%，在100mAcm-2电流密度下能够稳定运行50小时。同时也可以用于二氧化碳还原（CO2RR）和硝酸盐电还原（NOxRR）等领域。
107	CN202310374077.4	一种隧道多功能智能施工平台及其使用方法	E21D	3星	2025.07.04	本发明涉及隧道工程技术领域，具体是一种隧道多功能智能施工平台及其使用方法。包括施工平台本体，施工平台本体的底端固定连接有隔水升降罩，隔水升降罩的底面通过若干个平台升降液压缸连接有支撑板，支撑板的底端四周固定连接有可伸缩挡水面板，可伸缩挡水面板的底端设置有阻水胶垫，支撑板的底端通过若干个挡水升降液压缸连接有车骨架，车骨架的底端设置有定位升降液压缸，隔水升降罩的外表面设置有水位传感器和抽水泵。本发明的可伸缩挡水面向下伸长使阻水胶垫有效填充面板和地面之间的缝隙后，可以起到阻水的作用，使工人可以在挡水一侧地面进行施工，隔水升降罩可以阻挡过高的水位，保护施工平台。
108	CN202310253469.5	聚合物/棉纤维复合基超疏水/超亲油材料的制备方法	C08F	3星	2025.06.17	本发明涉及超疏水/超亲水材料技术领域，具体为聚合物/棉纤维复合基超疏水/超亲油材料的制备方法，其向溶有二季戊四醇戊-/己-丙烯酸的醇类体系中，加入未经处理的棉纤维、含短氟碳链单体、交联单体、引发剂以及多氨基化合物，其中二季戊四醇戊-/己-丙烯酸与多氨基化合物发生胶凝作用形成复合型聚合凝胶体系；将该复合型聚合凝胶体系置于高温环境促使其中反应性单体发生热引发原位聚合，从而制得聚合物/棉纤维复合基超疏水/超亲油材料。本发明制得的材料具有高比表面积、高孔隙率、生物可降解性及超疏水/超亲油性能。

新疆大学发明专利推荐目录

序号	申请号	专利名称	IPC分类号	DPI星级	授权公告日	摘要
109	CN202310237219.2	一种降龙涎二醇和两性霉素B联合抗光滑念珠菌的方法	A61K	3星	2025.03.14	本发明公开了一种与两性霉素B联用的芳香植物提取物，所述芳香植物提取物以降龙涎二醇为活性成分，为降龙涎二醇开辟了一种新用途，作为抗真菌药物的增效剂，可降低抗真菌药物的用药剂量，从而减轻了药物的毒副作用，特别是两性霉素B，能够有效减少两性霉素B的最小抑菌浓度(MIC)；显著提高两性霉素B的抗真菌效果，从而减少治疗过程中两性霉素B的用量，进而减少其毒副作用。
110	CN202211534789.X	一种具有明显塑性和优异耐蚀性的高熵块体非晶合金及制备方法	C22C	3星	2025.05.06	本发明公开了一种具有明显塑性和优异耐蚀性的高熵块体非晶合金及制备方法，该合金的结构式为Fe35Ni20Cr20-xCoxMo5(P0.6C0.2B0.2)20(x=4、8、12at.%)，其中x表示Co元素在合金中所占的原子百分比。通过Fluxing和J-quenching技术制备该高熵块体非晶合金（HE-BMGs），x=12at.%时，室温压缩塑性为2.5%。现有HE-BMGs的自腐蚀电流密度的数量级为0-9A/cm2，整体耐蚀性远优于316不锈钢。该高熵块体非晶合金具有优异的综合性能，能够在复杂严苛的服役条件下使用，对拓展高熵块体合金的应用范围具有潜在的价值及意义。
111	CN202211501861.9	一种高温高压条件下饱和酸性气体的溶液pH获取系统、方法及预测方法	G01N	3星	2025.07.25	一种高温高压条件下饱和酸性气体的溶液pH获取系统、方法及预测方法，包括气体提取罐，其内装载液相可溶酸性气体；注射泵，用于对气体提取罐通过管线供给来的液相可溶酸性气体增压；预饱和容器，其内装载盐水溶液，注射泵通过管线供给的增压液相可溶酸性气体与盐水溶液在预饱和容器中混合为酸性气体预饱和溶液；反应容器，包括壳体和容置空间；温度控制装置，设置在容置空间中；搅拌装置，设置在容置空间中；pH检测电极，设置在容置空间中，pH检测电极包括至少两种不同类型的电极，用于检测反应容器在不同环境温度范围下的酸性气体饱和溶液的pH。本发明能够在高温高压的条件下高精度测量饱和酸性气体的盐水溶液或纯溶液的pH值。
112	CN202211485994.1	一种同时提高块体非晶合金复合材料屈服强度和塑性的方法	C22F	3星	2023.12.22	本发明涉及非晶合金复合材料技术领域，提供了一种同时提高块体非晶合金复合材料屈服强度和塑性的方法。本发明将包含非晶相和亚稳态B2相的块体非晶合金复合材料进行冷热循环处理，冷热循环处理包括循环进行热处理和冷处理；所述热处理的温度为所述块体非晶复合材料的Tg的40％～62％，所述冷处理的温度为77.15K；所述冷热循环处理的循环次数≥10次。本发明提供的方法能够将合金中部分亚稳态B2相转变为稳定态的马氏体相提升合金的屈服强度，并且能够增加非晶基体内原子结构的无序度，获得回春态的非晶相，促进样品变形过程中剪切带的形核、增殖与交互作用，从而提高复合材料的塑性，实现屈服强度和塑性变形能力的同步提升。

新疆大学发明专利推荐目录

序号	申请号	专利名称	IPC分类号	DPI星级	授权公告日	摘要
113	CN202211394604.X	基于群分解和改进多尺度权重散布熵的齿轮箱故障诊断方法	G01M	3星	2025.05.16	本发明公开了基于群分解和改进多尺度权重散布熵的齿轮箱故障诊断方法，包括信号采集系统和故障诊断系统；所述信号采集系统采集齿轮箱振动数据，基于STM32开发板进行开发，由Flash存储芯片、CAN发送模块、加速度传感器和AD转化芯片共同组成；所述故障诊断系统诊断齿轮箱故障类型，对收集到的齿轮箱振动数据，使用经优化蝙蝠算法确定参数的群智能分解(SWD)算法分解出有用信号成分，经过本发明方法的处理，可以较为准确的提取信号中的有用特征，保留有用冲击成分，重构信号失真度低；通过本发明可以快速、准确地检测齿轮箱是否发生故障及故障类型，进而及时处理，避免因齿轮箱故障引起更大的经济损失甚至安全事故。
114	CN202210776565.3	高低压复合电火花电解可控脉冲电源	B23H	3星	2024.11.15	本发明涉及一种高低压复合电火花电解可控脉冲电源，该电源复合了高压击穿电路和低压蚀除电路。高压击穿电路提供高幅值的脉冲电压，用以击穿工作介质、打开放电通道、触发电火花加工；低压蚀除电路提供低幅值的脉冲电压，用以输入放电能量或用于实现电解加工。本电源利用高幅值脉冲电压与低幅值脉冲电压匹配形成的高低压复合脉冲实现电火花加工，利用低幅值的脉冲电压实现电解加工，将电火花加工与电解加工有机复合在一起。通过改变高幅值脉冲电压及低幅值脉冲电压的幅值大小、高幅值脉冲电压与低幅值脉冲电压的匹配比例，完成电火花加工与电解加工强度的可控调节，最终可实现高精度、高表面质量的加工。
115	CN202210776935.3	一种粉煤灰地聚物/CuMn复合材料及应用	B01J	3星	2023.12.19	本发明公开了一种粉煤灰地聚物/CuMn复合材料及应用。所述粉煤灰地聚物/CuMn复合材料以球形多孔粉煤灰地聚物为载体，以含有铜和锰的溶液为前驱液，通过水热反应制备而成。所述应用为将所述的粉煤灰地聚物/CuMn复合材料作为催化剂催化去除甲苯。本发明能够催化去除VOCs并且催化性能好、成本低，实现了固废物资源化利用。
116	CN202210727499.0	一种地下采区磁性矿体赋存状态随钻实时探测装置	E21B	3星	2024.12.06	本发明公开了一种地下采区磁性矿体赋存状态随钻实时探测装置，涉及金属矿床地下开采领域，其中，磁性矿物检测装置，包括：矿浆收集托盘、线圈传感器和数据测量处理仪；矿浆收集托盘用于收集由凿岩台车的钻头处沿钻杆流入的矿浆；线圈传感器检测矿浆流动时的电压，得到传感器电压；数据测量处理仪与线圈传感器连接；数据测量处理仪由传感器电压计算线圈传感器的电感值，以确定矿浆中磁性矿物的含量；钻孔监测系统测量钻杆的钻进位移和钻进扭矩，根据钻进位移与时间的关系，计算钻杆推进速度，由钻杆推进速度和钻进扭矩确定目标矿体的赋存状态。本发明能在现场实时监测磁性矿物的含量和赋存状态，降低时间成本，提高测量的准确性。

新疆大学发明专利推荐目录

序号	申请号	专利名称	IPC分类号	DPI星级	授权公告日	摘要
117	CN202210707395.3	基于油包水乳液的电火花电解复合成形加工方法	B23H	3星	2024.09.27	本发明涉及一种基于油包水乳液的电火花电解复合成形加工方法，利用油包水乳液的绝缘性和导电性的双重特性，将电火花成形加工与电解加工有机复合；在加工过程中，利用电火花成形加工产生的高温对工件材料进行蚀除，利用电解加工对电火花加工产生的重铸层进行去除；通过油包水乳液含水量和水相电解质浓度的不同组合来完成电火花成形加工与电解加工强度的可控调节，当电火花成形加工与电解加工的强度达到合适比例时，可实现高精度、无重铸层的成形加工。
118	CN202210710411.4	一种用于检测重金属离子的荧光传感器阵列的制备方法	G01N	3星	2024.07.19	本发明提供了一种用于检测重金属离子的荧光传感器阵列的制备方法，该方法为：将喹哪啶红水溶液和乙二胺溶液混合，然后进行水浴超声，并调节pH至中性，再用二氯甲烷进行纯化，然后用透析袋透析，得到碳点溶液；将EDTA水溶液加入Tb3+水溶液中均匀混合，然后用荧光分光光度计记录混合物的激发和发射光谱，得到Tb3+配合物荧光传感探针；将碳点溶液和Tb3+配合物荧光传感探针混合，获得荧光传感器阵列。本发明制备的荧光传感器阵列为多发射荧光传感器阵列，能够用于重金属离子的检测，能够同时获取多维数据，具有较高的检测灵敏度，选择性强，而且检测操作简单，在生物和环境检测等领域具有巨大的潜在应用价值。
119	CN202210591912.5	一种1-苄或烯丙基3,4-二氢异喹啉的合成方法	C07D	3星	2024.02.06	本发明公开了一种在常温条件下以偶氮芳基作为保护基光诱导四氢异喹啉与苄或烯丙基溴化物的α-烯丙基化反应，其收率可达63％。这种转化为一种1-苄或烯丙基3,4-二氢异喹啉的合成方法提供了一条方便的途径，具有广泛的底物。本发明的优点包括：反应绿色、操作简单；原料便宜易得、来源广泛、制备简单、结构稳定。
120	CN202210428064.6	一种双金属复合管超低温下界面结合强度测试方法与装置	G01N	3星	2025.01.21	本发明提供了一种双金属复合管超低温下界面结合强度测试方法与装置，属于复合管界面性能测试技术领域。首先将内、外开槽的双金属复合管放置在内管、外管夹头上定位；然后在承重梁内部环形保冷槽中充填超低温介质，并进行喷淋冷却；当冷却温度达到测试温度后，通过两个伺服电机分别驱动内管、外管夹头旋转，使试验管在界面结合处发生面内剪切变形，用扭力传感器和高速相机分别记录剪切界面结合强度、界面位移和旋转角等物理参量。本发明提供一种双金属复合管超低温下界面结合强度测试方法与装置，具有结构紧凑、工艺集成度高、通用性强、缸-架-箱一体化设计等优点，解决了复合管超低温环境服役界面结合强度和变形难以准确测量等难题。

新疆大学发明专利推荐目录

序号	申请号	专利名称	IPC分类号	DPI星级	授权公告日	摘要
121	CN202210289824.X	一种升流式电辅助厌氧-好氧耦合生物膜反应器	C02F	3星	2023.07.28	本发明公开一种升流式电辅助厌氧-好氧耦合生物膜反应器，包括反应管，反应管由下至上依次设置有厌氧室、曝气室、好氧室，厌氧室出液端通过曝气室与好氧室进液端连通，供气部，设置在曝气室内，供气部包括供气件和喷气件，供气件位于喷气件下方，且供气件与喷气件连通，曝气室出气端通过喷气件与好氧室进气端连通，供气件通过转杆与喷气件传动连接；载体部，设置在好氧室内，载体部包括载体架。本发明能够实现好氧室由于填料堆叠导致的膜污染和腔体堵塞问题，同时提高厌氧室和好氧室的生物降解能力，此外，提高好氧室的曝气效果，并降低氧气进入厌氧室的数量，进而提高反应器的反应速率。
122	CN202210256738.9	一种激光测风雷达的永磁风力发电机变桨控制系统及方法	F03D	3星	2023.07.11	本发明公开了一种激光测风雷达的永磁风力发电机变桨控制系统及方法，利用大数据处理方式建立将风速大小、当前桨距角和发电参数进行数值量化的第一匹配关系；风力发电控制系统实时二次采集风力发电机的发电参数，基于多次测量的发电参数和第一匹配关系计算桨距角的变化值，并建立发电参数的差值与桨距角变化值之间的第二匹配关系；根据每次计算桨距角变化值时采集两个发电参数的时间采集点，确定变桨驱动模块的驱动时长与桨距角变化值之间的第三匹配关系；基于发电机的额定功率、第二匹配关系和第三匹配关系计算驱动时长，变桨驱动模块按照驱动时长调整叶片的桨距角；本发明提高了变桨控制的精度，加快了变桨控制的速度。
123	CN202210248195.6	一种山区桥墩防滚石与泥石流冲击的保护装置	E01F	3星	2023.09.08	本发明公开了一种山区桥墩防滚石与泥石流冲击的保护装置，包括安装箱、防护板、支撑板、防护套筒和传动机构；安装箱预埋在地面上且套装在桥墩外侧；防护板设在安装箱的顶部，防护板的底部固定有滑杆，滑杆与开设在安装箱的顶部的槽缝滑动连接；支撑板固定在安装箱的顶部，支撑板与防护板之间通过多个第一弹性件连接；防护套筒套装在桥墩的外侧，防护套筒的底部延伸至安装箱与安装箱转动连接；传动机构设置在安装箱内且输入端和输出端分别与滑杆以及防护套筒连接，用于在滑杆滑动时带动防护套筒转动。本发明能够在防护板受到正面冲击时通过传动机构来带动防护套筒转动，从而改变防护套筒的受冲击面，避免受到损坏。
124	CN202210239207.9	一种风电机组机舱电气设备能耗优化综合建模方法及系统	G06Q	3星	2023.05.16	本发明公开了一种风电机组机舱电气设备能耗优化综合建模方法及系统，包括以下步骤：步骤S1、在所述机舱的电子控制器中获取风向调控装置对机舱进行方位移动的历史运行日志，以及获取机舱的历史发电日志，并在历史运行日志中提取运行特征时序数据，耗能特征时序数据，以及在历史发电日志中提取产能特征时序数据和发电特征时序数据；步骤S2、利用神经网络构建运行预测模型，发电状态优化模型，以及发电能耗优化模型；步骤S3在所述约束条件下求解得到风向调控装置在未来时序处的运行特征时序数据的设定值求解结果。本发明在风向调控装置的众多运行参量中找出影响发电稳定性和能耗的关键参数，保证发电过程的稳定性与高效性。

新疆大学发明专利推荐目录

序号	申请号	专利名称	IPC分类号	DPI星级	授权公告日	摘要
125	CN202210148940.X	息肉图像分割方法、装置、计算机设备及存储介质	G06T	3星	2024.12.24	本发明涉及图像分割技术领域，公开了一种息肉图像分割方法、装置、计算机设备及存储介质，该方法包括：获取息肉图像训练集和息肉图像验证集，对息肉图像训练集的图像进行灰度处理，得到灰度图像集，采用息肉图像训练集的图像对预设的编码卷积神经网络进行训练，得到第一编码特征图、第二编码特征图、第三编码特征图、第四编码特征图和编码卷积神经网络参数，采用第一编码特征图、第二编码特征图、第三编码特征图、第四编码特征图和灰度图像集的灰度图像对预设的解码卷积神经网络进行训练，得到解码卷积神经网络参数，根据编码卷积神经网络参数和解码卷积神经网络参数，得到息肉分割模型，将待分割息肉图片输入息肉分割模型分割，提高待分割息肉图像的分割精度。
126	CN202111301898.2	一种ZIF-67衍生的Co2VO4超级电容器电极材料制备和应用	H01G	3星	2025.03.14	本发明公开了一种ZIF-67衍生的Co2VO4超级电容器电极材料及其制备方法。首先，分别制备2-甲基咪唑水溶液，硝酸钴(Co(NO3)2·6H2O)和十六烷基三甲基溴化铵(CTAB)的混合水溶液；随后，将2-甲基咪唑水溶液加入到混合水溶液中，经过搅拌后，通过离心收集沉淀，干燥后得到ZIF-67；将得到的ZIF-67超声分散到乙醇中，与含氨水的偏钒酸铵水溶液混合，经水热、氮气氛围煅烧后得到ZIF-67衍生的Co2VO4材料，最后加工制成超级电容器电极材料。本方法过程简单，绿色环保，制备的Co2VO4材料可保持ZIF-67的原始形貌，用其作为超级电容器电极材料将具有优良的电化学性能。
127	CN202111290037.9	一种棉花秸秆基气敏传感材料的制备方法	G01N	3星	2025.02.07	本发明涉及一种基于棉花秸秆制备气敏传感材料的方法。该方法涉及到简单的碳化、水热和涂覆过程。在室温下（25℃）可实现对1000ppm的氨气、过氧化氢、甲醛、乙醇和丙酮以及85%和100%相对湿度的检测，这中材料的发现为气敏材料探索了一位新的成员，也为生物质材料在气敏材料的研究提供了可能。我们将棉杆应用于气敏传感器材料的制备，使用棉花秸秆制备气敏传感材料，成本造价低廉且便于加工制作，有着很好的应用前景，应该进行关注和研发。
128	CN202111250450.2	具有聚酰胺基离子导体涂层的锌负极及其制备方法和应用	H01M	3星	2025.07.01	本发明涉及一种具有可大规模化的、环保的、快速制备、一体化特性的聚酰胺基涂层的锌负极，属于能源材料技术。其特征在于利用聚酰胺凝胶涂敷于锌表面，后通过凝固浴实现凝胶向固相的快速转化的涂层和金属锌一体化的快速制备。相转化时，能够做到添加电解质盐的部分回收和内外结构差异化涂层的快速制备；残留金属盐能够降低聚酰胺类聚合物涂层的结晶度，起到加速锂离子/锌离子在聚合物涂层内部运输的作用。该涂层特殊的蚁巢状结构和表面大量极性官能团，调控电极表面Zn2+通量，减缓锌枝晶，还能辅助去溶剂化过程，降低初始锌成核能；该涂层在物理上阻止锌负极和电解液的直接接触从而抑制电池使用时的析氢和副反应等不利因素，以延长锌负极寿命。

新疆大学发明专利推荐目录

序号	申请号	专利名称	IPC分类号	DPI星级	授权公告日	摘要
129	CN202111113673.4	一种电气互补冷热联供的弃风利用系统	G06F	3星	2025.07.04	一种电气互补冷热联供的弃风利用系统，包括风电场，为电网供电，弃风经过蓄热式电锅炉存储为热能，蓄热式电锅炉将部分能量供给吸收式制冷机补充电网供电的制冷应用，其余热能对城市热负荷进行供热，剩余城市热负荷所需热能利用燃气锅炉补充。根据弃风和冷热负荷特性建立“电气互补-冷热联供”模型。然后，考虑供暖与制冷成本，构建“电气互补-冷热联供”经济性模型。最后，通过算例分析与传统“燃气锅炉-空调”供暖制冷模型的经济性进行对比，结果表明：所提模式可以在消纳弃风的同时减少碳排放量，达到提升系统收益的目的。
130	CN202111038372.X	一种石墨烯量子点修饰氧化锌的制备方法及降解染料应用	B01J	3星	2023.11.17	本发明公开了一种石墨烯量子点修饰氧化锌的制备方法及降解染料应用，以固相化学法和搅拌法获得形貌均匀、结晶性好、催化效率高的石墨烯量子点修饰氧化锌催化剂；在光照45min后，其光催化降解甲基橙有机染料的效率高达98.6％；在超声振动65min后，其压电催化降解甲基橙的效率高达99.1％；在经过4次降解回收循环测试后，其催化降解甲基橙有机染料的效率仍然保持96.9％以上，表明具有良好的循环回收稳定性。本发明为设计催化效率高和回收利用率高的双功能催化剂提供了一种操作简单、能耗低及无二次污染的技术方案，在有机染料废水降解技术领域和发展可持续能源等方面具有重要的应用价值。
131	CN202111024342.3	一种分层选择槽位相关上下文的对话状态生成方法及装置	G06F	3星	2023.08.08	本发明公开了一种分层选择槽位相关上下文的对话状态生成方法及装置，方法包括：使用门控循环单元编码对话轮向量获得对话轮级隐含状态序列；通过多步选择输出每个对话轮包含槽值的概率；将槽位向量作为门控循环单元的初始输入，在生成槽值的每个时间步中，将上一步生成的单词标签的词向量输入到状态生成器获得当前的隐含状态；采用加权复制机制将对话轮包含槽值的概率和从对话轮复制一个单词的概率分布相乘，获得从对话历史中复制单词的概率分布，进而预测当前时刻的单词标签。装置包括：处理器和存储器。本发明减少了对话文本中噪声信号的干扰，使槽值的生成结果更加准确。
132	CN202111010867.1	一种巨厚煤层强弱分区充填上行分层开采方法	E21C	3星	2023.08.25	本发明涉及煤炭资源开采技术领域，具体的说是一种巨厚煤层强弱分区充填上行分层开采方法，该方法包括：首先将巨厚煤层分为若干个实体煤层，然后对底端的实体煤层铺设巷道，对底端的实体煤层进行开采，最底端的实体煤层开采完毕后，逐层铺设强充填层与弱充填层，对顶端的未开采的实体煤层起着很好的支撑作用，有效避免了实体煤层坍塌的情况发生，大大提高了开采煤炭时的安全性，通过数据分析计算填充层的高度，最后逐步向上开采各分层，直至完成巨厚煤层全部开采完毕；本发明方法具有巷道布置系统简单，经济效益显著，能实现20m以上的巨厚煤层安全高效可靠的开采。

新疆大学发明专利推荐目录

序号	申请号	专利名称	IPC分类号	DPI星级	授权公告日	摘要
133	CN202110985893.X	一种升降式肥土混合装置	A01C	3星	2024.10.11	本发明涉及开沟施肥技术领域，具体公开了一种升降式肥土混合装置。本装置主要由机架部分、旋转部分、排肥部分、控制部分、升降部分、搅拌部分组成。旋转部分采用带传动，旋转方式为整体转动；升降部分采用步进电机搭配丝杆进行升降；排肥部分由排肥筒、混肥筒组成，将肥料进行物理分散，再由排肥伞、可扩展式刀架和搅拌刀组成，将肥料和土壤进行充分混合；本装置能够完成多种肥料的肥土混合的作业，且作业半径可以根据工作条件进行调整。解决了现有果园开沟施肥装置排肥集中，肥土混合程度低，不利于保护环境和果树吸收的问题，对于多种肥料的果园开沟施肥具有重要的意义。
134	CN202110983295.9	一种油气田硫化氢治理设备	B01D	3星	2022.07.22	本发明涉及硫化氢治理技术领域，具体的说是一种油气田硫化氢治理设备，包括治理机构，所述治理机构内部安装有搅拌机构，所述治理机构内部设有排污机构，所述治理机构内部安装有喷气机构，所述治理机构上连接有排气机构，所述治理机构内部安装有喷淋机构，所述喷淋机构内部设有防护机构；通过喷气机构和治理机构的作用下使油气田中硫化氢气体进行输送至治理机构内部与石灰水进行混合中和，去除了硫化氢，通过搅拌机构的作用下有利于对治理机构内部的石灰水进行搅拌均匀，防止石灰水沉淀，提高了硫化氢治理效果，在喷淋机构的作用下有利于对治理机构内部的气体进一步治理，并且在防护机构的作用下有效的防止喷淋机构堵塞。
135	CN202110899638.3	一种模拟深部煤层气渗透率的试验装置	G01N	3星	2023.06.23	本发明涉及模拟煤层气渗透实验技术领域，具体的说是一种模拟深部煤层气渗透率的试验装置，包括主体机构，所述主体机构上安装有驱动机构，所述驱动机构上安装有下料机构，所述下料机构上安装有滚压机构，所述主体机构上设有密封机构，所述主体机构上安装有进气机构；主体机构上安装有驱动机构，驱动机构上安装有下料机构，在向主体机构内部加入沙土时可以打开下料机构，推动驱动机构实现均匀下料，且在下料机构移动的同时可以调节滚压机构的角度对主体机构内部的沙土进行挤压，实现不同紧密性的沙土实验，操作简单；主体机构上安装有密封机构，密封机构在实验时对沙土进行防护，在实验结束后可以打开对主体机构内部的沙土进行清理，利于下料。
136	CN202110899648.7	一种深部煤层气开采气压测量装置	E21B	3星	2022.09.23	本发明涉及煤层气开采技术领域，具体的说是一种深部煤层气开采气压测量装置，包括安装台板；所述安装台板的顶侧设有卷收结构；所述卷收结构上设有延伸结构；所述延伸结构的内侧设有连接结构；所述安装台板的底侧设有支撑结构，所述支撑结构上设有收纳结构，通过卷收结构对电缆进行卷收和释放，同时保证电缆的释放状态，通过延伸结构深入矿井底部进行压力测量，同时对电缆形成防护，通过连接结构使得第一支持壳和第二支持壳与电缆之间的滑动更加流畅，同时使得对于电缆的防护更加全面，通过支撑结构来对结构进行支撑，方便对电缆进行绷紧并进行测量工作，通过收纳结构方便对第一支撑杆和第二支撑杆进行收纳，方便运输。

新疆大学发明专利推荐目录

序号	申请号	专利名称	IPC分类号	DPI星级	授权公告日	摘要
137	CN202110813861.1	短电弧-电化学复合加工介质电导率在线检测方法	B23H	3星	2023.06.02	本发明公开了一种短电弧-电化学复合加工介质电导率在线检测装置及方法，涉及放电加工领域。空气压缩机和水泵驱使压缩空气和电解液通过内部管道冲入电极内孔，电极旋转使电解液和压缩空气混合并从电极内孔冲出，在电极出口位置与4根对称布置的铂丝接触后经支撑腔体的内孔排出，混合介质充当待测电阻与铂丝构成回路，并由直流电源提供恒定电流，通过将示波器并联在回路中实时监测回路电流及电压，根据所测得的电压电流计算实时电阻，并根据铂丝与电极出口的距离、电极内孔直径计算实时电导率。本发明可实时测量电极出口位置的气液混合介质的电导率，可预测加工间隙流场和电场复合特性，为实现短电弧-电化学复合加工工艺占比的可控调节提供一种定量评估方法。
138	CN202110555310.X	一种通过沉积体系分布样式确定陆相湖盆古风向的方法	G01N	3星	2022.12.13	本发明提供了一种通过沉积体系分布样式确定陆相湖盆古风向的方法，包括如下步骤：(1)明确待恢复区域和层位；(2)确定待恢复区域的沉积体系并分析；(3)总结沉积体系的分布规律并归纳不同位置的相组合；(4)运用沉积学方法确定待恢复区域的古风向。本发明主要是通过对待恢复区域内地层和层位，沉积相，沉积亚相的总结分析；将沉积相组合总结，分成不同方位，归纳不同方位主要的沉积相；再基于沉积学理论分析区域内不同方位的水动力及能量高低，从而恢复古风向。
139	CN202110518267.X	一种石油化工用检测反应釜	B01J	3星	2025.04.15	本发明公开了一种石油化工用检测反应釜，属于石油化工领域，包括釜体，所述釜体的顶部设有加料管，所述釜体的底部一侧设有出料管，所述釜体的底部四周安装有多个支柱，所述釜体的上侧安装有第一电机、第二电机和水泵，所述第一电机的驱动端安装有位于釜体内部的转轴，所述转轴上安装有多个搅拌杆，所述第二电机的个数为四个，所述第二电机的驱动端安装有位于釜体内部的螺纹杆，每个所述螺纹杆均螺纹安装有带孔滑块，所述带孔滑块共同与一个清洁环安装。本发明可对釜体的内部实现高效彻底且无死角的清洁处理，提高了结垢的清洁效果，反应后的物料与清理后的结垢分别排放，且在排放结垢时可避免其堵塞带孔板，避免残留，提高清洁效果。
140	CN202110376105.7	一种人工椎体及其制造方法	A61F	3星	2023.11.03	本发明公开一种人工椎体及其制造方法，其中，人工椎体包括承重部和骨细胞长入部，承重部由外向内依次设置有实体的高支撑层和密布有孔结构的低支撑层，骨细胞长入部包括上融合层、下融合层、外层以及植骨孔层，上融合层、下融合层以及外层分别与承重部上表面、下表面、外侧壁贴合，植骨孔层呈筒状并贯穿上融合层、低支撑层和下融合层，骨细胞长入部的表面分布有若干供骨细胞长入的孔槽结构。承重部能够根据人体原椎体结构、所受载荷情况进行设计，避免出现支撑强度不够以及应力遮挡等情况，骨细胞长入部表面开设的孔槽结构能够根据更加适合骨细胞长入的情况进行设计，避免受到其他因素的影响，使人体原骨质结构与人工椎体的融合性更好。

新疆大学发明专利推荐目录

序号	申请号	专利名称	IPC分类号	DPI星级	授权公告日	摘要
141	CN202110359704.8	一种台区最大负荷辨识方法	G06F	3星	2023.06.20	本发明为一种台区最大负荷辨识方法。一种台区最大负荷辨识方法，包括以下步骤：S1：确定台区最大负荷的统计周期及对应的历史日负荷集合后，遍历负荷最大日及其对应的负荷曲线；再分别计算所述的负荷最大日与前一日、后一日、前一周、前一月的负荷曲线的离散Fréchet距离F1-F4；S2：计算所述的前一日与后一日负荷曲线的离散Fréchet距离F5；S3：以所述的F5为基准，检验所述的F1-F4是否存在显著偏离，从而判断台区最大负荷的真伪。本发明提出的一种台区最大负荷辨识方法，可以进一步过滤台区历史日负荷集合中的假数据、提高数据质量，有助于促进人工智能在台区管理中的应用。
142	CN202110282681.5	一种有限时间修正函数投影同步及参数调制的控制方法	H04L	3星	2023.05.05	本发明公开了一种有限时间修正函数投影同步及参数调制的控制方法，涉及混沌保密通信技术领域。本发明采用有限时间控制和修正函数投影同步控制相结合的策略，包括以下步骤：以分数阶激光Maxwell-Bloch混沌系统作为驱动系统，并结合时序图、空间相图、分岔图等对该系统进行非线性动力学行为分析；驱动系统和响应系统的同步控制器设计；对有限时间修正函数投影同步控制器的性能及稳定性进行分析；通过数值仿真验证本发明的控制方法的正确性，能在短时间内实现两系统的同步，并且具有较强的鲁棒性，更适于应用在实际保密通信当中。
143	CN202110156956.0	一种N-芳硫基邻苯二甲酰亚胺类化合物的合成方法	C07D	3星	2022.08.09	本发明公开了一种N-芳硫基邻苯二甲酰亚胺类化合物的合成方法。在电化学反应条件下，以邻苯二甲酰亚胺和芳基硫酚(硫醚)类化合物为原料，溴化钾为电解质，18-冠-6为添加剂，乙腈(CH3CN)为溶剂，在空气氛围下室温制备N-芳硫基邻苯二甲酰亚胺类化合物。与已报道的制备方法相比较，本发明绿色、环保、安全、节能、底物适用范围广、产物官能团兼容性好、原料易得、操作简便。
144	CN202110046276.3	一种液体粘度检测装置	G01N	3星	2024.08.27	一种液体粘度检测装置，本发明可调水平底座平台上由左到右依次固定安装有LED背光光源、气泡发生装置、溶液收集槽、支架、CCD高速摄像机，支架上安装常压供液装置；常压供液装置下方平台固定安装有溶液收集槽；控制器安装在CCD高速摄像机上方，常压供液装置、气泡发生槽通过通讯线缆与控制器相连；上位PC机安装在整个装置的侧旁，CCD高速摄像机和控制器通过通讯线缆与其相连。通过控制检测装置对待测溶液液滴和溶液中汽泡生成过程进行视频采集，经过视频图像处理和特征提取获得待测溶液的特征数据，采用软测量方法识别待测液体的粘度，提高了工业场景中在线粘度检测的准确性与实时性。

新疆大学发明专利推荐目录

序号	申请号	专利名称	IPC分类号	DPI星级	授权公告日	摘要
145	CN202011407865.1	双涡旋淬火设备	C21D	3星	2025.03.28	本发明公开一种双涡旋淬火设备，涉及球形、类球形工件的热处理装置技术领域，包括淬火槽和介质循环系统；淬火槽顶部为两个相交设置的圆柱形壳体结构，每个圆柱形壳体结构底部分别与一圆台形壳体结构的较大端相连接；每个圆柱形壳体结构上设置有与圆柱形壳体结构内壁相切的进口，进口与介质循环系统相连通。介质进入圆柱形壳体结构后，在每个圆柱形中形成一个漩涡流体，利用双漩涡相交处的高速水流对工件进行淬火热处理，淬火介质不受阻碍的接触到工件表面各处，实现无死角的冷却。淬火槽内流场规律，高速水流流动平稳，同时解决了淬火介质的飞溅问题。无需使用大水箱，在场地有限的情况下更加适宜使用。
146	CN202011323742.X	一种咪唑并[2,1-b]噻唑衍生物的制备方法	C07D	3星	2024.04.02	本发明公开了一种经[3+2]环反应制备苯基（3-苯基苯并[4,5]咪唑并[2,1-b]噻唑-2-基）甲酮衍生物的方法。在室温，无光催化剂的条件下，以2-巯基苯并咪唑及2-巯基苯并咪唑衍生物和α,β-不饱和酮为原料，经可见光照射高效的合成了具有医药和材料应用的苯基（3-苯基苯并[4,5]咪唑并[2,1-b]噻唑-2-基）甲酮衍生物。该类化合物的合成方法尚未被报道，与已报道的咪唑并[2,1-b]噻唑骨架的构建方法相比较，本发明反应条件温和、绿色环保、底物适用范围广、官能团兼容性好、原料易得、操作简便、底物无需预官能团化，且无需过渡金属、光催化剂和外加氧化剂。而且，利用该方法可以简便高效的合成医药中间体和分子。
147	CN202011297039.6	基于深度学习的单幅图像去雪花方法、装置及存储介质	G06T	3星	2022.07.29	本发明公开了一种基于深度学习的单幅图像去雪花方法、装置及存储介质，所述方法包括：通过注意力机制，将成对的具有相同背景的含雪和无雪图像作为输入，根据网络的自动学习能力，提取雪花像素的特征生成雪花注意力图；将含雪图像与相应的雪花注意力图同时作为无雪图像生成部分的输入，利用U-net网络以及残差网络恢复出无雪图像；将恢复出的无雪图像与真实的无雪图像同时作为判别器部分的输入，用以训练判别器判断真假图像的能力；采用训练后的判别器对输入的图像进行特征提取，通过提取到的特征做出判断，从而使得生成器生成的图像越来越接近真实的无雪图像。本发明处理后的图像中雪花去除效果很好，而且较原图像能保留更多的细节特征；在修复被雪花覆盖的像素时避免了图像失真与模糊等问题。
148	CN202011179720.0	一种含固相物和水的高浓度低沸点有机废液的处理方法	F23G	3星	2025.03.14	一种含固相物和水的高浓度低沸点有机废液的处理方法，首先采用有机溶剂将不可燃和水分质量百分比超过25%，沸点低于200℃的有机废液配制成可燃组分超过75%的有机溶液；先采用热空气加热有机蒸汽输送管道、预混管、燃烧喷嘴，再将有机溶剂送入蒸发罐，经过滤后与热空气预混后一同送入燃烧喷嘴，点火燃烧后，产生的烟气与送入反应器的空气混合，加热至1000℃以上，再将烟气降温，脱水后采用活性炭吸附。本发明可有效处理含有固相物和水的高浓度低沸点有机废液，保证燃烧过程稳定，燃烧完全，安全可靠。

新疆大学发明专利推荐目录

序号	申请号	专利名称	IPC分类号	DPI星级	授权公告日	摘要
149	CN202011151861.1	一种湿陷性黄土边坡防护结构	E02D	3星	2022.03.08	本发明涉及边坡防护结构技术领域，公开了一种湿陷性黄土边坡防护结构，包括：下层防护单元和上层防护单元，下层防护单元紧贴黄土边坡，上层防护单元设于下层防护单元之上，且通过连接件连接，下层防护单元和上层防护单元之间有间隙，间隙用来填筑水泥或混凝土，下层防护单元的一侧端固连有多个第一空心柱，下层防护单元的相对侧端固连有多个第二空心柱，柱状杆依次穿过多个第一空心柱与第二空心柱将相邻的两个下层防护单元连接起来，下层防护单元具有锚孔，锚杆能够穿过锚孔插入湿陷性黄土边坡内，上层防护单元的一侧端具有凹槽，上层防护单元的相对侧端具有凸缘，凸缘能够插接入凹槽内。本发明结构可以使防护结构与湿陷性黄土边坡完全贴合。
150	CN202010910070.6	旋翼无人机模块化可变性机架	B64U	3星	2024.06.21	一种无人机模块化可变性结构机架，相邻机臂之间通过可旋转的连接装置（7）进行连接，连接装置（7）可根据所搭建机型进行相应的旋转变形，可旋转至两轴线平行；结构特点在于主副机臂交点与机架中心的连线方向为主副机臂夹角的角平分线，副机臂端点和其相邻的机架中点的连线方向与主副机臂交点和机架中心的连线方向平行；这种机架可以通过增减机臂的数量来适应不同应用场合的需要，机臂与连接装置实现模块化可变性的功能，实现全机身折叠、展开，且收纳后体积小，便于打包和运输；模块化的实现使得灵活性更高，当机架出现损坏时，可随时更换任意组件，而不需要对整个机架进行更换，降低使用成本。
151	CN202010545579.5	空中机器人多功能机械臂装置	B64C	3星	2023.09.08	本发明公开了一种空中机器人多功能机械臂装置，属于无人机多自由度机械臂装置技术领域，包括两条机械臂、四个舵机、两个电机、两对机械爪、两个减震机构和两个间歇机构。本发明克服了传统机械臂功能单一的缺点，既能实现传统的抓取功能，又能实现支撑无人机站立的功能，使无人机在地面停留时不再需要专门的支撑机构，同时机械臂的手臂能够与地面直接接触，能够使得无人机稳定站立；本发明利用不完全齿轮和槽轮机构的组合，既能实现机械爪的开合，又能实现机械爪的向上旋转，使机械爪在无人机站立时不影响机械臂的整个手臂与地面的贴合，保证了机械臂站立功能的稳定性。另外，本发明还为机械臂增加了减震机构，能减小冲击载荷对无人机的影响。
152	CN202010472412.0	一种咪唑型二腈胺盐离子液体功能化石墨烯负载铂催化剂的制备方法	H01M	3星	2022.06.14	本发明采用一锅室温还原法制备了电催化性能优异的一种咪唑型二腈胺盐离子液体功能化石墨烯负载铂催化剂，该方法选择比表面积大、电化学性能较好的还原氧化石墨烯rGO为载体，通过非共价功能化，赋予其更加优异的导电性，以六水合氯铂酸为铂源，硼氢化钠作为还原剂，制备咪唑型二腈胺盐离子液体功能化石墨烯负载铂催化剂Pt/emimN(CN)2/rGO。制备的催化剂具有良好的甲醇氧化电催化活性、抗一氧化碳中毒性能以及稳定性，因而对直接甲醇燃料电池阳极催化剂的开发、研究及应用具有一定借鉴意义。

新疆大学发明专利推荐目录

序号	申请号	专利名称	IPC分类号	DPI星级	授权公告日	摘要
153	CN202010119187.2	视频图像的处理方法、装置及电子设备	H04N	3星	2022.09.23	本发明公开了一种视频图像的处理方法，包括：在接收到对视频图像的处理指令的情况下，扭曲视频图像中每一帧图像的像素点为相邻帧的图像中的像素点，以确定与视频图像中每一帧图像相似的目标帧图像，其中，目标帧图像为与每一帧图像相邻帧的图像；根据每一帧图像与对应的目标帧图像的像素差值， 确定视频图像中的第一对象；去除第一对象，得到处理后的视频图像。本发明还公开了一种视频图像的处理装置及电子设备。
154	CN202010082748.6	一种负载型无汞催化剂及其制备方法和在催化乙炔氢氯化反应中的应用	B01J	3星	2022.12.16	本发明提供了一种负载型无汞催化剂及其制备方法和在催化乙炔氢氯化反应中的应用，涉及催化剂技术领域。本发明提供的负载型无汞催化剂包括载体和负载在所述载体上的活性组分；所述载体为埃洛石纳米管；所述活性组分为贵金属卤化物和/或贵金属络合物，所述活性组分中的贵金属元素在载体上的负载量为0.05～1wt％。本发明提供的催化剂为无汞催化剂，绿色环保，可高效催化乙炔氢氯化反应，催化活性高。实施例结果表明，本发明提供的催化剂催化乙炔氢氯化反应，乙炔转化率大于91％，氯乙烯选择性大于97％。本发明还提供了所述用于乙炔氢氯化反应的负载型无汞催化剂的制备方法，过程简单，易于操作。
155	CN201911060518.3	图像检测方法及装置	G06V	3星	2023.06.27	本发明公开了一种图像检测方法及装置，涉及图像处理技术领域，主要目的在于在图像检测的过程中，解决图像目标的检测结果准确性较低的问题而发明。本发明的方法包括：根据待检测图像的底层特征，利用预设模型获取所述待检测图像的目标先验数据；通过低秩矩阵分解对所述待检测图像的底层特征进行处理，得到目标特征及背景冗余信息；根据所述目标先验数据对所述待检测图像中的目标特征及背景特征按照监督信息方向分离，得到初步图像目标；利用优化中智学算法对所述初步图像目标进行优化，得到图像目标以完成图像检测，所述优化中智学算法是对中智学理论重新数学公式定义得到的。本发明主要适用于对自然图像的图像目标进行检测。
156	CN201910717153.0	流速仪滑线式多通供电结构及其多通供电方法	H01R	3星	2025.05.16	本发明公开了一种流速仪滑线式多通供电结构及其多通供电方法，其包括机架、绝缘基板和多组按压式电刷供电组件，多组按压式电刷供电组件间隔排列设置在绝缘基板上，所述按压式电刷供电组件包括上电板、连接架、支臂、高低调整部件、弹力部件和电刷装置。通过多组按压式电刷供电组件同时与供电滑线相接触，使设备和外接电路连接有多重保障，有效解决因碳刷晃动而导致与电线接触不良的情况；在使用过程中，通过弹力部件与支臂的动态配合，在确保电刷装置的电接触效果基础上，也能提高了整个设备的工作稳定性和灵活性，当流速仪设备和供电滑线配合有偏差时，能够防止石墨电刷的损坏，延长使用寿命，另外整体结构紧凑，易于实现，利于广泛推广应用。

新疆大学发明专利推荐目录

序号	申请号	专利名称	IPC分类号	DPI星级	授权公告日	摘要
157	CN201910710297.3	嵌套式FRP管-高水速凝材料-PVC管双壁空心墩柱及其施工方法	E21D	3星	2024.07.26	本发明公开了一种嵌套式FRP管-高水速凝材料-PVC管双壁空心墩柱及其施工方法。所述的嵌套式FRP管-高水速凝材料-PVC管双壁空心墩柱由嵌套式FRP管、PVC管和填充在嵌套式FRP管和PVC管中间的高水速凝材料组成。所述的施工方法步骤包括：地面组装嵌套式FRP管；清理施工区域并用白色喷漆标记具体施工位置；将嵌套式FRP管放置在圈定的施工位置；将PVC管放置在嵌套式FRP管中间，确保PVC管与嵌套式FRP管的同心布置；通过塑料接头将PVC管连接；将FRP外管拉伸至完全接触回采巷道顶板时通过细钢丝将其与回采巷道顶板固定；将高水速凝材料注入由嵌套式FRP管和PVC管组成的双壁空心位置。本发明可作为深部巷道支护结构的一种选择，进一步丰富现有巷道被动支护结构的形式。
158	CN201910632052.3	大比表面积高强度柔性静电纺丝炭纤维及其制备方法	D01F	3星	2022.02.15	本发明涉及静电纺丝技术领域，是一种大比表面积高强度柔性静电纺丝炭纤维及其制备方法，前者按照下述方法得到：将炭量子点与聚丙烯腈混合，得到纺丝液，将纺丝液进行静电纺丝，得到纤维，将纤维预氧化后进行炭化，向得到的炭纤维中加入氢氧化钾并活化，得到活化纤维，用盐酸中和除去活化纤维中多余的氢氧化钾和无机盐离子后，清洗、自然风干得到大比表面积高强度柔性静电纺丝炭纤维。本发明由于炭量子点表面丰富的含氧官能团，使其能均匀地分散在在聚丙烯腈基底中，得到的炭纤维经过活化造孔后仍然保持原有的纳米结构和高机械强度、高柔性的特点，并且获得巨大的比表面积。本发明工艺简单，成本低，适合大工业化生产。
159	CN201910526636.2	一种高效的印刷体维吾尔文单词分割算法	G06V	3星	2024.01.23	本发明公开了一种高效的印刷体维吾尔文单词分割算法，包括以下步骤：首先，将收集的印刷体维吾尔文本行进行基本的灰度化与二值化处理。之后计算出文本行图片中每个连体段之间最小间距。利用所计算出的间距定义卷积核，用定义好的卷积核进行膨胀处理。之后再用均值滤波器滤波让每个单词成为一个连体段。最后再进行二值化后利用垂直积分投影方法切分出每一个单词。实验结果证明了本算法的高效性与鲁棒性。
160	CN201910339330.6	确定SAR图差异区域的方法和装置	G06T	3星	2022.08.30	本申请提供一种确定SAR图差异区域的方法和装置，方法包括：采用第一伽马变换指数对第一SAR图进行伽马变换，得到第一变换图；采用第二伽马变换指数对第二SAR图进行伽马变换，得到第二变换图；第一伽马变换指数和第二伽马变换指数均小于1；根据第一变换图和第二变换图获得均值比差异图；对均值比差异图进行聚类处理，获得初始检测图；根据第一SAR图和第二SAR图获得对数比差异图；根据对数比差异图获得显著值图S；对显著值图S进行二值化处理，获得显著区域图；比较初始检测图和显著区域图，获得差异区域。采用以上方法可以减少噪声对变化检测精度的影响，提高变化检测效果。

新疆大学发明专利推荐目录

序号	申请号	专利名称	IPC分类号	DPI星级	授权公告日	摘要
161	CN201910222792.X	一种特种乳中掺伪牛乳的双重PCR检测试剂盒及其应用	C12Q	3星	2023.06.09	本发明旨在提供一种特种乳中掺伪牛乳的双重PCR检测试剂盒，利用山羊乳、马乳、驴乳、骆驼乳样本作为测试材料，利用本发明检测试剂盒通过检测骆驼乳、驴乳、马乳、山羊乳和牛乳线粒体基因差异序列为靶基因，用于分别检测骆驼乳、驴乳、马乳、山羊乳中牛乳的掺伪，该方法灵敏度较高，特种乳中牛乳掺伪的检出限在0.1～2%之间。本发明应用双重PCR技术，根据线粒体基因设计骆驼、驴、马、山羊和牛源性特异引物，能够在一个PCR体系中同时鉴别牛源以及其他物种源性，具有灵敏度高、特异性好、快速鉴别的特点。
162	CN201910209439.8	检测图像变化的方法及装置	G06T	3星	2023.04.25	本发明公开一种检测图像变化的方法及装置，涉及图像处理技术领域，其目的在于提高变化检测结果的准确性。本发明的方法包括：获取第一遥感图像及第二遥感图像，第一遥感图像中包含云雾；将第一遥感图像分解为高频部分和低频部分，并分别对高频部分中的每个第一像素点和低频部分中的每个第二像素点进行小波系数伸缩处理，以获得第三遥感图像；根据第一遥感图像和第三遥感图像生成第一遥感图像对应的去云遥感图像；生成去云遥感图像和第二遥感图像对应的最优特征差异图像，并根据预设聚类算法对最优特征差异图像进行二值聚类分析，以获得变化检测结果。本发明适用于对包含云雾的遥感图像进行变化检测的过程中。
163	CN201811357594.6	沥青路面的性能检测方法及待测沥青混凝土结构制备方法	G01N	3星	2021.05.28	本发明提供一种沥青路面的性能检测方法及待测沥青混凝土结构制备方法，涉及公路工程技术领域，该沥青路面的性能检测方法包括：经待测沥青混凝土结构中至少一个孔洞向待测沥青混凝土结构注入检测液；检测待测沥青混凝土结构的抗剪模量；基于该抗剪模量，确定待测沥青混凝土结构的弯拉应力。由于可以检测注入检测液的待测沥青混凝土结构的抗剪模量，基于该抗剪模量确定待测沥青混凝土结构的弯拉应力，从而分析水盐扩散和迁移对沥青路面性能的影响及对沥青路面的损害程度，基于此分析可以为沥青路面的设计与施工提供合理的建议。另外，由于该沥青路面的性能检测方法是通过模拟实际沥青路面的水盐扩散过程，因此提高了检测的准确率。
164	CN201811240071.3	利用风积沙充填网箱构筑沿空留巷护巷墙体的方法	E21F	3星	2020.10.16	本发明涉及一种利用风积沙充填网箱构筑沿空留巷护巷墙体的方法，该方法首先将风积沙吹填于由钢丝网箱和土工布构成的四周密闭上方敞开的待填充网箱内，并振动压实。风积沙由于钢丝网箱和土工布提供的侧向约束，将具备承载能力；待由风积沙充填网箱砌筑的沿空留巷护巷墙体接顶后，沿空留巷顶板岩层的旋转和下沉将得到有效控制。该利用风积沙充填网箱构筑沿空留巷护巷墙体的方法，在不消耗水资源的前提下，充分发挥了风积沙的承载性能，保证了由风积沙充填网箱构筑的护巷墙体对沿空留巷顶板岩层的有效支撑，从而降低了沙漠化干旱矿区沿空留巷成本，提高了该类矿区煤炭资源的采出率，同时也减小了采矿活动对水资源及当地生态环境的影响和破坏。

新疆大学发明专利推荐目录

序号	申请号	专利名称	IPC分类号	DPI星级	授权公告日	摘要
165	CN201811240084.0	利用风积沙干式填充网箱承载体充填采空区的方法	E21F	3星	2020.10.16	本发明涉及一种利用风积沙干式填充网箱承载体充填采空区的方法，该方法首先将风积沙吹填于由钢丝网箱和土工布构成的四周密闭上方敞开的待填充网箱，并振动压实，形成风积沙干式填充网箱承载体。风积沙由于钢丝网箱和土工布提供的侧向约束，将具备相应的纵向承载能力。待风积沙干式填充网箱承载体充满采空区后，上覆岩层的移动和变形将得到有效控制。该利用风积沙干式填充网箱承载体充填采空区的方法，在不消耗水资源的前提下，充填利用了风积沙的承载能力，克服了风积沙因其流动性而至接顶不实的问题，保证了风积沙充填体对采空区覆岩的支撑效果，减小了采动裂隙和地表沉降对干旱矿区地下水资源和地表植被造成的影响和破坏。
166	CN201811065820.3	单类型多终端低功耗无线传输系统及其传输方法	H04W	3星	2021.09.14	本发明涉及多终端低功耗无线传输技术领域，是一种单类型多终端低功耗无线传输系统及其传输方法，前者包括集中控制单元和若干个终端节点单元，集中控制单元包括第一无线通信模块和核心控制模块，核心控制模块包括模式判断与切换模块，在每个终端节点单元内均设置有第二无线通信模块，模式判断与切换模块，用于根据命令切换集中控制单元的应用场景。本发明实现了在单类型多终端无线传输系统中多应用场景的低功耗切换策略选择，进一步优化了数据传输过程的速度，降低了单类型多终端无线传输系统中无线传输的功耗，采用一个多终端节点命令和多个单终端节点命令两种方式中能量损耗低的方式进行命令发送，有效的降低了系统的整体功耗。
167	CN201811037277.6	一种固相化学反应合成碘酸氧铋纳米片的方法	C01B	3星	2022.02.15	本发明的目的在于提供一种固相化学反应合成碘酸氧铋纳米片的方法，该方法通过使用廉价的原料：固体硝酸铋和固体碘酸钾作为反应物，采用简单的操作过程，在室温下通过固相-固相直接化学反应，合成了碘酸氧铋纳米片。本发明提供的制备碘酸氧铋纳米片的方法成本低、操作简便、时间短、易于实现大批量生产的特点，使本发明具有极为广阔的应用前景。
168	CN201810177518.0	一种用于生物复合材料的3D打印喷头	B29C	3星	2021.03.16	一种用于生物复合材料3D打印的打印喷头，包括推杆，同轴加热套，送丝管，热电偶，混合挤出头，送粉管，电加热管；混合挤出头与同轴加热套通过螺纹连接，推杆装在同轴加热套的送料腔内孔中，送料腔内孔中装有可降解聚合物，同轴加热套上装有三个电加热管。混合挤出头上装有三个送粉管和一个送丝管，混合挤出头的外壁装有热电偶。所述喷头可以制作由连续纤维增强的可降解聚合物-生物陶瓷复合材料的3D打印件，可以有效的提高打印件的机械性能、骨结合力，可以控制打印件的降解速度，可以降低无菌性炎症的风险。

新疆大学发明专利推荐目录

序号	申请号	专利名称	IPC分类号	DPI星级	授权公告日	摘要
169	CN201810059740.0	一种强制循环热空气的电馕坑	A47J	3星	2024.06.18	一种强制循环热空气的电馕坑，包括馕坑本体、空气夹层、保温层、电加热棒、引风机、挡板、热电偶、湿度检测元件、洒盐水器、限流板、滚轮、温控装置、主控器、支撑架、热空气管、干燥箱、电动阀门、集气管道等，通过限流板和挡板的导流作用以及引风机的抽吸作用，充分回收热空气，避免能量的浪费，有效提高了馕坑的热效率。
170	CN201711171232.3	基于幂律分布的彩色图像分水岭分割方法	G06T	3星	2021.05.25	本发明公开了一种基于幂律分布的彩色图像分水岭分割方法，包括:步骤S1、利用SOBLE算子求得彩色图像的原始梯度图像，并对原始梯度图像进行形态学极小值标定，从而得到标定后的图像；步骤S2、对标定后的图像进行分水岭预分割，从而得到预分割标签图像，并通过区域面积-数目的幂律分布关系选择面积阈值；步骤S3、引入上述选择的面积阈值破坏上述预分割标签图像的自组织临界态，使预分割标签图像中的区域重新分布并达到新的自组织临界态，从而完成最终分割。以实现抑制过分割现象且降低算法时间复杂度的优点。
171	CN201710124585.1	零件内孔激光熔覆送粉装置及激光熔覆装置	C23C	3星	2020.01.10	本发明涉及激光熔覆加工装置技术领域，是一种零件内孔激光熔覆送粉装置及激光熔覆装置，其包括依次连接的连接块、带伸缩杆万向节、第一调节杆、第二调节杆、第一紧固螺栓、第二紧固螺栓，带伸缩杆万向节包括伸缩杆和连接在伸缩杆上端的万向节，万向节的上端固定安装在连接块上。本发明结构合理而紧凑，使用方便，其带伸缩杆万向节、第一调节杆、第二调节杆、万向球状接头形成一个连杆，喷粉嘴安装在万向球状接头上，对于内孔类零件，通过改变第一调节杆和第二调节杆的相对位置控制喷粉嘴轴向深度，通过伸缩杆调节喷粉嘴径向高度，然后通过调节万向节和万向球状接头保证喷粉嘴与待熔覆区域垂直，而不会发生干涉。
172	CN201610241439.2	基于微卫星标记Thymall-01的新疆北极茴鱼检测引物和方法	C12Q	3星	2019.07.02	本发明公开了一种基于微卫星标记Thymall-01的新疆北极茴鱼检测引物和方法。首先提取新疆北极茴鱼肌肉中的基因组DNA并稀释备用；再利用新疆北极茴鱼DNA序列中含有的微卫星核心序列，在其序列两端设计特异性引物；然后使用该引物对新疆北极茴鱼不同地理群或新疆北极茴鱼群内个体的基因组DNA进行PCR扩增，对PCR产物进行检测；利用产物出现的条带进行分析，确定每个个体的基因型，并获得新疆北极茴鱼的遗传多态性图谱。本发明的特点是可快捷的获得新疆北极茴鱼遗传标记Thymall-01的遗传变异图谱，方法简便。

新疆大学发明专利推荐目录

序号	申请号	专利名称	IPC分类号	DPI星级	授权公告日	摘要
173	CN201610241796.9	利用微卫星标记Thymall-02对新疆北极茴鱼检测的引物和方法	C12Q	3星	2019.07.02	本发明公开了一种利用微卫星标记Thymall-02对新疆北极茴鱼检测的引物和方法。首先提取新疆北极茴鱼肌肉中的基因组DNA并稀释备用；再利用新疆北极茴鱼DNA序列中含有的微卫星核心序列，在其序列两端设计特异性引物；然后使用该引物对新疆北极茴鱼不同地理群或新疆北极茴鱼群内个体的基因组DNA进行PCR扩增，对PCR产物进行检测；利用产物出现的条带进行分析，确定每个个体的基因型，并获得新疆北极茴鱼的遗传多态性图谱。本发明的特点是可快捷的获得新疆北极茴鱼遗传标记Thymall-02的遗传变异图谱，方法简便。
174	CN201610131820.3	一种阳极效应处理装置与方法	C25C	3星	2019.01.22	本发明公开了一种电解铝过程中阳极效应处理装置和方法。所述处理装置包括配气装置，所述配气装置的出气端连接有熄灭剂储罐，所述熄灭剂储罐的出气端通过软管与效应熄灭管连接，所述处理装置还包括用于升降、转动、弯曲所述效应熄灭管的效应熄灭管传动装置。所述方法包括：(1)根据不同的阳极效应种类配置熄灭剂存储在所述熄灭剂储罐中，将所述效应熄灭管伸到阳极底部；(2)当需要对阳极效应进行熄灭处理时，通过控制配气装置释放熄灭剂。本发明的效应处理过程在阳极底掌界面处完成，不搅动铝液，不对电解铝液产生氢和氧化铝夹杂污染，具有很高的经济价值和社会效益。
175	CN202311097288.4	基于语音预训练模型的抑郁症检测方法及系统	G10L	3.5星	2024.04.30	本发明涉及一种基于语音预训练模型的抑郁症检测方法及系统，包括建立语音数据库；用于语音特征有效性分析、分类器训练优化的相关数据；进行语音预处理；包括预加重、加窗以及快速傅里叶变化；基于预训练模型的语音特征提取；对表征抑郁程度的语音特征进行提取；基于机器学习进行分类；得到的模型测试语音信号，并输出其对应的抑郁症状态作为判断被试者的抑郁检测依据。本发明基于语音预训练模型的抑郁症检测方法及系统，基于语音预训练模型的语音特征提取、时延神经网络与门控循环单元算法等机器学习技术，通过寻找语音特征与抑郁症之间的关系，通过语音读取的方式客观评估被试人员是否患有抑郁症；提高了抑郁症识别的准确率和精度。
176	CN202310247935.9	数据驱动的变压器生产物料智能配送方法	G06Q	3.5星	2025.03.28	本发明公开了数据驱动的变压器生产物料智能配送方法，涉及涉及车间物料配送技术领域，该生产物料智能配送方法将配送过程分为生产物料备料和生产物料配送两个阶段，首先，在车间生产过程中不断采集过程数据并分类存储，基于车间生产历史数据和实时监测数据，在备料阶段运用KNN(K-NearestNeighbor)回归预测实现车间生产物料的智能备料；在生产物料配送阶段运用改进时间窗的A*(A-Star)算法实现具有良好避障能力、路径平滑高效的AGV（AutomatedGuidedVehicle）物料配送路径自主决策，本发明能够满足变压器生产物料配送的实际使用需求，提高变压器生产制造过程的配送效率，具有一定的参考意义和应用价值。

新疆大学发明专利推荐目录

序号	申请号	专利名称	IPC分类号	DPI星级	授权公告日	摘要
177	CN202310228909.1	电容脱盐用二硫化钼/多孔碳球复合材料及其制备方法	C02F	3.5星	2024.06.18	本发明涉及电极材料技术领域，是一种电容脱盐用二硫化钼/多孔碳球复合材料及其制备方法，本发明以煤基石墨烯量子点、二水钼酸钠和硫脲为原料，通过超声喷雾热解法制得。本发明采用原位生长策略，通过超声喷雾热解法制备了孔隙结构发达、吸附位点丰富、亲水性和导电性优异的电容脱盐用二硫化钼/多孔碳球复合材料，其工艺简单，可连续运行，适用于规模化生产，具有高比表面积、高介孔体积、导电性和润湿性好的特点，不仅提供了丰富的离子吸附位点，同时缩短了离子和电子的扩散路径，有效提高了电容脱盐电极的脱盐性能。
178	CN202211709638.3	一种低复杂度可扩展的拜占庭容错方法及装置、存储介质	H04L	3.5星	2024.04.16	本发明为一种低复杂度可扩展的拜占庭容错方法及装置、存储介质。一种低复杂度可扩展的拜占庭容错方法，包括以下步骤：(1)基于无人机集群的多编队控制策略对节点进行分组后，先组分共识，再组间共识；(2)构成综合评价模型；(3)将所述的综合评价模型和共识机制相结合,在每个小组中选择综合评分最高的节点作为主节点；(4)根据低复杂度可扩展的拜占庭容错的共识流程，计算出通信复杂度。本发明所述的一种低复杂度可扩展的拜占庭容错方法及装置、存储介质，既能提高节点可扩展性和容错性，同时又能降低通信复杂度以及视图切换的概率。
179	CN202211451056.X	用于提升有功调节能力的风储系统多时间尺度运行方法	H02J	3.5星	2025.04.18	本发明提供了一种用于提升有功调节能力的风储系统多时间尺度运行方法，包括：为减少储能充放电状态转换次数，将储能单元划分为充、放电组分别承担充、放电需求，根据储能单元荷电状态，采用储能单元动态分组机制更新充、放电组中储能单元；其次，基于模型预测控制方法构建风储系统多时间尺度运行模型，提升风电场不同时间尺度的有功调节能力；提出储能单元功率分配策略，精细化管理储能单元有序动作，优化储能出力在各单元间的功率分配。本发明提供的用于提升有功调节能力的风储系统多时间尺度运行方法，能够减少储能充放电状态转换次数，能够实现风储系统严格执行发电计划，还能够在实现自身平稳并网的基础上实时响应系统有功调节需求。
180	CN202211417006.X	一种应用于复杂地形的瞬变电磁数据地形校正方法及系统	G06F	3.5星	2025.05.06	本发明提出了一种应用于复杂地形的瞬变电磁数据地形校正方法及系统，属于瞬变电磁数据校正技术领域，通过搭建包含目标区域地形的复杂地形模型进行三维正演仿真计算，获得带地形的复杂地形瞬变电磁数据；在此基础上对完全不包含地形的平坦地形模型进行同样瞬变电磁参数的三维正演仿真计算，获得无地形的平坦地形瞬变电磁数据；将带地形的复杂地形瞬变电磁数据减去无地形的平坦地形瞬变电磁数据，得到纯由复杂地形引起的复杂地形响应；再从实测瞬变电磁数据中剔除该复杂地形响应即可完成对实测瞬变电磁数据的地形校正；在复杂地形区域的实测瞬变电磁数据中剔除了复杂地形响应，减少了地形效应引起的误差，进而提升了瞬变电磁数据的可信度。

新疆大学发明专利推荐目录

序号	申请号	专利名称	IPC分类号	DPI星级	授权公告日	摘要
181	CN202210702751.2	一种基于多语言平行语料库的医学术语提取方法及系统	G06F	3.5星	2025.02.25	本发明涉及一种基于多语言平行语料库的医学术语提取方法及系统，包括：对医学知识数据中的所有句子进行语义相似度计算，得到平行语料；对每一平行语料的空缺语言进行翻译后将所有类型语言的句子构建为多语言平行语料库；对各平行语料中的句子进行分词，提取医学术语并结合对应的术语类型对所有句子进行编码标注，得到每一句子的编码序列并结合对应的句子训练神经网络模型，根据训练后的神经网络识别待识别的医学文本，得到待识别的医学文本的编码序列；根据待识别的医学文本的编码序列确定所述待识别的医学文本中的医学术语和对应术语类型。通过多语言平行语料库和对应语言的医生术语训练神经网络模型，从而准确的提取更多语言类型的医学术语。
182	CN202210509984.0	一种基于自适应特征融合的显著性目标检测方法	G06V	3.5星	2025.10.17	本发明公开了一种基于自适应特征融合的显著性目标检测方法。首先，在残差骨干网络的每个侧输出上添加一个通道-空间注意力模块(CSA)，解决了特征提取网络难以聚焦于显著目标区域的问题；其次，使用自适应特征模块(AFFM)构造了一种新的特征融合策略，将残差学习策略以及多尺度统一融合策略进行了衔接，解决了多尺度特征融合后难以清晰地预测显著目标边界的问题；然后采用一种新的融合损失，结合二进制交叉熵(BCE)、交并损失(IOU)、结构相似度(SSIM)和骰子损失(Dice)，能够更精准地检测和分割显著目标；最后采用一种端到端的深度学习方式进行模型的训练，降低训练时间，提高训练效果。通过在数据集上的实验，验证了本方法的有效性，提高了解决显著目标检测任务的能力，并获得了优秀的实验结果。
183	CN202210280302.3	一种香紫苏内酯和两性霉素B联合抗新型隐球菌的方法	A61K	3.5星	2025.03.14	本发明为一种香紫苏内酯和两性霉素B联合抗新型隐球菌的方法，公开了一种与两性霉素B联用的芳香植物提取物，所述芳香植物提取物以香紫苏内酯为活性成分，为香紫苏内酯开辟了一种新用途，作为抗真菌药物的增效剂，可降低抗真菌药物的用药剂量，从而减轻了药物的毒副作用，特别是两性霉素B，能够有效减少两性霉素B的最小抑菌浓度（MIC）；显著提高两性霉素B的抗真菌效果，从而减少治疗过程中两性霉素B的用量，进而减少其毒副作用。
184	CN202210242521.2	一种现实场景镜面高光图像增强方法、装置及存储介质	G06T	3.5星	2025.05.06	本发明公开了一种现实场景镜面高光图像增强方法、装置及存储介质，方法包括：通过颜色衰减先验获取图像的深度信息，基于深度信息获取初始的未经细化的传输率；构建第一、第二自适应传输速率约束初始传输率，将优化后的传输率作为L0梯度最小滤波器的输入；使用L0梯度最小化滤波器优化传输率，获取消除高光成分后的图像，并对其进行光照补偿；结合反三角函数和伽马校正构造新的光照补偿函数在YUV空间进行光照补偿，增强图像的细节信息，扩展图像的动态范围，增加图像的饱和度。装置包括：处理器和存储器。本发明有效的解决了图像中被高光遮挡的区域纹理信息丢失的问题，同时扩展了图像的动态范围，增加了图像的饱和度。

新疆大学发明专利推荐目录

序号	申请号	专利名称	IPC分类号	DPI星级	授权公告日	摘要
185	CN202210156141.7	新能源并网控制电路及基于虚拟同步机的SST控制方法	H02J	3.5星	2025.02.11	本发明公开了一种新能源并网控制电路及基于虚拟同步机的SST控制方法，本发明针对由输入级、隔离级和输出级组成三级SST中接入新能源电网，在输出级设置基于VSG的新能源并网控制电路，并且基于该电路，通过SST控制方法进行不平衡电压下的电流平衡、有功功率及无功功率恒定控制，通过不平衡电压下基于虚拟同步机的SST控制方法推算实现电网稳定的控制策略，据此提高电网的供电质量，改善了SST输出级输出并网电流、电压及功率质量。
186	CN202111397875.6	基于大气散射模型的低照度图像和视频增强方法、装置	G06T	3.5星	2025.04.08	本发明公开了一种基于大气散射模型的低照度图像和视频增强方法、装置，方法包括：基于细化方程对V分量进行细化，获取透射率对V分量求取局部最大值，得到局部最大值图并细化，获取透射率基于透射率和叠加系数获取最终的透射率，按照亮度的大小选取预设比例像素，获取预设比例像素对应的位置，根据这些位置从低照度图像中选取预设比例像素的V分量值，计算V分量值的平均值作为全局大气光；将最终的透射率与全局大气光代入低照度大气散射模型中，得到初步增强的V分量，并进行细化得到最终增强的V分量；将图像从HSV’色彩空间转换至RGB空间得到增强图像，并合成增强视频。装置包括：处理器和存储器。本发明得到的图像和视频可以有效地突出图像中的关键信息。
187	CN202111337184.7	一种石墨炔纳米管及其制备方法	C01B	3.5星	2024.03.19	本发明为一种石墨炔纳米管及其制备方法。一种石墨炔纳米管的制备方法，为：在铜催化作用下，以纤维为基底，六炔基苯在溶剂中进行偶联反应后，生长出石墨炔，再去除所述的基底，得所述的石墨炔纳米管。本发明所述的一种石墨炔纳米管及其制备方法，该方法工艺简单，制备的纳米管管径可控，纳米管之间形成的石墨炔膜尺寸可控。
188	CN202110601048.8	动态路由转发策略的优化方法、装置及相关设备	H04L	3.5星	2022.06.17	本发明公开了一种动态路由转发策略的优化方法，应用于通信技术领域，减少冗余流量，提高网络稳定性。本发明提供的方法包括：动态更新本地转发策略缓存；发送兴趣请求包到命名数据网络节点并确定兴趣请求包是否在本地有缓存；当有缓存时，查询本地转发策略缓存，若允许转发，则回传兴趣请求包对应的内容数据缓存，若禁止转发，则丢弃兴趣请求包；当没有缓存时，查询本地转发策略缓存，若允许转发，则查询转发请求记录表；当存在已请求记录时，则记录请求并回传内容数据缓存；当不存在已请求记录，查询本地转发策略缓存，若禁止转发，则丢弃兴趣请求包，否则返回发送兴趣请求包到命名数据网络节点，并确定兴趣请求包是否有缓存的步骤继续执行。

新疆大学发明专利推荐目录

序号	申请号	专利名称	IPC分类号	DPI星级	授权公告日	摘要
189	CN202110576032.6	一种α，β-二氯苯亚砜类化合物的合成方法	C07C	3.5星	2022.09.13	本发明公开了一种电化学条件下经由取代的苯乙烯、氯源和二苯基二硫醚(苯硫酚)类化合物制备α，β-二氯苯亚砜类化合物的方法。在电化学反应条件下，以苯乙烯衍生物，氯源和二苯基二硫醚(苯硫酚)类化合物为原料，四甲基四氟硼酸铵(Me4NBF4)为电解质，乙腈和水为溶剂，一步实现苯乙烯的三官能团化制备α，β-二氯苯亚砜类化合物。这是首次在电化学条件下一步实现烯烃的三官能团化反应，构造具有生物活性的复杂分子。本发明绿色、环保、安全、节能、底物适用范围广、产物官能团兼容性好、原料易得、操作简便。
190	CN202110496289.0	长航时复合翼AI自动检测电力巡航无人机及方法	B64C	3.5星	2022.11.15	一种长航时复合翼AI自动检测电力巡航无人机及方法，通过采用后掠翼、扰流翼和倾转旋翼组合的复合翼与机身连接，后掠翼与机身两侧连接，扰流翼靠近机身两侧与后掠翼连接，倾转旋翼位于机头两侧与后掠翼连接，固定旋翼位于机身后部，摄像设备位于机身下部，图传天线位于后掠翼上部，飞控板位于机身下部，通过遥控系统操控无人机巡航，飞控系统控制无人机飞行姿态自动巡检高压电力线路。本发明克服了原电力线路巡航无人机需要人工抵达目标点附近操控，不能自主巡检，滞空时间短，巡检效率低的问题，具有结构简单，无需抵达目标区附近放飞无人机，滞空时间长，飞行稳定性好，智能化巡检效率高，精准巡检，操作简单方便的特点。
191	CN202110430983.2	一种新的SCMA系统码本优化及码字分配方法	H04L	3.5星	2023.02.21	本发明提供了一种新的SCMA系统码本优化及码字分配方法，所述方法包括：步骤一：在四维格调制下用双重阈值法选取有用点，获得SCMA的母星座；步骤二：根据步骤一获得SCMA的，用局部维度变换的方法对进行优化得到一个最佳的母星座；步骤三：根据步骤二所获得，将的码字分配给时频资源块k，从而获得码字矩阵；步骤四：设计基于资源块k的映射矩阵和操作因子；步骤五：将步骤三获得的码字矩阵中的第k行码字和步骤四中的操作因子、映射矩阵相乘得到基于资源块k的码本;步骤六：根据步骤五进一步得到所有资源块的码本矩阵，从而分离出用户j的码本。本发明方法实现了不同码本尺寸下BER性能都能有显著的提升。
192	CN202110401585.8	一种二芳基砜类化合物的合成方法	C07C	3.5星	2023.03.21	本发明公开了一种通过含铁Lewis酸性离子液体催化芳基三氮烯、DABCO(SO2)2以及β-萘酚的三组分一锅法合成二芳基砜化合物的绿色合成方法。在90℃条件下，以含铁Lewis酸性离子液体作为催化剂，以芳基三氮烯作为芳基源，以DABCO(SO2)2作为SO2源，实现β-萘酚C1位的砜基化反应。本发明的优点包括：反应绿色、操作简单、无需外加添加剂；原料便宜易得、来源广泛、制备简单、结构稳定；所用的催化剂为廉价易得的含铁离子液体，制备简单、价格便宜、结构稳定、污染小、绿色环保等优点。

新疆大学发明专利推荐目录

序号	申请号	专利名称	IPC分类号	DPI星级	授权公告日	摘要
193	CN202110395959.X	一种O-膦氧基取代的苯酚及醇衍生物的合成方法	C25B	3.5星	2022.10.04	本发明公开了一种电氧化“一锅法”条件下经由脱氢制备O-膦氧基取代的苯酚及醇衍生物的方法。在电化学氧化条件下，以苯酚及醇衍生物和二苯基膦化合物为原料，四丁基碘化铵(TBAI)为电解质，碳酸铯为碱一步制备O-膦氧基取代的苯酚及醇衍生物。与已报道的O-膦氧基取代的苯酚及醇化合物的制备方法相比较，本发明绿色环保、原料易得、无需金属催化剂、无需化学氧化剂、反应条件温和、适用范围广、操作简单、原子经济性高,反应后仅生成氢气作为副产物。
194	CN202110272277.X	一种多光谱遥感图像的增强方法、装置及存储介质	G06T	3.5星	2022.07.01	本发明公开了一种多光谱遥感图像的增强方法、装置及存储介质，方法包括：采用加权PCA变换对多光谱图像进行降维，利用平均梯度和纹理粗糙度对各个波段的原始多光谱图像进行加权补偿，提取出各个互不相关的主成分分量；利用对数函数对模板系数进行修改，形成保持相邻像素相关性的分数阶掩模，将改进的模板系数引入到图像加权PCA变换后的第一主成分分量中，用于增强图像的纹理和边缘细节；对第一主成分分量进行分数阶微分增强后，对前预设值的主成分分量进行加权PCA反变换，并将加权PCA反变换后的多光谱图像采用亮度调整函数进行调整。装置包括：补偿与提取模块，修改与增强模块，调整模块。本发明有效的增强了图像的清晰度和对比度。
195	CN202110155228.8	一种定量恢复碳酸盐岩台地古风向的方法	G01N	3.5星	2024.03.26	本发明公开了一种定量恢复碳酸盐岩台地古风向的方法，包括以下步骤：步骤1：明确古风向待恢复区域和层位；步骤2：采集样品，采集应用于磁化率各向异性实验的含磁性矿物的样品，为磁化率各向异性数据提供实验基础，为定量恢复古风向提供有效依据；步骤3：数据处理，进行具体的磁化率各向异性实验，获取实验结果，为定量恢复古风向提供直接数据；步骤4：定量恢复古风向，通过解释原理及待恢复区的磁化率各向异性实验结果，确定待恢复区的理论模型；且通过磁化率各向异性实验结果与待恢复区理论模型相结合确定介质流动方向，并与板块旋转方位相结合，定量恢复待恢复区的古风向；解决了现有技术中无法准确的恢复碳酸盐岩台地古风向的问题。
196	CN202110053885.1	一种提高铁基非晶合金室温塑性的表面改性方法	C22C	3.5星	2025.10.10	本发明公开了一种提高铁基非晶合金室温塑性的表面改性方法，属于材料表面改性领域。具体涉及一种针对铁基非晶合金强度高但室温塑性低的特点，通过对铁基非晶表面进行喷丸处理，来改善和提高铁基非晶的室温塑性的方法。基本过程：第一步，应用fluxing提纯技术和J-quenching技术制备获得实验所需的铁基非晶合金；第二步，采用自动控制（数控）喷丸设备对非晶表面进行喷丸处理，即得到表面改性的铁基非晶合金。本发明优点：一、设备简单，操作方便，成本低，经济高效，无三废排放，具备大规模推广应用的潜力；二、室温压缩塑性变形能力显著提高，可提高2~8倍以上。本发明主要用于制备兼具高强度和良好室温塑性的铁基非晶合金。

新疆大学发明专利推荐目录

序号	申请号	专利名称	IPC分类号	DPI星级	授权公告日	摘要
197	CN202110025753.8	一种基于煤基石墨烯量子点薄膜电阻式随机存储特性的非易失性存储器件及其制备方法	H10N	3.5星	2024.11.26	本发明公开了一种基于煤基石墨烯量子点薄膜电阻式随机存储特性的非易失性存储器件及其制备方法，由导电衬底、电阻存储薄膜层和导电顶电极组成，电阻存储薄膜层为煤基石墨烯量子点薄膜；本发明一种基于煤基石墨烯量子点薄膜电阻式随机存储特性的非易失性存储器件及其制备方法，该石墨烯量子点薄膜的电阻式随机存储器件具有优异的高低电阻态转变窗口和大的开/关比，带来优异的循环稳定性和保持特性，同时具有稳定的高低阻态循环特性和保持特性，有利于存储数据时稳定性和保持性的选择，有利于设计外围电路时识别器件所存储的状态，且该电阻式随机存储器件制备方法简单，成本低廉，存储性能优异。
198	CN202011321810.9	一种基于激光SLAM与单目视觉SLAM融合的里程计方法	G06T	3.5星	2023.05.19	本发明提出了一种基于激光SLAM与单目视觉SLAM融合的里程计方法。首先本发明采用激光雷达和单目相机同时采集数据，再对单目相机采集的图像进行特征点提取与匹配，之后再将激光雷达的点云投影在单目相机采集的图像上，从而计算之前提取出的特征点深度。在估计先验位姿时，对前一帧中的特征点深度信息进行判断，通过不同的三种情况分别进行位姿的估计，从而得到更精确的先验位姿，最后通过BundleAdjustment得到最终优化后的位姿。极大的改善了单目SLAM中当机器人沿光轴方向运动时导致的位姿估计不准确以及激光SLAM在几何特征相似的环境中失效的问题。
199	CN202011241565.0	基于区间参数PID控制器的双馈风力发电系统电流控制方法	G06F	3.5星	2022.08.23	一种基于区间参数PID控制器的双馈风力发电系统电流控制方法，包括建立三相静止、两相旋转坐标系下的双馈风力发电机和变换器的模糊区间数数学模型研究双馈电机在电网高电压故障时的电磁过程，并通过理论分析，推导出各种不同电网电压故障时的双馈电机定子磁链及转子感应电压的值，根据双馈风力发电系统的多参数不确定性特点，把模糊区间数引入双馈风力发电系统模型中，建立三相静止、两相旋转坐标系下的双馈风力发电机和变换器的模糊区间数数学模型；为双馈风力发电系统高电压穿越控制及保护策略的研究提供理论依据。
200	CN202011179731.9	一种含固相物的高浓度低沸点可燃有机废液的处理装置和工艺	F23G	3.5星	2025.01.24	一种含固相物和水的高浓度低沸点有机废液的处理装置，包括储液罐、蠕动泵、蒸发罐、加热元件Ⅰ、有机蒸汽输送管、燃烧反应器、预混管、燃烧喷嘴、点火器、火焰观测器、加热元件Ⅲ、换热器、活性炭吸附组件、排风机、冷凝水出口管等组成。配制好的有机溶液送入蒸发罐，经加热后成为有机蒸汽，经过滤后与热空气预混后一同送入燃烧反应器内的燃烧喷嘴，点火燃烧后，产生的烟气与送入反应器的空气混合，加热至1000℃以上继续燃烧，之后烟气经换热器降温，冷凝水排出，降温后的烟气采用活性炭吸附。本装置可有效处理含有固相物和水的高浓度低沸点有机废液，保证燃烧过程稳定，燃烧完全，安全可靠。

新疆大学发明专利推荐目录

序号	申请号	专利名称	IPC分类号	DPI星级	授权公告日	摘要
201	CN202011212900.4	单晶(Bi19S27I3)0.6667纳米棒及其制备方法和应用	C30B	3.5星	2022.08.09	本发明涉及卤硫化铋材料技术领域，是一种单晶(Bi19S27I3)0.6667纳米棒及其制备方法和应用，该单晶(Bi19S27I3)0.6667纳米棒，以五水合硝酸铋、碘化钾和硫代乙酰胺为原料制备了(Bi19S27I3)0.6667纳米棒。本发明采用一步水热法制备单晶(Bi19S27I3)0.6667纳米棒能够产生强还原性的光生电子，对高效的还原重金属离子非常有效；且具有杰出的光催化降解剧毒重金属Cr(VI)的效果，在可见光照射下，具有优异的光催化还原Cr(VI)的性能；另外，本发明制备方法易操作，原料廉价易得，适用于规模化生产；这对合成新型卤硫化铋材料及拓展其应用具有指导性的作用。
202	CN202011121846.2	一种刺山柑载药纳米纤维膜及其制备方法和应用	D04H	3.5星	2022.10.18	本发明涉及一种刺山柑载药纳米纤维膜及其制备方法和应用，属于载药纳米纤维制备领域。一种刺山柑载药纳米纤维膜，所述载药纳米纤维膜是由聚乳酸溶液和刺山柑乙酸乙酯提取物混合所得纺丝液进行静电纺丝所得。所述刺山柑乙酸乙酯提取物按下述方法制得：60℃下水浴锅下利用无水乙醇对刺山柑果实粉末进行回流提纯；过滤后收集上清液，将所得上清液用水稀释后使用等体积石油醚进行若干次萃取，萃取过程中加入氯化钠，溶液分三层，取最下层溶液继续加入等体积的乙酸乙酯进行萃取，待溶液分层后取下层溶液，浓缩，即得刺山柑乙酸乙酯提取物。本发明的纤维膜具有抗菌性，亲水性好，透湿性好。
203	CN202011101080.1	一种基于机器视觉的核桃分拣装置	B07C	3.5星	2024.04.12	本发明公开了一种基于机器视觉的核桃分拣装置。该装置主要通过CCD摄像头对传传输轨道上不同品种的核桃进行识别，并通过PLC控制步进电机，利用联轴器与拨轮转轴相连接，驱动拨轮转动工作，进而完成对不同品种核桃的识别分拣任务。该装置的分拣拨轮由每个独立的电机提供动力，整体结构简单灵活，可同时实现多个核桃品种的识别分拣作业。解决了目前人力分拣效率低、成本高的问题，对整个核桃收获、加工产业实现自动化具有重大意义。
204	CN202011100892.4	一种落果捡拾可调式筛分收获装置	A01D	3.5星	2023.04.18	本发明涉及农业机械领域，具体公开了一种落果捡拾可调式筛分收获装置，主要包括动力底盘、摆臂、捡拾箱体、输送带、料斗、筛分筒、料箱等；所述捡拾箱体安装在动力底盘前方；所述摆臂位于捡拾箱体前侧，通过提升液压缸和摆动液压缸进行上下左右的姿态调节；所述输送带位于捡拾箱体后方，输送带外壳一端与捡拾箱体相连，另一端与料斗相连；所述筛分筒内侧设有对称分布的伸缩滑动导轨，通过间距调节机构对内部筛分环的间距进行调节，螺旋导料板安装在内部的转轴上；所述料箱安装在动力底盘上且位于筛分筒正下方；本发明的装置功能完善，能够满足不同地形、不同大小尺寸的落果捡拾筛分收获需求，对于中小型规模种植户的落果收获作业具有重要意义。

新疆大学发明专利推荐目录

序号	申请号	专利名称	IPC分类号	DPI星级	授权公告日	摘要
205	CN202011002232.2	一种含石墨烯和铁颗粒的SnBi系无铅钎料的制备方法	B23K	3.5星	2024.09.24	本发明公开一种含石墨烯纳米片（GNS）和微米级Fe颗粒的SnBi系低温无铅钎料的制备方法，属于低温焊接材料技术领域。其中GNS的质量分数为0~0.1%，铁的质量分数为0~0.1%，其余成分为SnBi二元共晶合金。本发明还公开了该无铅钎料的制备方法。本发明的钎料合金为共晶组织，熔点低，微观组织均匀，且具有良好的润湿性。此外，钎料合金中不含Pb，是一种环保型钎料，适用于低温软钎焊领域。
206	CN202010955678.0	高海拔高寒金属矿开采风钻作业效率影响因素的评估方法	G06Q	3.5星	2022.05.20	本发明涉及作业效率评估方法技术领域，是一种高海拔高寒金属矿开采风钻作业效率影响因素的评估方法，其先采集人员因素、设备因素和环境因素3个方面共17个指标数据，对所采集指标数据进行标准化处理；再利用熵权法确定指标权重，生成加权规格化矩阵；采用主成分分析方法提取主成分，并求解评价样本各子系统的主成分综合得分，得出最终评价依据，并得出指标评价结果。本发明通过对高海拔矿井风钻作业的作业人员与作业机器、作业环境的协同关系，及其特有且相互制约的设计变量进行系统分析，提取影响人机功效的评价指标。其将熵权法引入主成分分析与评价中,构建了融合熵权法的PCA评价模型,为现有评价实践提供了一种新方法。
207	CN202010935664.2	一种适用于多种果蔬采摘的联动式末端执行器	A01D	3.5星	2025.05.16	本发明涉及一种适用于多种果蔬采摘的联动式末端执行器，本发明主要用于对具有果梗的果蔬的采摘。该末端执行器通过上方安装的双目摄像机对果蔬的采摘点进行精确定位，通过箱体侧面安装的直流电机为末端执行器提供动力；通过末端执行器内部的凸轮机构使夹持装置实现间歇的开合运动，通过变形齿轮齿条机构使剪切装置实现往返间歇运动；该末端执行器利用了锥齿轮减速箱、蜗轮蜗杆、凸轮机构以及齿轮齿条机构实现了夹持装置与剪切装置的规律性联动，实现了单个直流电机的单方向运动带动末端执行器进行先夹持，后剪切的规律性反复运动。
208	CN202010930601.8	替换式震动能量回收减震器和悬架模式自动控制方法	F16F	3.5星	2022.02.18	本发明涉及车辆能量回收技术领域，是一种替换式震动能量回收减震器和悬架模式自动控制方法，前者包括减震器壳体、活塞杆、环形磁铁、绝缘圆环、绝缘扇环、绕线线圈、充电电路、上缸环、扶正缸环、下缸环、滚动轴承、前限位耳、后限位耳和上压帽，减震器壳体包括外筒体、内筒体和扇形铁芯；后者包括步骤如下：（1）悬架模式包括低速模式、中速模式、高速模式、运动模式和自动模式。本发明结构合理而紧凑，使用方便，通过活塞杆在内筒体内往复运动，从而使绕线线圈切割环形磁铁产生的磁力线，使得绕线线圈产生感应电流；通过充电电路整流、升压后将电能储存在车辆动力电池组内，具有高效、稳定可靠和维修成本低的特点。

新疆大学发明专利推荐目录

序号	申请号	专利名称	IPC分类号	DPI星级	授权公告日	摘要
209	CN202010820587.6	一种视频图像去雪方法、装置及存储介质	G06T	3.5星	2022.05.24	本发明公开了一种视频图像去雪方法、装置及存储介质，包括：对依次通过光流场估计算法、支持向量机处理后的稀疏雪花，采用第一自适应阈值判断进行检测获取最终的稀疏雪花检测图；基于块的混合高斯模型对输入视频进行背景建模，去除稠密雪花，获取低秩背景；使用马尔可夫随机场检测输入视频中的运动前景获取二值图，采用第二自适应阈值去除二值图中面积的稠密雪花，将处理后的二值图贴回低秩背景中生成新的输入视频；将最终的稀疏雪花检测图、与新的输入视频对应帧图片进行相似匹配，去除稀疏雪花。本发明通过处理后的下雪视频，恢复了视频中被雪花遮挡的像素信息，较原图像能保留更多的细节特征，本发明有效的解决了视频中被雪花遮挡的区域像素信息丢失的问题。
210	CN202010776987.1	一种多孔硅拼装式微腔生物传感器的应用方法	G01N	3.5星	2023.07.04	本发明公开了一种多孔硅拼装式微腔生物传感器的应用方法是由上下布拉格与微腔构成的一种常用的多孔硅生物传感器，在生物检测过程中，即使尺寸非常小的生物分子也只能进入到多孔硅表层1μm的深度，很难达到微腔层，导致实际多孔硅微腔的生物检测灵敏度低于理论值设计值。为解决这一问题，本发明公开了一种多孔硅拼装式微腔生物传感器的应用方法，其上部分布拉格反射镜和下半部分是分离的，上部分布拉格由基于石英玻璃基底的布拉格器件代替，微腔及下部分布拉格由多孔硅制备，于是生物分子可直接进入到微腔层。由于生物分子可以容易的进入到孔洞较大的微腔层，能引起较大的反射谱红移或角度谱移动，因而提高了多孔硅的灵敏度。
211	CN202010576145.1	一种基于SCMA的认知MIMO系统能效优化方法	H04W	3.5星	2022.08.02	本发明公开了一种基于SCMA的认知MIMO系统能效优化方法，包括：在认知MIMO网络中建立系统模型；问题构建及优化：将多个次用户系统的能耗求解的非凸问题转化为时间分配优化的凸问题；目标函数求解：采用两种方法对时隙进行分配优化，分别为：基于TDMA的正交时隙分配优化；基于SCMA的非正交时隙分配优化。本发明采用两种方法对时隙进行分配优化：正交时隙分配优化、基于SCMA的非正交时隙分配优化，通过求解每个次用户的最大传输速率，可以得到每个次用户需传输数据的最小时间需要；在满足次用户最小时隙要求下，通过对TDMA的正交时隙分配优化，就可以求得多个次用户的次系统总的能量消耗。
212	CN202010566269.1	一种钛返回料的回收方法	C22B	3.5星	2023.01.24	本发明公开了一种钛返回料的回收方法，采用密度差、磁选分离、表面颜色差异等手段分拣出合金刀头、铁、铜等异金属夹杂；对返回料进行取样、分析、分类；用碱液清洗返回料表面油污；采用氯化法去除返回料表面氧化层；将经过净化的钛返回料配入还原—蒸馏罐，利用镁热反应生成的金属钛包覆钛返回料，利用还蒸罐下部的中频感应熔炼装置将海绵状合金钛坨熔化、精炼、铸造，制备成优质的钛锭或者钛合金锭。采用本方法回收钛返回料不造成钛金属损失，不消耗HF和HNO3，不造成环境污染，也不存在钛料吸氢问题。在还蒸装置中完成钛料回收，产品是钛或钛合金锭，克服了传统工艺存在的工序之间相互独立、余热资源无法利用、生产流程长、能耗高、成本高的不足。

新疆大学发明专利推荐目录

序号	申请号	专利名称	IPC分类号	DPI星级	授权公告日	摘要
213	CN202010522691.7	一种红外点状目标跟踪方法	G06T	3.5星	2022.07.05	本发明涉及一种红外点状目标跟踪方法，包括：在捕获到目标的当前帧图像中确定目标模型，在当前帧的下一帧图像中获取检测样本集并通过计算得到各检测样本的相关程度值，选取最大的相关程度值作为最优检测相关程度值；对最优检测相关程度值进行判断以确定是否进入重检测；若否，则更新信息实现跟踪；若是，则在当前帧图像中确定目标样本集；通过计算得到各目标样本对应的相关程度值，选取最大的所述相关程度值作为最优目标相关程度值；进行信息更新，实现目标跟踪。本发明提高了跟踪的实时性和准确性。
214	CN202010462184.9	一种可逆开关型泡沫体系及其制备方法	B01F	3.5星	2021.11.09	本发明提供了一种可逆开关型泡沫体系及其制备方法，可逆开关型泡沫体系，包括以下重量百分比组分：氧化胺类表面活性剂0.1～0.2％、氨基酸类表面活性剂0.1～0.2％，余量为水。本发明还提供了上述可逆开关型泡沫体系的制备方法。本发明通过利用氧化胺类表面活性剂和氨基酸类表面活性剂复配，并基于静电作用，构筑了具有良好二氧化碳刺激灵敏性和较强溶液聚集能力的开关型泡沫体系，有效解决了现有技术中响应速度慢和开关可逆性不强等问题。
215	CN202010379930.8	FRP-钢丝网骨架塑料复合管约束煤矸石混凝土墩柱及其施工方法	E21D	3.5星	2023.09.26	本发明公开了FRP-钢丝网骨架塑料复合管约束煤矸石混凝土墩柱，其特征在于：钢丝网骨架塑料复合管和放置在其内部的FRP管组成外部约束材料，煤矸石混凝土作为内部充填材料。将井下通过鄂式破碎机分级破碎、分选之后的煤矸石直接填充到FRP-钢丝网骨架塑料复合管中，将矿井水和以粉煤灰、高炉灰渣、废弃石膏和生石灰为主要原料的胶凝材料搅拌均匀后注入FRP-钢丝网骨架塑料复合管中，形成FRP-钢丝网骨架塑料复合管约束煤矸石混凝土墩柱。所述的煤矸石混凝土具有经济环保、可就地制备的优点。所述的FRP-钢丝网骨架塑料复合管充分发挥了FRP材料轻质高强和钢丝网骨架塑料复合管大变形的优点。本发明还公开了FRP-钢丝网骨架塑料复合管约束煤矸石混凝土墩柱施工方法。
216	CN202010236904.X	改进融合层与损失函数交替更新的图文匹配方法	G06K	3.5星	2022.09.27	本发明提供一种改进融合层与损失函数交替更新的图文匹配方法，所述方法包括：建立融合层，通过所述融合层提取图像特征和文本特征数据之间的融合特征；基于融合特征分别与图像特征和文本特征的相似性对图像特征和文本特征进行嵌入编码；基于由原始特征组成的原始损失函数以及由融合特征组成的融合损失函数交替更新策略优化原始损失和融合损失。本方法同时考虑鲁棒性特征提取和模型优化，引入融合层获取鲁棒性特征并且基于交替更新融合前和融合后损失函数去优化网络参数，实验证明，本方法相比于传统方法具有一定的优越性。

新疆大学发明专利推荐目录

序号	申请号	专利名称	IPC分类号	DPI星级	授权公告日	摘要
217	CN201911146426.7	一种交流励磁同步调相机及其控制方法	H02P	3.5星	2020.09.29	本发明实施例公开了一种交流励磁同步调相机，包括连接在交流励磁电机的转子上的变惯量连接机构、全控交流励磁变换器、网侧变换器、控制器以及基座，基座上设置有安装交流励磁电机的上半端盖，转子的两端通过变惯量连接机构安装在基座上，转子的轴身上安装有风扇，变惯量连接机构包括带有进油口和出油口的外轴套，外轴套内部设置有涡扇和滚子轴承，位于转子两端的外轴套通过螺旋绕制在交流励磁电机的定子表面的散热管连接成闭合循环回路，散热管上连接有补压泵和油泵，补压泵和油泵电性连控制器，有效解决了交流励磁电机在启动过程中的温升和发散热平衡偏移以及的通过全控交流励磁变换器进行交流励磁电机的励磁控制中则会出现偏差的问题。
218	CN201910872449.X	基于非强制空闲时间的作业车间调度方案鲁棒优化方法	G06Q	3.5星	2023.06.27	本发明涉及一种作业车间调度技术领域，是一种基于非强制空闲时间的作业车间调度方案鲁棒优化方法，包括以下步骤：根据调度基础数据生成初始种群；构建初始调度方案集合，并将初始调度方案集合以工序关联网络图的方式输出；在初始调度方案集合中插入非强制空闲时间，得到插入非强制空闲时间的调度方案集合；评估插入非强制空闲时间的调度方案集合中各调度方案的的鲁棒性，输出最优调度方案。本发明采用遗传算法优化加权目标，针对不同影响力的工序添加合理非强制缓冲时间，并对插入非强制空闲时间的调度方案集合进行鲁棒性评估，输出最优调度方案，有效改善了调度稳定性的同时又能保证调度性能劣化程度较小，为车间生产提供更加稳定的调度方案。
219	CN201910711999.3	一种测试矿区粉尘加速冰川消融的实验方法	G01N	3.5星	2021.12.31	本发明涉及一种测试矿区粉尘加速冰川消融的实验方法，首先用特制的支架和框架将九块大小相同冰块固定在同一平面内，模拟冰川表面的冰体；将框架正中间的冰块指定为目标冰块，在目标冰块表面均匀覆盖由矿区收集的粉尘，模拟矿区粉尘扩散对冰川的影响；打开位于框架正前方的发热模块，模拟太阳光照；利用留设的排水孔将目标冰块的融水引入接水筒内，记录一段时间后接水筒内目标冰块融水的体积和质量，来反映矿区粉尘覆盖下冰川消融速度的变化规律。该测试矿区粉尘加速冰川消融的实验方法，可以模拟一年中不同季节、一天中不同时段、同一时段内不同类型矿区粉尘覆盖下冰川消融速度的变化规律，大大节省了实地测量的成本和时间。
220	CN201910282629.2	去除遥感图像中薄云的方法及装置	G06T	3.5星	2023.05.23	本发明实施例提供一种去除遥感图像中薄云的方法及装置，所述方法包括：将待处理的遥感图像分解成高频子带和低频子带，所述高频子带用于指示所述遥感图像中的地表物体，所述低频子带用于指示所述遥感图像中的薄云；削弱所述低频子带中的系数；根据削弱后的低频子带中的系数和所述高频子带中的系数，重构所述遥感图像；从重构后的遥感图像中获取反射图像，并将所述反射图像作为去除薄云后的遥感图像。能够避免亮度信息对去除薄云后的遥感图像的干扰，提高去除薄云后的遥感图像的质量，进而提高去除薄云后的遥感图像的可读性，便于人们对去除薄云后的遥感图像中的地表物体信息进行判读。

新疆大学发明专利推荐目录

序号	申请号	专利名称	IPC分类号	DPI星级	授权公告日	摘要
221	CN201811600260.7	图像处理方法及装置	G06T	3.5星	2022.04.01	本发明公开了一种图像处理方法及装置，涉及医学图像领域，能够解决的现有技术中无法有效地增强医学影像的对比度和分辨率的问题。本发明的图像处理方法包括：获取第一图像和第二图像，所述第一图像和所述第二图像相同；对所述第一图像进行直方图均衡处理；将处理后的第一图像进行二维离散小波变换，获得第一高频子图和第一低频子图；将所述第二图像进行二维离散小波变换，获得第二高频子图和第二低频子图；对所述第二高频子图进行钝化模糊处理；基于小波变换对所述第一高频子图、所述第一低频子图、处理后的第二高频子图和所述第二低频子图进行图像融合。本发明可广泛应用于处理医学影像的场景中。
222	CN201811521510.8	基于传播动力学的扰动环境下生产网络连锁效应研究方法	G06F	3.5星	2023.05.05	本发明涉及生产车间连锁效应分析技术领域，是一种基于传播动力学的扰动环境下生产网络连锁效应研究方法，以生产系统中的制造节点为节点，生产活动之间的工艺关系为连边，根据建立的生产网络确定传播模型中的参数，任务流入流出的耦合参数，采用5W2H解析法结合工艺路线性理论，根据延误时间和经济损失对扰动强度进行评估判定，将扰动影响程度分为轻微扰动、中度扰动、重度扰动和严重扰动四种，选择网络中不同的节点作为传播源节点进行激活，对生产网络拓扑结构与扰动传播动力学特性之间的相互关系进行深入研究，以揭示扰动环境下作业车间独特的连锁传播规律。本发明为生产车间的平稳运行控制提供有效借鉴和依据。
223	CN201811038991.7	MZnPO4(M=Li, K)非线性光学晶体的制备方法和用途	C30B	3.5星	2021.03.30	本发明提供两种非线性光学晶体的制备方法和用途，本发明所述的两种磷酸盐非线性光学晶体，该晶体的分子式可写为MZnPO4(M=Li,K)，其中，LiZnPO4属于单斜晶系，空间群为Cc，单胞参数为a=17.2566(5)Å，b=9.7418(3)Å，c=17.0926(5)Å,β=110.98°，体积为2682.90Å3；KZnPO4属于六方，空间群为P63，单胞参数为a=18.1059(5)Å，b=18.1059(5)Å，c=8.4542(4)Å,γ=120°，体积为2400.18Å3。所述的两种磷酸盐非线性光学晶体的制备方法，晶体的倍频效应约为KH2PO4(KDP)的2.3倍和0.4倍，紫外吸收边短于230nm，采用高温熔液法和水热法生长晶体，该两种晶体的化学稳定性好，可作为紫外非线性光学晶体在全固态激光器中获得应用。
224	CN201810451828.7	一种联机手写维吾尔文单词数据增强方法	G06V	3.5星	2022.01.04	本发明公开了一种联机手写维吾尔文单词数据增强方法，分析手写维吾尔文单词的书写特性，提出了手写轨迹随机变长的联机手写数据增强算法。然后，结合多种适合联机手写单词的数据增强算法，实现联机手写维吾尔文单词数据增强。结合多种算法的数据增强方法效果明显，可以用少量的原始样本来构造更多不同手写风格的有效伪造样本，同时保证其可读性。此数据增强方法具有较强的通用性，可以为其它文字手写数据增强研究作为直接参考。

新疆大学发明专利推荐目录

序号	申请号	专利名称	IPC分类号	DPI星级	授权公告日	摘要
225	CN201810307406.2	新鲜收集和自动降解处理的凋落物采集器及其操作方法	G01N	3.5星	2024.02.06	本发明公开了一种新鲜收集和自动降解处理的凋落物采集器及其操作方法，包括上层新鲜凋落物收集装置和下层凋落物自动降解处理装置，上、下两层装置均由防锈铁皮订制而成，主体呈圆筒型；上层新鲜凋落物收集装置和下层凋落物自动降解处理装置通过嵌套固定连接在一起，中部装入分层式凋落物网袋，组成完整的凋落物采集器。本发明充分利用凋落物和尘土的重量作用，结合分层式凋落物网袋，在野外长期放置时形成了自动分层收集凋落物并进行降解处理的作用；可满足野外大范围长时间定点收集工作，将上层收集装置和下层自动降解处理装置分开使用，以满足不同的实验要求；本发明具有结实耐用，操作方便，实用性广，收集灵活可靠等优点，适合推广应用。
226	CN201810049966.2	基于软模板法的煤基层次化纳米炭材料及其制备方法	C01B	3.5星	2021.08.13	本发明涉及煤基炭材料技术领域，是一种基于软模板法的煤基层次化纳米炭材料及其制备方法，该基于软模板法的煤基层次化纳米炭材料，按照下述步骤得到：将煤粉与强氧化剂溶液反应，得到氧化煤后，与嵌段聚合物F127溶解于乙醇溶液中得第一混合溶液，再将氢氧化钾固体加入其中，得第二混合溶液后，干燥，得粉末产物，将其炭化处理、洗涤，干燥，得到基于软模板法的煤基层次化纳米炭材料。本发明制备方法简单，利用化学炭化和软模板法的优点，解决了炭化处理对多孔炭材料孔径尺寸不可控的影响。本发明采用嵌段共聚物F127作为软模板，以氧化煤纳米粒子作为炭源，制备具有高比表面积、分级多孔结构、高容量的的煤基层次化纳米炭材料。
227	CN201810049967.7	高体积比容量煤基超级电容器电极材料及其制备方法	C01B	3.5星	2021.06.22	本发明涉及超级电容器电极材料技术领域，是一种高体积比容量煤基超级电容器电极材料及其制备方法，该高体积比容量煤基超级电容器电极材料，按照下述步骤得到：将煤炭粉碎得到煤粉，将煤粉与氧化剂进氧化处理，得到氧化煤；将氧化煤与氢氧化钾混合，得到混合物；将得到的混合物压实，对压实混合物进行炭化处理，得到炭化样品；炭化样品经洗涤、烘干，得到该电容器电极材料。本发明使用来源广泛的煤炭作为原料，通过简单、通用的压实活化法，制备了具有高表观密度、高比表面积和高体积比容量的多孔炭材料，本发明具有优异的快速充放电性能，解决了超级电容器电极材料体积比容量不高的问题， 为煤的清洁、高效利用提供了思路。
228	CN201810050391.6	高比表面积煤基氮掺杂活性炭球电极材料及其制备方法	H01G	3.5星	2020.08.04	本发明涉及超级电容器的电极材料技术领域，是一种高比表面积煤基氮掺杂活性炭球电极材料及其制备方法，该高比表面积煤基氮掺杂活性炭球电极材料按照下述步骤得到：将煤粉与强氧化剂溶液反应，得到的氧化煤与葡糖胺后，进行水热反应，洗涤、干燥得到的粉末产物与氢氧化钾混合，进行炭化处理，得到的混合产物，洗涤、干燥，得高比表面积煤基氮掺杂活性炭球电极材料。本发明采用葡糖胺作为氮源、氧化煤作为炭源，有效提高了煤基氮掺杂炭球的产率，制备了高比表面积煤基氮掺杂活性炭球电极材料，其具有微纳形貌，孔结构分布均匀，用于超级电容器电极材料时，具有优异的比容量和大电流充放电性能。

新疆大学发明专利推荐目录

序号	申请号	专利名称	IPC分类号	DPI星级	授权公告日	摘要
229	CN201710313523.5	基于煤热力学参数的溶胀剂筛选方法	G01N	3.5星	2019.06.04	本发明涉及溶胀剂技术领域，是一种基于煤热力学参数的溶胀剂筛选方法；根据待选溶胀剂的三维溶解度参数计算出待选溶胀剂的三个分数参数，然后将待选溶胀剂的三个分数参数绘制在包含有原煤三维溶度窗的溶胀剂三元图中；若待选溶胀剂的三个分数参数位于溶胀剂三元图中的原煤三维溶度窗中，则该待选溶胀剂为良溶剂。本发明通过建立的原煤三维溶度窗能够快速准确的确定单一溶剂或二元混合溶剂对煤是否具有溶胀效果，特别二元混合溶剂对煤有溶胀效果的最佳配比，本发明较传统方法大大缩短了筛选周期，降低了工作量，同时节省了实验材料的消耗，具有筛选溶剂宽、实用性和通用性强的特点，提高了工作效率，降低了操作成本，对生产实践具有指导作用。
230	CN201710297360.6	基于测井资料的水动力封闭型煤层气高产层位确定方法	E21B	3.5星	2020.11.13	本发明公开一种基于测井资料的水动力封闭型煤层气高产层位确定方法通过分析煤层气藏高产地质学因素，从圈闭压力保持程度、气体逸散程度、开发难易程度等方面考虑，利用“岩心刻度法”建立宏观煤岩形态特征、孔隙度及含气量解释模型对开发井钻遇潜在有利层位进行相关参数计算，并结合双侧向测井正/负异常特征指示孔隙内充填介质类型，进而厘定水动力封闭型煤层气高产层位的参数标准，能够准确预测水动力封闭型煤层气高产层位，在煤层气勘探开发的技术领域具有广泛的实用性。
231	CN201610131839.8	一种阳极效应熄灭剂	C25C	3.5星	2018.11.20	本发明公开了一种阳极效应熄灭剂，所述阳极效应熄灭剂由冰晶石、氟化铝、氟化钠、氧化铝、工业铝粉中的一种或者几种组成，并且该熄灭剂根据不同类型的阳极效应有不同的百分比组成。本发明具有减轻操作工劳动强度、减少环境污染、降低电耗和物耗、提高电解槽产量和生产效率的效果。效应处理过程在阳极底掌界面处完成，不搅动铝液，不对电解铝液产生氢和氧化铝夹杂污染，具有很高的经济价值和社会效益。
232	CN201610131836.4	一种铝电解槽槽外配料加料装置与方法	C25C	3.5星	2018.02.13	本发明公开了一种铝电解槽槽外配料加料装置和方法。配料加料装置包括电解液配料罐(6)、高氧化铝电解液储料罐(15)、阳极气体集气罩(3)。所述方法包括电解操作粉尘捕集过程，阳极气体捕集-燃烧-回收燃烧产物气体余热-回收燃烧产物气体中氟化物-回收燃烧产物气体二氧化碳过程，低氧化铝电解液抽取-输运过程，氧化铝原料配料-预热-溶解制备高氧化铝电解液过程，高氧化铝电解液转流-储存-输运-返回电解槽过程等过程。

新疆大学发明专利推荐目录

序号	申请号	专利名称	IPC分类号	DPI星级	授权公告日	摘要
233	CN201610008686.8	一种煤直接液化铁系催化剂的固相制备方法	B01J	3.5星	2018.06.01	本发明提供了一种用于催化煤直接液化反应的铁系催化剂的固相制备方法。在该发明方法中，以煤粉为载体材料，通过铁系金属盐与碱在室温下发生固相化学反应，制得负载在煤上的铁系金属氧（氢氧）化物，将该铁系金属氧（氢氧）化物/煤复合材料用作煤直接液化反应催化剂，其显示了较好的催化效果。在复合物催化剂中，活性组分铁系金属氧（氢氧）化物具有较小尺寸，与煤载体接触良好，并且在载体上分布均匀，这使得催化剂具有较高催化活性，可有效促进煤的转化液化。本发明方法所使用的原料廉价易得，反应操作简单，耗时少，易于进行大批量生产，具有广阔的应用前景。
234	CN201510990686.8	对硝基苯基脲壳聚糖衍生物及应用	C08B	3.5星	2017.12.08	本发明公开了一种对硝基苯基脲壳聚糖衍生物及应用。对硝基苯基脲壳聚糖衍生物的分子式为：所述对硝基苯基脲壳聚糖衍生物应用于抗菌和阴离子识别。本发明的对硝基苯基脲壳聚糖衍生物对欧文氏草生杆菌，枯草芽孢杆菌，大肠菌及金黄色葡萄球菌都有不同程度的抗菌效果，对部分阴离子表现出高灵敏识别选择性。
235	CN202510386773.6	一种具有树木贴合结构的林果收集装置	A01D	2星	2026.09.15	本发明公开了一种具有树木贴合结构的林果收集装置，具体林果收集工程技术领域，包括林果收集车架和车轮，所述林果收集车架左右两端的前后两侧皆安装有车轮，所述林果收集车架的中部设置有林果收集组件和贴合组件；本发明在需要对林果进行采摘时，推动林果收集车架至树下，使得引导杆朝向果树，推动林果收集车架，使得引导杆张开，使得第一安装架转动，进而带动第二支撑架转动，使得弹力网布的右端张开，直至树木移动到林果收集车架的中部，采摘的林果落入到弹力网布内进行收集，且在采摘结束后，后撤林果收集车架，此时树干与退车斜槽处抵合，从而使得第一安装架反向转动，从而使得林果收集车架可以从树干处撤出，从而提高采摘效率。
236	CN202510153269.1	基于量子储备池网络的保密通信系统	H04L	2星	2025.10.03	本发明公开了基于量子储备池网络的保密通信系统，保密通信技术领域，该系统包括发送端模块、接收端模块以及系统监控与管理模块；所述发送端模块包括信号源预处理单元和混沌加密单元，本发明通过引入Lorenz混沌系统与量子储备池网络的结合，实现了保密通信系统的高效加密与解密，在发送端，利用Lorenz混沌系统对传输信息进行加密，并通过混沌掩盖的方式将混沌载波与传输序列叠加，提高了信息的保密性，同时，通过量子储备池网络核心单元的训练与优化，能够精确预测混沌载波，从而实现加密信号的准确解密，这种结合混沌理论与量子计算的方法，不仅增强了通信系统的安全性，还提高了信息传输的效率和稳定性。

新疆大学发明专利推荐目录

序号	申请号	专利名称	IPC分类号	DPI星级	授权公告日	摘要
237	CN202510108769.3	一种基于遮挡模拟和特征融合的遮挡行人重识别方法	G06V	2星	2025.12.05	本发明公开了一种基于遮挡模拟和特征融合的遮挡行人重识别方法，属于计算机视觉技术领域，需构建一个基于遮挡模拟和Token约束的特征耦合网络，具体步骤包括：S1：整合行人图像数据集；S2：设计基于分块混合的遮挡模拟策略；S3：建立骨干网络；S4：设计基于分块混合的遮挡模拟策略；S5：建立局部-全局特征耦合模块；S6：设计损失函数；本发明基于Transformer的方法能够有效地处理长距离信息的依赖关系，同时无需借助于额外的辅助模型，能够提高模型应对各种遮挡场景的鲁棒性。
238	CN202510063845.3	一种多药箱自动配药喷洒装置	A01M	2星	2026.06.26	本发明涉及农业虫害治理技术领域，提出了一种多药箱自动配药喷洒装置，包括外壳体，外壳体的底部具有总液流出口，总液流出口与外界连通；内壳体设置在外壳体内部，内壳体具有第一内腔，外壳体与内壳体之间形成第二内腔，第一内腔具有第一气流入口和第一液流出口；若干药液瓶排列在外壳体的外壁上，药液瓶具有药液腔，药液腔通向第一内腔；底托件设置在第一内腔内；第一滑动件升降滑动设置在第一内腔内，第一滑动件与底托件之间形成第一搅拌空间。通过上述技术方案，解决了现有技术中的自动喷洒设备整体结构较为复杂，占用空间较大，增加了装置的制造成本且应用效率受限的问题。
239	CN202510027820.8	一种电弧-机械复合切割加工系统及方法	B23P	2星	2025.10.28	本发明提供了一种电弧-机械复合切割加工系统及方法，包括水箱、主轴、电刷、夹头、盘踞、石墨盘、工作台和控制器；旋转接头转动连接在主轴上，通过电机驱动主轴的旋转，夹头安装在主轴的底端，夹头底端安装有转接管，盘踞和石墨盘组成的旋转刀具安装在转接管上，工作台设置在旋转刀具下方空间内，且在工作台上的水槽内安装有工件。本发明中的电弧切割工艺可在无显著接触应力的前提下高效熔蚀材料；通过旋转刀具实现了电弧-机械复合切割工艺，利用电弧大余量去除材料的同时软化部分基体材料，结合盘锯辅助切割来提高割缝的完整性；采用内外组合冲液进行加工，内冲液可直接冲刷加工区增强排屑、冷却效率，减少不良放电率，高效实用。
240	CN202510034690.0	一种露天矿台阶深孔爆破方法	F42D	2星	2026.06.19	本发明公开了一种露天矿台阶深孔爆破方法，涉及爆破工程技术领域，现有的露天矿台阶爆破方法易导致坡面和台阶前段大块过多，增加挖掘难度与运输安全隐患。本方法包括：在待爆破台阶靠近坡面一端钻凿倾斜的第一主炮孔和竖直的第二主炮孔；在坡面上钻凿与第一主炮孔交叉布置的第一辅助孔，在台阶第一主炮孔旁侧设第二辅助孔；对各炮孔装药；将所有炮孔用起爆线连接成起爆网络；通过起爆器引爆；其中第一、第二主炮孔可呈梅花形分布，第二主炮孔竖直，各主炮孔包括填塞段和装药段。本方法通过设置辅助孔弥补坡面和台阶前段爆炸应力不足问题，提高爆破效果。

新疆大学发明专利推荐目录

序号	申请号	专利名称	IPC分类号	DPI星级	授权公告日	摘要
241	CN202510006994.6	一种煤矿井下风能驱动的摄像头清洁装置	B08B	2星	2025.11.21	本发明提供一种煤矿井下风能驱动的摄像头清洁装置，属于摄像头清洁领域；该装置包括防护壳体、风能收集结构、第一动能传递结构、储能结构、第二动能传递结构与清洁结构；防护壳体固定设置在摄像头底部；风能收集结构转动设置在防护壳体外部；第一动能传递结构设置在防护壳体内部；储能结构用于将风能收集结构收集的动能进行间歇性存储与释放；第二动能传递结构用于间歇性释放储能结构储存的动能；清洁结构的清洁刷设置在防护壳体的外部，清洁结构的动能转换单元用于将动能转化成驱动清洁刷往复运动的驱动力，以驱动清洁刷进行擦拭动作；本发明的装置不依赖电力、完全机械化、且符合防爆要求，以提高煤矿井下的工作效率和摄像头的使用寿命。
242	CN202411899238.2	一种组合断层下的区域性危险等级划分及解决办法	G06F	2星	2025.10.14	本发明提供一种组合断层下的区域性危险等级划分及解决办法，涉及煤矿安全技术领域，具体步骤包括：获取断层地应力增量矩阵和组合断层,根据组合断层、地应力增量矩阵，获取每个组合断层构造的影响范围、峰值影响范围，根据断层与工作面的基础数据，获取塑性区范围和弹性区范围，根据组合断层构造影响范围及断层构造峰值范围等，获取组合断层超前区域性的危险等级，并根据该危险等级，执行对应措施。本发明动态考虑断层之间的相互作用以及与超前支承应力的耦合关系，有助于精确地评估潜在的冲击矿压风险，建立了“断层构造—超前支承应力”冲击危险防治体系，正确控制了平巷超前的卸压强度、范围和成本之间的矛盾。
243	CN202411870499.1	一种FRP约束粉煤灰地聚物巷旁充填体构筑方法	E21F	2星	2025.10.31	本发明公开了一种FRP约束粉煤灰地聚物巷旁充填体构筑方法，涉及煤矿开采技术领域，先备好预制FRP管、充填模袋、含粉煤灰等的充填材料及相关充填系统。工作面推过后开展顶板支护等准备工作，接着安装预制FRP管与充填模袋形成待充填管柱。将粉煤灰等材料经搅拌站搅拌制成粉煤灰基地聚物充填材料注入管柱充填模袋，充填后用超高分子量聚乙烯带缠绕。再构筑含金属网、风筒布、钢筋网的防漏风墙并敷设混凝土层密闭采空区。此方法充分利用粉煤灰等废弃物，降低构筑成本，解决高温矿井充填体热损伤问题，借助FRP约束提升充填体承载能力，保障沿空留巷顶板支护效果，利于提高煤炭资源采出率，推动无煤柱连续开采。
244	CN202411860355.8	一种基于提示学习的用于事件抽取领域的多模板选择系统	G06F	2星	2025.10.10	本发明属于信息抽取领域，提供了一种基于提示学习的用于事件抽取领域的多模板选择系统，包括：上下文编码模块、扩展事件类型挖掘模块、上下文解码模块、训练模块以及推理模块。本发明通过上下文解码模块，拓宽了预训练语言模型的视野；通过采用扩展事件类型挖掘模块辅助模型提取正确的论元，提高了事件抽取任务的准确性。

新疆大学发明专利推荐目录

序号	申请号	专利名称	IPC分类号	DPI星级	授权公告日	摘要
245	CN202411860360.9	一种基于事件共现前缀的事件论元抽取方法	G06F	2星	2025.09.26	本发明属于事件论元提取领域，提供了一种基于事件共现前缀的事件论元抽取方法，包括：BART-Large模型构建、编码中间键和编码中间向量提取、模板编码单元编码、前缀拼接、文本编码、网络输出计算、向量Infoext获取、偏置添加以及事件论元抽取。本发明通过抽取出输入中存在的所有事件的语义信息和前缀的提取及添加，增强模型处理复杂事件关系的能力；通过设置用于引入两个Info-Q，增强了模型对输出格式的约束，防止了模型输出格式混乱；通过引入可调节的复制机制，克服了在每一层注意力计算中引入额外信息所带来的潜在噪声问题。
246	CN202411821336.4	一种面向风能收集的电磁-摩擦纳米混合发电机	F03D	2星	2026.06.19	本发明公开了一种面向风能收集的电磁-摩擦纳米混合发电机，属于风能技术领域，包括定子外壳，定子外壳内封装有摩擦纳米发电机模块和电磁发电机模块，电磁发电机模块和摩擦纳米发电机模块耦合且与摩擦纳米发电机模块嵌合设置，电磁发电机模块与摩擦纳米发电机模块通过同轴心连接器相连接。本发明采用上述的一种面向风能收集的电磁-摩擦纳米混合发电机，通过对该混合摩擦纳米发电机的基本构型及工作原理重新进行了设计，基于三元介电摩擦带电效应的软接触摩擦纳米发电机混合电磁发电机，通过利用软接触材料的摩擦带电特性，实现了高效的能量转换。
247	CN202411788898.3	一种基于集群神经动力学的分布式时变最优资源分配方法	G06F	2星	2025.11.07	本发明公开了一种基于集群神经动力学的分布式时变最优资源分配方法，涉及分布式控制技术领域，该方法具体步骤为：定义问题：对N个递归神经网络以集合形成一个递归神经网络RNN集合，用于解决分布式最优时变资源分配问题，在该问题中，非二次局部目标函数和全局相等约束条件均随时间变化，利用动态平均共识协议来估计某些全局信息，提出了一种具有双时间尺度的新型神经动力学方法，以分布式方式渐近跟踪给定问题的时变最优资源分配，分析表明，所提出的神经动力学模型被视为奇异扰动系统，通过奇异扰动理论收敛到时变最优资源配置，最后，通过两个实例验证了所得结果。
248	CN202411623480.7	一种防止胡蜂逃逸的多情境蜂窝移除装置	A01M	2星	2026.09.22	本发明公开了一种防止胡蜂逃逸的多情境蜂窝移除装置，属于蜂窝摘除技术领域，包括操作杆组件、连接组件和网兜组件，连接组件设置有万向云台，操作杆组件和网兜组件连接于连接组件两端，如此，实现多角度操作；操作杆组件内设有牵引绳，牵引绳连接于网兜组件设有可松式活口扎带，通过牵引绳可控制网兜组件的开合；连接组件设有的溶液存储管内存储有麻醉液体，麻醉液体可通过设有微型喷雾器喷出对胡蜂进行麻醉；网兜组件通过设有可形变的金属弹簧，实现对不同形状蜂窝的适应；如此，本发明提供一种可适用于多种情境下对胡蜂及蜂窝的移除装置，兼具了灵活收缩，收纳方便，操作简单，可适应多种情境，高效采集胡蜂和移除蜂窝，具有很高的实用价值。

新疆大学发明专利推荐目录

序号	申请号	专利名称	IPC分类号	DPI星级	授权公告日	摘要
249	CN202411573874.6	一种基于改进ConvLSTM模型的瓦斯突出监测预警方法及系统	G06F	2星	2025.10.17	本发明公开了一种基于改进ConvLSTM模型的瓦斯突出监测预警方法及系统，涉及瓦斯监测技术领域，其技术方案要点是：包括构建矿山瓦斯数据集；对瓦斯数据集进行清洗，将非结构化数据转化为结构化数据，并对结构化数据进行数据清洗、去噪以及标准化；对预处理后的瓦斯数据集进行高阶派生特征提取；构建改进ConvLSTM模型；使用历史瓦斯数据集对改进的ConvLSTM模型进行训练；识别潜在的瓦斯高风险区域；基于改进ConvLSTM模型的分析结果，识别出潜在的瓦斯突出发火风险区域；构建监控平台。本发明通过改进ConvLSTM模型，实现了瓦斯数据的高效采集和处理，提升了监测的准确性和实时性，为矿山安全管理提供了有力支持。
250	CN202411572077.6	一种环境友好型稀土示踪剂的制备方法及应用	C07C	2星	2025.10.14	本发明公开了一种环境友好型稀土示踪剂的制备方法及应用，涉及油气开采技术领域，所述稀土元素络合物示踪剂包括由亚氨基二琥珀酸四钠(简称IDS)和稀土元素硝酸盐形成的稀土元素络合物；稀土元素络合物或稀土元素络合物示踪剂可作为示踪剂应用于油气勘探开发中。IDS溶解性好且对稀土元素具有非常强的络合能力。以IDS作为络合剂形成稳定的稀土元素络合物，在水中具有较强的溶解能力，将其用作示踪剂不容易被岩心及原油吸附，抗盐性与压裂液配伍性好；此发明在油气勘探与开发方面展现出良好的应用价值。
251	CN202411510058.0	一种二氧化碳参与合成氨基酸类化合物的方法	C25B	2星	2025.10.10	本发明揭示了一种氨基酸类化合物的合成方法，该方法在电化学反应条件下，利用N-甲基-N-苯基甲基丙烯酰胺作为原料，于二氧化碳氛围中实现β-氨基酸和γ-氨基酸类化合物的选择性合成。相较于先前报道的制备方法，本发明具有绿色、高效、选择性好的优点，其底物适用范围广泛，产物官能团兼容性好，原料易于获取，且操作简便，具有潜在的合成应用前景。
252	CN202411413864.6	一种光电双信号响应结构色织物的制备方法	B32B	2星	2026.02.13	本发明公开了一种光电双信号响应结构色织物的制备方法，涉及纺织品处理技术领域，所述方法包括：S1：PS@SiO2胶体微球的合成，PS@SiO2表示二氧化硅包覆的聚苯乙烯；S2：PS@SiO2液体光子晶体的制备；S3：Mxene分散液的制备；S4：光电双信号响应结构色织物的制备，包括：弹性固体光子晶体PS@SiO2 SPCs膜的制备，导电弹性针织物M-Fabric的制备，PS@SiO2 SPCs与M-Fabric在水性聚丙烯酸酯WPA的粘合作用下结合在一起，获得具有光电双信号响应的结构色织物M-Fabric@SPCs。

新疆大学发明专利推荐目录

序号	申请号	专利名称	IPC分类号	DPI星级	授权公告日	摘要
253	CN202411376432.2	一种硬碳材料及其制备方法	C01B	2星	2025.11.04	本发明提供了一种硬碳材料及其制备方法，包括以下步骤：(S1)将沥青破碎，在氧化性气氛下进行热处理，得到预氧化前驱体；(S2)预氧化前驱体与交联剂I混合均匀，在惰性气氛和加热条件下进行一次交联，得到交联前驱体I；所述交联剂I为侧链含有羧基的高分子；(S3)交联前驱体I和交联剂II混合均匀，在惰性气氛和加热条件下进行二次交联，得到交联前驱体II；所述交联剂II为小分子且含有多个酸酐和/或羧基的芳烃化合物(S4)交联前驱体II在惰性气氛下，煅烧、冷却研磨得到无定形的钠离子电池负极材料。本发明制备方法得到的负极材料兼顾了高容量和高倍率，成本低廉、制备工艺简单、无序度可调、高碳产率、适用于大规模生产的碳材料。
254	CN202411140469.5	一种雾天宽视场视频图像变化检测方法及装置	G06T	2星	2026.07.24	本发明公开了一种雾天宽视场视频图像变化检测方法及装置，方法包括：基于颜色衰减先验对单幅图像进行去雾，获取去雾后的清晰图像；通过反正切比算子和极值像素比算子对去雾后的清晰图像进行处理，分别得到两幅差异图；结合图像能量特征和拉普拉斯金字塔对获取的两幅差异图像进行自适应融合得到融合后的差异图并结合中值滤波进一步去噪；对去噪后的融合差异图像进行去均值归一化操作，压缩传感器噪声引起的变化与未变化像素之间的差异得到最终差异图；基于像素最邻近关系初始化聚类原型的EN-K-Means聚类算法对最终差异图进行聚类分析得到最终的二值图像。装置包括：处理器和存储器。本发明可以有效减少误报警情况发生。
255	CN202411026443.8	一种多视觉感知的直角混联多臂机器人棉花采收装置及方法	A01D	2星	2026.05.01	本发明公开了一种多视觉感知的直角混联多臂机器人棉花采收装置及方法，包括履带，两个履带之间设置有移动底盘，移动底盘的顶部设置有车体支架，车体支架的顶部分布有多个安装架。通过直角坐标三轴直线导轨，用国产驱控一体控制系统实现直角坐标移动的机械臂运动控制，因三自由度直角坐标机械臂速度快，精度高，可实现对棉花60-80％棉絮轴心朝上的快速采摘，余下少量的棉絮心轴姿态角度较大的，可用灵活的六自由度机器人完成采摘，提高效率和采净率，同时直角坐标机械臂与串联机械臂组合结构可降低成本，扩展采摘作业空间。
256	CN202411016166.2	一种基于双视图互补一致性的半监督医学图像分割方法	G06V	2星	2026.07.14	本发明涉及一种基于双视图互补一致性的半监督医学图像分割方法，仅利用少量有标注医学图像数据，来挖掘大量无标注数据中的潜在特征信息来提升分割模型性能，包括以下步骤：采用特征空间蒸馏机制，通过教师-学生模型提取和转移多尺度语义特征；利用双视图融合策略优化伪标签，优化模型对未标记数据的学习效果；通过预训练自编码器辅助的不确定性估计方法，优化模型的可靠性和分割精度。本发明在左心房(LA)和肝脏肿瘤分割(LiTS)数据集上的实验结果显示，该方法在分割精度和模型鲁棒性方面取得了不错的效果。

序号	申请号	专利名称	IPC分类号	DPI星级	授权公告日	摘要
257	CN202410932891.8	基于外部知识图谱的图像描述方法	G06F	2星	2026.07.31	本发明公开了一种基于外部知识图谱的图像描述方法，包括：目标检测、外部信息检索和介绍文本生成；主要包括：对待介绍图片进行目标检测，包括图像预处理、特征提取、目标检测、后处理优化和输出检测结果；利用关键词预测模型对检测结果进行关联关键词预测，将结果输入到外部知识图谱中检索出匹配的知识子图，再输入到子图知识评估器中得到与关键词最相关的知识子图。本公开的技术方案，在进行信息检索时无需知识图谱全部信息，只关注关联关键词的局部子图信息，同时提出了一个子图知识评估器，对预测的关联关键词进行相关性排序，以确保补充信息与目标检测结果相关程度的最大化。
258	CN202410885477.6	基于遥感变化检测的双分支多尺度动态局部卷积注意力方法	G06V	2星	2026.06.26	本发明公开了基于遥感变化检测的双分支多尺度动态局部卷积注意力方法，主要涉及遥感变化检测领域；包括步骤：S1、收集双时相遥感图像，制作遥感图像数据集；S2、构建一个基于遥感变化检测的双分支多尺度动态部分卷积注意力网络架构；S3、利用预训练好的轻量级网络对双时相遥感图像进行提取特征处理；S4、将提取的多层特征输入到动态多尺度卷积注意模块；S5、将动态多尺度卷积注意模块中的得到特征输入到并行译码聚合器模块中；S6、将训练好的模型权重保存下来，使用测试集进行测试，得到该测试图像的变化检测结果；本发明能够准确地检测捕获的遥感图像中的变化。
259	CN202410871163.0	一种基于连续时序信息融合的单目标跟踪方法	G06T	2星	2026.06.12	本发明公开了基于连续时序信息融合的单目标跟踪方法，属于目标跟踪技术领域，包括以下步骤：S1：使用骨干网络，对模板图片进行特征提取；S2：利用目标模板特征细化模块从模板图片特征中获取目标的全局和局部信息，通过骨干网络处理搜索图片的特征提取阶段后，将上一帧搜索图片和当前帧搜索图片的特征输入时序信息融合模块；S3：搜索图片和模板图片的特征被串联起来，在异步交互阶段，采用骨干网络进行特征交互，与用于从搜索图片中提取特征的骨干网络以及用于从模板图片中提取特征的骨干网络之间共享权重；S4：利用定位头实现目标定位。本发明示例的跟踪方法，通过连续时序信息融合方法和网络结构，为目标跟踪领域带来了一种既高效又高效能的解决方案。
260	CN202410765114.9	基于多尺度特征识别和轻量级架构的实时烟雾检测系统	G06V	2星	2026.09.15	本发明公开了基于多尺度特征识别和轻量级架构的实时烟雾检测系统。本发明中，提出了一种基于多尺度特征识别和轻量级架构的实时烟雾检测系统，该网络在减少模型计算复杂度和参数数量的同时，增强了算法的鲁棒性和检测精度，提高了在复杂场景中的烟雾检测性能。通过提出的C2f-PConv模块，有效减少了冗余特征提取，同时保持了关键空间特征的捕捉能力。设计的高效信息共享检测头(LPSDH)显著减少了参数数量，增强了对不同尺度烟雾目标的识别能力。此外，ADown下采样模块的整合提高了多尺度烟雾的识别能力，有效捕捉了图像中的广泛和显著特征，确保了检测精度。实验结果表明，烟雾检测系统在复杂场景中的烟雾检测任务中表现优异。

序号	申请号	专利名称	IPC分类号	DPI星级	授权公告日	摘要
261	CN202410595768.1	基于多角度特征增强的多缺陷类别绝缘子缺陷检测方法	G06T	2星	2026.06.19	本发明公开了基于多角度特征增强的多缺陷类别绝缘子缺陷检测方法，属于人工智能技术领域，对于输入的图像数据：(1)由设计的网络架构进行图像特征提取；(2)将多层特征图进行特征融合；(3)使用损失函数进行网络优化；(4)输出检测结果。本发明示例的基于多角度特征增强的多缺陷类别绝缘子缺陷检测方法，在考虑通道特征的同时，进一步增强了空间层面的特征，同时，构建了一个新的多尺度双向特征融合结构，在融合的过程保留了更多的上下文信息，并加快了融合速度。
262	CN202410555662.9	一种基于多粒度对比学习的远程监督关系抽取方法	G06F	2星	2026.07.03	本发明提供了一种基于多粒度对比学习的远程监督关系抽取方法，涉及信息抽取技术领域，方法包括：获取数据样本中的句子；将句子分割为单词序列；向单词序列的头部和尾部分别进行标记，得到标记后的句子；利用双向编码器得到初始句子特征；利用正例对编码器得到初始正样本特征；根据图编码器得到关系和实体对的约束特征并将约束特征融合到对应的初始句子特征和初始正样本特征中，得到增强句子特征和增强正样本特征；将增强句子特征融合为包级特征；将包级特征和增强正样本特征输入对比学习关系分类器，对数据样本的关系进行抽取，得到分类关系。本发明解决了忽略不同层级特征之间的交互导致关系抽取的准确性和效率低及长尾关系抽取能力弱的问题。
263	CN202410559305.X	一种干旱矿区土壤重构方法	A01B	2星	2025.12.05	本发明涉及环境生态修复技术领域，提供了一种干旱矿区土壤重构方法，包括以下步骤：在干旱矿区废弃地表面依次设置下层隔水层、中间储水层和上层砾幕层，下层隔水层为防水材料层或粘土层，中间储水层采用的土壤为砂土或壤砂土，上层砾幕层由粒径不小于5mm的砾石形成。在本发明中，上层砾幕层能够快速将地表水下渗到土壤中，降低下层土壤水分蒸发速度，有效存储降水，还能增加地表粗糙度，减少土壤风蚀；中间储水层能够将下渗的地表水进行储存；下层隔水层能够阻止水分下渗深度超过植被根系吸收范围。本发明能够有效恢复干旱矿区的植被，且修复费用低，修复时间短，有效的解决了当前干旱矿区植被恢复存在的问题。
264	CN202410529227.9	一种针对田间虫害的识别控制喷洒机器人及其方法	A01M	2星	2025.11.28	本发明提供一种针对田间虫害的识别控制喷洒机器人，涉及农业智能化机器人领域，包括探照识别系统（1）、行走机构（2）、机械臂组件（3）、电动水泵（4）、中控系统（5）、药液箱（6）、底盘（7）与传感系统（8）；电动水泵（4）与对应机械臂组件（3）末端设置的仿生喷头构件（38）连通；探照识别系统（1）、行走机构（2）、机械臂组件（3）、电动水泵（4）、传感系统（8）分别与中控系统（5）电性连接。该喷洒机器人基于机器视觉技术、能够进行白天与黑夜的全天候检测、识别，检测精度高、时效性强；同时，该喷洒机器人能够实现对作物的均匀喷洒，提升喷洒效率、避免药液浪费。

序号	申请号	专利名称	IPC分类号	DPI星级	授权公告日	摘要
265	CN202410504001.3	基于深度判别的低照度宽视场图像变化检测方法及装置	G06V	2星	2026.06.19	本发明公开了一种基于深度判别的低照度宽视场图像变化检测方法及装置，方法包括：在用于训练的双时相图像数据上制作关于物体和噪声变化特征的训练和验证数据集，并对ON-DisNet进行训练；在测试数据上计算全局差异图像，并根据预设的宽能量阈值检索变化对象；对检索到的变化对象进行归一化和形态学融合滤波；利用训练后的ON-DisNet来判别检索到的变化对象是物体还是噪声，并根据真实物体的变化、方位和尺度信息从输入的双时相测试图像中获取局部图像对；使用WeibDO从局部图像对中提取局部差异特征并创建局部差异图像；应用LoG-Graph对局部差异图像进行二元分割，生成局部变化图，并将其合成为全局变化图。装置包括：处理器和存储器。
266	CN202410477564.8	一种防结冰超疏水材料制备方法	C09D	2星	2026.04.28	本发明公开了一种防结冰超疏水材料制备方法，以铝板为基底；首先对高炉矿渣粉和钢渣粉进行疏水改性处理，将高炉矿渣粉和钢渣粉按一定质量比例混合，将混合粉体和有机溶剂A无水乙醇加入圆底烧瓶中搅拌，待溶液充分混合后加入有机溶剂B十七氟癸基三乙氧基硅烷并转移至水浴加热槽中水浴加热和搅拌；将改性高炉矿渣-钢渣粉体、有机溶剂C乙酸丁酯按照3:8的比例均匀混合，反应十分钟后逐滴加入双组分聚脲，烘干得到超疏水涂层。本发明以高炉矿渣废弃物为主要原料，添加少量钢渣用于提升涂层耐磨损性能，以双组分聚脲为粘合剂，采用改性-喷涂两步法，无需大型仪器设备，简便快捷的制备出具有优异的耐磨损性能超疏水涂层。
267	CN202410462501.5	一种低照度宽视场视频图像变化检测方法及装置	G06V	2星	2026.07.17	本发明公开了一种低照度宽视场视频图像变化检测方法及装置，方法包括：提出极值平均比算子，用于抑制噪声和保留图像细节，生成差异图；采用提出的基于拉普拉斯金字塔自适应融合的方法，通过计算差异图的局部能量，并将其与拉普拉斯金字塔相结合，实现对差异图的自适应融合；使用TVL1对偶方法对差异图去噪，并对变化区域进行增强，使用主成分变换对去噪后的差异图像、对变化区域进行增强后的图像进行融合，再使用自适应中值滤波，去除图像中残余的随机噪声；提出改进自适应中值滤波，用于抑制噪声并保护图像的细节；提出将阈值分割与K-means聚类相结合，并对K-means聚类进行改进，对处理后的图像先进行预处理，获得最终检测结果。装置包括：处理器和存储器。
268	CN202410439643.X	一种挖掘深层时间依赖性监测火电厂碳排放的方法及装置	G06F	2星	2026.08.07	本发明公开了一种挖掘深层时间依赖性监测火电厂碳排放的方法及装置，方法包括：时间注意力协调时序时间步的重要程度；将历史统计信息作为线性相关变量，线性相关变量与TCN提取的初步时间依赖关系相结合，作为seq2seq模型中的输入数据；在seq2seq模型中采用双向长短期记忆提取时间序列数据的深层时间依赖关系；并采用编码注意力机制；将AE作为预测校准器；所有超参数依赖于贝叶斯超参数寻优算法所获得的结果，并通过最小化损失调整模型参数，实现对目标特征的准确预测；通过将碳排放预测值与碳排放阈值进行比较，实现对火电厂碳排放的监测预警；装置包括：处理器和存储器。本发明利用多传感器数据来准确预测二氧化碳未来的排放量，进而对火电厂的碳排放实现准确监测，为节能减排做出贡献。

序号	申请号	专利名称	IPC分类号	DPI星级	授权公告日	摘要
269	CN202410439647.8	一种低照度宽视场条件下的视频图像变化检测方法和装置	G06T	2星	2026.08.07	本发明公开了一种低照度宽视场条件下的视频图像变化检测方法及装置，方法包括：引入高斯核二次平滑算法，对输入的图像视频帧进行预处理，通过二次卷积平滑得到更加抗噪的图像；采用联合差异图的变化检测方法，设计了符合低照度图像特性的反双曲余切对数比算子和切比雪夫加速的多尺度稠密光流算法；采用基于分形理论的自相似融合方法将包含不同特征的差异图集成起来，将自相似系数作为融合参数，使差异图保留变化部分并抑制噪声；采用自适应阈值去噪得到最终的变化检测结果。装置包括：处理器和存储器。本发明既能对抗低照度环境下的随机噪声，又能检测到淹没在黑暗中难以检测的暗变化、小变化，快速准确提升检测率。
270	CN202410325640.3	浓度预测方法和系统	G16C	2星	2026.07.17	本发明公开了一种城市中未来PM2.5浓度预测方法及系统，包括：利用Pearson相关系数，构建PM2.5浓度与其它气体浓度、气象特征的相关系数矩阵，对输入变量之间的线性关系进行评估，确定LSTM网络模型和引入时空注意力机制的TCN组合模型输入特征；引入时空注意力机制，提取城市污染物浓度序列数据集中每一时间步之间的时间依赖关系以及每一时间步中的输入特征之间的关系；构建LSTM网络模型和引入时空注意力机制的TCN组合模型；利用所提出模型进行输入特征的提取和融合，进行模型训练参数调优后，以空气污染物浓度和气象数据作为训练好的预测模型输入进行预测，使用两个模型的均方根误差，进行自适应反比加权融合两个网络模型预测结果得到最终预测结果。装置包括：处理器和存储器。
271	CN202410259985.3	一种宽视场视频图像变化检测方法及装置	G06T	2星	2026.07.24	本发明公开了一种宽视场视频图像变化检测方法及装置，方法包括：采用改进的自适应快速引导滤波器用于视频图像的变化检测；对多时相视频图像进行滤波后，提出种考虑邻域信息的对数比算子，改进均值比差异图生成方式，生成差异图；采用离散小波变换对改进的MR图像和改进的LR图像进行图像融合，获取融合差异图；采用软阈值函数，对融合差异图进行初始分类，得到初始的变化区域和未变化区域；使用累积分布函数将分类结果的像素值从[0,255]压缩至[0,1]；提出超快速鲁棒约束模糊C-Means聚类算法，采用改进的自适应中值滤波进行去噪处理。装置包括：处理器和存储器。
272	CN202410236932.X	流化床-下行床热解-气化一体化方法及装置	C10J	2星	2026.09.22	本发明涉及流化床-下行床热解-气化一体化方法及装置。本发明通过流化床热解炉与下行床气化炉组合，提出了一种油页岩热解气化一体化的方法及相关装置，其包括以下步骤：原料自流化床下段进料口进入，在流化床热解炉中热解产生气体及半焦；通过气固分离器将半焦分离自由下落至下行床气化炉，半焦气化后的高温气体作为热载气通往流化床热解炉中；热解气体产物送往冷凝装置快速冷却，其中可冷凝气体经冷却后成为焦油，而不可冷凝气体一部分经过进一步净化处理作为产品气，另一部分经加热后作为热载气通往流化床热解炉中。该流化床-下行床热解-气化一体化方法及装置可有效利用小颗粒油页岩，同时还有效利用了流化床热解半焦及气化炉气体产物的残余热量，降低了整个循环系统的能耗。

序号	申请号	专利名称	IPC分类号	DPI星级	授权公告日	摘要
273	CN202410244059.9	一种含硬夹石岩层炮区的大小孔径组合炮孔爆破方法	F42D	2星	2026.07.07	本发明公开了一种含硬夹石岩层炮区的大小孔径组合炮孔爆破方法，具体涉及露天矿山岩体爆破技术领域，包括如下步骤：将工作面进行分区；确定工作面的孔网参数和延期时间，布孔方式以靠近台阶自由面的炮孔排为第一排，相邻两排的炮孔等距离交错排列，每一排的炮孔孔径相同，第一排和第二排的炮孔为大孔径炮孔，从第二排至最后一排的炮孔为大孔径炮孔与小孔径炮孔间隔排列；对炮孔进行装药填塞，起爆药包放置在炮孔的硬岩石层区，按照对部分炮孔依照跨排对角斜线的起爆路线进行起爆；在爆破结束后，收集、整理和分析爆破数据，并对孔网参数和延期时间进行优化。本发明能够减小炸药单耗，改善爆破效果，提高炸药能量利用效率，进而提高铲装效率。
274	CN202410222990.7	一种棉秸秆刨花板原料自动化加工设备	B27N	2星	2025.12.26	本发明公开了一种棉秸秆刨花板原料自动化加工设备，涉及刨花板原料加工的技术领域。所述加工设备从前开始依次为：秸秆切削装置（1）、振动磁选装置（2）、秸秆除杂装置（3）、辊压分离装置（4）、锤爆粉碎装置（5）、过水除杂装置（6）、干燥装置（7）、风选装置（8）和精细粉碎装置（9），各装置之间通过传输管道连接。该方法通过该流水线有助于提高刨花板的成型质量，生产过程中，生产连续性较好，自动化较强，可以降低人工成本，并提高了生产效率，保证了刨花板的产品质量。
275	CN202410200213.2	一种短电弧顺序加工花键轴方法	B23H	2星	2026.05.26	本发明公开了一种短电弧顺序加工花键轴方法，涉及花键轴加工技术领域。本发明将花键轴工件连接第一电源正极，将块状电极连接第一电源负极，花键轴工件保持高速旋转，花键轴工件向块状电极进给；完成阶梯轴短电弧车削；然后换装，将花键轴工件连接第二电源正极，将中空管状电极连接第二电源负极，中空管状电极保持高速旋转，中空管状电极向花键轴工件进给；完成花键短电弧铣削。本发明通过改变电源和加工电极，实现短电弧车削和铣削在同一机床上，提出先使用块状电极进行短电弧车削加工，然后更换中空管状电极，使用短电弧铣削加工，通过结合短电弧车削加工和铣削加工，可实现花键轴高效高质量加工。
276	CN202410190790.8	一种基于多尺度跨区域的综合交通可达性测度方法	G08G	2星	2026.08.25	本发明公开了一种基于多尺度跨区域的综合交通可达性测度方法。S1.绘制出研究区域边界；S2.获取研究区域相关数据；S3.获取跨区域边界交通运输通道信息，结合调查的相关数据，设计各节点综合水平评价因子，得到各节点综合发展水平指标；S4.根据公路和铁路路线长度以及计算各个区域的路网密度；S5.将各区域中心城市作为起点及终点以生成OD矩阵，并计算综合交通运输方式OD对之间的通行时间；S6.构建并修正重力模型；S7.根据修正引力模型，结合各项经贸数据指标，并计算得到综合可达性指标。通过实践验证发现，本发明在满足计算精确度的条件下，综合考虑各类权重指标更精确的测算不同区域间的可达性水平，为实现国家区域战略评价提供新方法。

序号	申请号	专利名称	IPC分类号	DPI星级	授权公告日	摘要
277	CN202410173669.4	一种硒氰化异喹啉酮的合成方法	C07D	2星	2025.10.03	本发明公开了一种可见光条件下以N芳基丙烯酰基苯甲酰胺或2-芳基-N-丙烯酰基吲哚或N-甲基丙烯酰基-2-苯基苯并咪唑与硒氰酸钾的自由基加成串联环化反应，以廉价的KSeCN为硒氰化试剂，过硫酸钾等为氧化剂，2,4,6-三苯基四氟硼酸盐等为相转移催化和光催化双功能催化剂，进行硒氰化环化反应。该反应在室温和可见光的条件下，以中等至优异产率合成了硒氰化异喹啉-1,3(2H,4H)-二酮、吲哚[2,1-a]异喹啉酮和苯并咪唑[2,1-a]异喹啉-6(5H)-酮。该方法具有反应条件温和，底物兼容性好，可大规模合成，操作简单，原料廉价易得、制备简单、结构稳定等优点。
278	CN202410062662.5	一种X型草方格自动铺设机	E02D	2星	2026.05.12	本发明涉一种X型草方格自动铺设机。X型草方格自动铺设机包括自动换料装置、草料输送装置、开沟装置及驱动装置。车体上具有均匀圆周设置的储料料工位及输送工位。开沟装置安装于车体的底部，并用于在车体行进过程中刨开地面沙土以形成沟槽。草料输送装置安装于车体第二层上，并用于将上料工位的草滚依次转运至抓取工位。自动换料装置包括升降机构及安装于升降机构上的可动齿板。升降机构安装于车体上，并用于带动草滚及插草板第二方向垂直的平面内升降。X型插草板用于在经过抓取工位下方时接住并抓紧从抓取工位掉落的草帘，还用于在开沟装置刨开沟槽时经过沟槽的上方并松开投放草帘。上述X型草方格自动铺设机的使用，提高草方块的铺设效果。
279	CN202410012287.3	并网型退役动力电池储能系统优化控制方法	H02J	2星	2026.06.19	本发明涉及一种电池储能系统控制技术领域，是一种并网型退役动力电池储能系统优化控制方法，包括采集当前时刻下并网型退役动力电池储能系统的电压电流测量值，基于当前时刻下并网型退役动力电池储能系统的电压电流测量值，结合LSTM-MPC控制策略得到下一时刻每个单相子模块的占空比；将导入载波移相调制算法中生成单相子模块开关信号。本发明将LSTM、MPC和占空比调制相结合，针对电网电压平衡情况实现对于电池组荷电状态SOC的跟踪和功率跟踪，针对电网电压不平衡情况考虑系统三相不平衡运行特性对负序电流和功率波动进行抑制，获取下一时刻最优并网电流指令和最优输出电压指令，为得到单相子模块开关信号提供准确的数据支持。
280	CN202410006258.6	基于多角度相似性聚合与多重距离优化的行人重识别方法	G06V	2星	2026.07.21	本发明公开了基于多角度相似性聚合与多重距离优化的行人重识别方法，属于计算机视觉技术领域，包括以下步骤：S1：多角度相似性聚合模块利用多个角度的样本特征间的相似度关系，避免受单一偏好的影响；S2：多重距离优化策略会进一步从困难样本挖掘的视角出发，同时考虑实例样本之间和聚类样本间的一致性，分别利用它们的极致困难样本和平均样本，缩小同一聚类下的样本距离，同时拉大不同类别间的样本距离。本发明示例的行人重识别方法，提出了一种新的多角度相似性聚合与多重距离优化策略，而且不需要修改网络结构，不会增加网络流数，非常适用于多复杂场景数据集。

序号	申请号	专利名称	IPC分类号	DPI星级	授权公告日	摘要
281	CN202311721140.3	BC衍生碳基纳米纤维电极材料制备方法、电极材料及应用	H01M	2星	2026.09.22	本申请公开了一种BC衍生碳基纳米纤维电极材料制备方法、电极材料及应用。所述BC衍生碳基纳米纤维电极材料的制备方法包括：采用HCI-氟盐法刻蚀制备MXene水分散液；以细菌纤维素为基材，采用原位培养的方式向培养基中添加钼酸铵溶液、磷酸二氢钠和所述MXene分散液，静置培养后取出用去离子水冲洗得到BC/MXene/NaH2PO4/Mo前驱体水凝胶；将制备得到的所述BC/MXene/NaH2PO4/Mo前驱体加入硫脲溶液中进行水热硫化，将水热得到的产物经去离子水洗涤后，进行冷冻干燥处理从而获取干燥后的膜；将干燥后的膜采用高温碳化，得到生物质层间改性的BC衍生碳/MXene/二硫化钼纳米纤维作为BC衍生碳基纳米纤维电极材料。本申请的方法能够缓解MoS2在充放电过程中结构塌陷和自身堆叠问题。
282	CN202311655047.7	一种节能型电采暖装置	F24D	2星	2026.07.14	本发明涉及采暖器领域，具体的说是一种节能型电采暖装置，包括供暖管与内壁清洁机构和辅助清洁机构及外壁清洁机构以及辅助散热机构，若干个所述供暖管的下端通过管道连接，若干个所述供暖管的内部均设有内壁清洁机构，若干个所述内壁清洁机构的一侧均设有辅助清洁机构，若干个所述供暖管的外壁均设有外壁清洁机构，若干个所述供暖管的一侧均设有辅助散热机构，若干个所述供暖管的内部均呈方形状设置，所述内壁清洁机构包括清洁块，可对供暖管内壁进行清洁，防止污泥吸附在供暖管内壁，日字清洁块对供暖管外壁进行清洁，同时散热叶吹动供暖管散出的热量，增加热量散出范围，减少供暖管表面杂质，影响供暖管散热，提高供暖管供暖效果。
283	CN202311634303.4	一种计及主动限流控制的直流线路纵联保护方法及系统	H02H	2星	2026.09.01	一种计及主动限流控制的直流线路纵联保护方法及系统，包括：直流电网发生直流故障后，获取一阶段限流控制的比例系数K1，二阶段限流控制策略的比例系数K2；K1与K2相比较和桥臂电流幅值与设定值相比较，构成二阶段限流控制策略启动判据；根据桥臂电流变化率判别是否满足保护启动条件，满足则提取线路两端电流量，计算线路两端电流突变量与电流突变量积分值，将两端电流突变量积分值相乘得到乘积值；使用符号函数处理线路两端电流突变量积分乘积值，与整定值0相比较，判断区内、区外故障；利用故障后正负极线路两端电流突变量积分的乘积值之比进行故障极判定。
284	CN202311634321.2	一种虚拟电厂交互模型构建方法及相关装置	G06F	2星	2026.08.04	一种虚拟电厂交互模型构建方法及相关装置，包括：建立虚拟电厂与配电网的交互物理模型，虚拟电厂根据剩余可调节能力判别是否响应配电网下发的日内新调度指令；通过均匀生成调度指令获取训练集和随机生成调度指令得到测试集；对数据集进行归一化处理，对归一化处理后的数据集，建立调度指令可行性模型；基于调度指令可行性模型构建基于核极限学习机-高斯过程回归KELM-GPR的虚拟电厂交互成本模型。根据其分类边界可获悉虚拟电厂的可调度范围，进而有利于虚拟电厂自身和上级配电网调度中心做出合理调度计划；最后虚拟电厂交互模型由于是数据驱动模型，对配电网下发的日内新调指令无需内部再次优化求解，可在毫秒级响应，因此可满足配电网日内调度的时效性。

序号	申请号	专利名称	IPC分类号	DPI星级	授权公告日	摘要
285	CN202311592257.6	基于多阶段辅助学习的可见光-红外行人重识别方法	G06V	2星	2026.07.17	本发明公开了一种基于多阶段辅助学习的可见光-红外行人重识别方法，属于计算机视觉技术领域，为了减小可见光图像和红外图像之间的异质性并降低训练成本，本发明提出一个新的多阶段的辅助学习策略来解决这个问题，通过将训练过程分为两个阶段，使模型可以逐步提取模态共享特征，并有效减轻由于模态差距过大而引起的负面影响。然后，还提出异质特征补偿学习模块，在可见光和红外特征之间进行信息补偿和融合，分别将其作为辅助分支来学习更多与跨模态相关的信息。此外，为了进一步减少模态之间的差异，提出了跨模态相似性增强模块，通过抑制干扰信息并利用像素相似性概率分布提供监督信息，以提高跨模态特征表示的一致性。最后，设计了距离中心对齐损失来优化网络，降低模态内和模态间的类内差异并增强不同类别之间的可
286	CN202311579471.8	基于全局-局部特征再校准的多声源定位与检测方法	G10L	2星	2026.05.12	本发明公开了一种基于全局-局部特征再校准的多声源定位与检测方法，包括计算一阶立体声格式的多通道空间音频信号的短时傅里叶变换，获得log线性频谱和归一化的声强向量作为输入特征后，对训练集的特征做数据增广；将增广后的频谱和声强向量拼接作为神经网络模型的输入，对神经网络模型进行训练，获得最优的网络模型参数并保存；对待测试样本进行预处理后送入训练好的模型中，输出获得预测的声音事件类别和位置信息，根据预测结果绘制声音事件检测图、方向角和方位角轨迹曲线图，并与测试样本真实标签的可视化图像进行对比，分析模型的性能。本发明可以达到较高的声源定位与检测性能，模型在真实和合成数据集上都表现出较好的泛化性。
287	CN202311546151.2	一种基于视觉的多臂采棉机器人	A01D	2星	2026.06.23	本发明公开一种基于视觉的多臂采棉机器人，涉及采棉机技术领域，包括底盘、采棉装置、机械臂和集棉箱，所述底盘分为三层，所述第一层为待采棉株生长区，所述采棉装置和四个机械臂与底盘第二层固定连接，并且所述机械臂内部设置有可供棉花输送的通道，所述集棉箱与底盘第三层固定连接；本发明通过机械臂将其末端移动到待采棉花附近，在采棉装置的抽吸的作用下，将棉花带到集棉箱内；本发明克服了传统摘锭式采棉机所造成棉绒纤维拉断、拉细、造成绕结等现象，通过气力采摘与输送，大大提高了长绒棉的品质，同时也解决了人工采收速度慢，劳动强度大的问题。
288	CN202311505254.4	一种小型化超宽带圆极化植入式天线	H01Q	2星	2026.07.17	本发明提供了一种小型化超宽带圆极化植入式天线，包括：介质基板及覆盖层，所述覆盖层位于介质基板的顶部，所述介质基板的顶部印刷有辐射面，所述介质基板的底部印刷有地平面，所述辐射面及地平面之间通过短路探针及同轴馈点中心探针相连通，所述辐射面的中心设置所述T形矩形槽，所述T形矩形槽的两侧设置所述第一螺旋矩形槽及第二螺旋矩形槽，所述第一螺旋矩形槽及第二螺旋矩形槽为非对称设置，所述地平面上设置所述U形地平面矩形槽，且所述U形地平面矩形槽与所述地平面的边缘相连通。本发明提供的小型化超宽带圆极化植入式天线，结构简单，具有尺寸小、剖面低、低耦合、圆极化、超宽带等优点。

序号	申请号	专利名称	IPC分类号	DPI星级	授权公告日	摘要
289	CN202311486479.X	一种抗滑桩的加固装置	E02D	2星	2026.08.28	本发明涉及滑坡治理技术领域，公开了一种抗滑桩的加固装置，包括：套件、多个加固件、支护件、多个弹性件、多个耗能组件，套件套设于抗滑桩露出土体的部分，套件与抗滑桩固定连接，多个加固件均与套件的底部固定连接，加固件的下方伸入土体用以稳固套件和抗滑桩，支护件设置于套件迎坡面的一侧，支护件与套件滑动连接，支护件用以接触和阻挡下滑的土体，多个弹性件均设置于套件和支护件之间，当支护件与土体接触时，弹性件用以缓冲土体对支护件的冲击力，多个耗能组件均设置于套件和支护件之间，用以消耗下滑的土体的冲击力。降低了抗滑桩承力部分的疲劳折弯和断裂风险，整体实现了对抗滑桩强度加固的有益效果。
290	CN202311431988.2	一种电石渣制备钙基吸附材料的方法	B01J	2星	2025.09.19	本发明公开了一种制备钙基吸附材料的方法。将含有钙元素的电石渣、沥青和生物质按照一定比例进行充分混合后进行高温处理，待其自然降温后将获得一种吸附材料。具体地，将细小的电石渣颗粒加入熔融的沥青中搅拌均匀后快速冷却并粉碎过筛，然后将混合颗粒与生物质颗粒均匀混合放入坩埚中进行程序升温，待升温结束后取出使其自然降温即可获得一种钙基吸附材料。这种吸附材料不需要另外进行活化即可表现出较好的吸附性能，尤其对水中的重金属元素、烟气中的二氧化碳有较好的吸附性能，该吸附材料吸附烟气中的二氧化碳后可继续吸附水体中的重金属离子，并且在吸附烟气中的二氧化碳后该吸附材料对重金属离子的吸附能力会有明显提升。
291	CN202311408013.8	基于孪生双分类混合模态输入的带噪声标签图像分类方法	G06V	2星	2026.06.19	本发明公开了基于孪生双分类混合模态输入的带噪声标签图像分类方法，涉及计算机视觉和人工智能技术领域。包括以下步骤：步骤1、获取带噪声标签的数据集，即样本总数；步骤2、进行本地样本选择，对数据集进行预处理，经过孪生二分类网络筛选，获得干净标签样本和噪声标签样本；步骤3、进行在线样本选择，数据集经过本地选择后，每个历元训练开始前再对数据集进行一次高斯混合模型选择；步骤4、进行半监督训练，本地选择和在线选择后，每个样本的标签预测概率按照混合双模态输入规则进行半监督训练；步骤5、对上述区分后的样本分类通过准确率、精确率、召回率、F1分数来评估结果，本发明的有益效果在于：能够有效减少噪声标签对训练的影响。
292	CN202311403895.9	一种基于岩体力学强度的煤层合层开采方法和开采装置	E21B	2星	2026.09.18	本发明公开了一种基于岩体力学强度的煤层合层开采方法和开采装置，开采方法包括如下步骤：在回采巷道内通过钻机沿着垂直于巷道延伸方向的水平方向开设延伸至矸石层的预裂钻孔，沿着回采巷道的延伸方向依次间隔开设多个预裂钻孔；通过钻杆将可控冲击波设备置于预裂钻孔中，利用可控冲击波设备使矸石层产生微小裂隙；通过钻杆将微波发生装置送入预裂钻孔中，利用微波发生装置产生的微波辐射使得微小裂隙发育并形成裂隙网络；重复上述步骤依次完成多个预裂钻孔的预裂工作并进行封堵；向至少一个预裂钻孔中注入高压水砂混合液，使得矸石层内的裂隙网络进一步扩张并相互贯通；利用采煤机进行煤矸同采，将截割出来的煤矸石运输至地面并进行筛选。

序号	申请号	专利名称	IPC分类号	DPI星级	授权公告日	摘要
293	CN202311382301.0	基于双平行互质阵列移动的二维相干信号DOA估计方法	G01S	2星	2026.07.03	本发明公开了一种基于双平行互质阵列移动的二维相干信号DOA估计方法，包括：双平行阵列包括第一子阵和第二子阵，对第一子阵的输出和第二子阵的输出进行相位补偿得到第一子阵补偿输出和第二子阵补偿输出；基于第一子阵补偿输出和第二子阵补偿输出得到第一向量，基于第一子阵补偿输出得到第二向量；构造稀疏离网格优化函数；基于稀疏离网格优化函数得到入射信号与X轴的精确角度估计；基于第一向量和第二向量得到入射信号与Y轴的角度估计；基于入射信号与X轴的精确角度估计和入射信号与Y轴的角度估计得到二维相干信号的角度估计值。本发明利用双平行互质阵列进行二维相干信号的角度估计，弥补互质阵列对相干信源的角度估计方面的不足。
294	CN202311267600.X	赋予基材表面超疏水特性的简便摩擦制备方法	D06M	2星	2025.11.14	本发明涉及超疏水/超亲水材料技术领域，具体为一种赋予基材表面超疏水特性的简便摩擦制备方法，取多元丙烯酸酯基化合物，使其完全溶解于无水乙醇中；加入纳米级无机材料与高级烷基醇；加入乙二胺封端的聚乙烯亚胺，形成超支化凝胶聚合物；于四氢呋喃体系中加入长链烷基胺；将超支化凝胶聚合物放置于混合溶液中，进行室温浸泡低表面能修饰处理后，得到抗湿凝胶聚合物复合材料；取表面具有粗糙结构且能够附着颗粒的基材；在抗湿凝胶聚合物复合材料表面喷涂热固型粘合剂；将材料置于基材表面实施往复摩擦，赋予基材表面超疏水特性。
295	CN202311059185.9	一种装配式夹芯保温墙体及其连接件	E04B	2星	2026.07.17	本发明提供了一种装配式夹芯保温墙体，包括夹芯保温墙体组件，所述夹芯保温墙体组件的一侧均匀设有连接件，所述夹芯保温墙体组件包括结构墙体、保护层和若干个保温层。本发明通过连接件、第一六角凹槽、第二六角凹槽、第一通孔、第一六角挡块、六角板、第一六角保温块、第三通孔、螺纹腔、第四通孔、第四六角凹槽、第二六角挡块和第二六角保温块的组合使用，在保温层厚度较大的夹芯保温结构中，既能保证结构墙体和保护层之间有足够的拉拔强度，其中第一六角保温块和第二六角保温块的设置，可以有效避免热桥产生，又使结构墙体的热损失变小，有利于增强和保证本发明的保温性能，有助于实现低碳建筑。
296	CN202310985723.0	一种基于双离散忆阻器的映射方法	G06N	2星	2026.06.23	本发明公开了一种基于双离散忆阻器的映射方法，涉及忆阻器技术领域，本发明使用两个周期型离散忆阻器去构造两种新型的双忆阻器超混沌映射模型：同构正弦-正弦离散忆阻器SSDM映射和异构正弦-余弦离散忆阻器SCDM映射；映射具有平面固定点并且稳定性分布在参数和初值平面根据第二个特征根被划分；利用分岔图、李雅普诺夫指数、相位图和局部吸引盆研究了耦合强度依赖的分岔行为、忆阻器初值调控的共存极端多稳定性，在忆阻器的控制下，共存无限多异质吸引子沿着直线和平面自我复制；数值结果表明，SSDM和SCDM映射不仅可以生成高度复杂的超混沌吸引子，而且表现出分布在直线和平面上的忆阻器初始条件调控的极端多稳定性行为。

序号	申请号	专利名称	IPC分类号	DPI星级	授权公告日	摘要
297	CN202310895370.5	一种在碳载体表面原位生长过渡金属氢氧化物的方法	C01G	2星	2026.08.11	本发明公开的一种在碳载体表面原位生长过渡金属氢氧化物的方法，将两性金属引入不同的碳基底作为反应桥梁和对应氢氧化物的锚定点，通过水解显碱性的溶液进行刻蚀在基底表面原位生长相应的氢氧化物超薄纳米片。本发明通过将两性金属M直接嵌入不同碳载体中，形成大量的锚定点。再利用胺盐水解产生的OH-刻蚀两性金属M，形成相应氢氧化物原位生长在其表面，操作简单，反应条件温和，具有普适性，可适用于规模化商业生产。同时，根据催化反应特点和反应类型，还可通过调节刻蚀剂NH3·H2O、铵盐等的浓度，反应温度、反应时间等进一步调控材料中金属M和氢氧化物纳米片的含量及厚度，适用于不同反应类型的催化剂和储能材料，适用范围广。
298	CN202310292626.3	一种利用二氧化碳封存采空区处理碱性矿井水的方法	C02F	2星	2026.05.15	本发明涉及一种利用二氧化碳封存采空区处理碱性矿井水的方法，该方法利用碱性水可与二氧化碳发生反应的性质，以此达到净化废弃碱性矿井水的目的。在井工煤矿设置条带充填采空区，在条带充填采空区地面挖设水槽，并在条带充填采空区装设水泵与二氧化碳气体输送管，确保二氧化碳气体的从地表注入采空区和矿井水的注入与抽取。通过注水泵向二氧化碳封存采空区内注入废弃碱性矿井水，当注入二氧化碳封存采空区内碱性矿井水达到预设时间后，通过抽水泵将中和后的矿井水抽出，实现碱性矿井水的酸碱中和与再利用。
299	CN202310799558.X	内置高强纤维绳的矿用抗冲击锚索及其施工方法	E21D	2星	2025.10.31	本发明公开了一种内置高强纤维绳的矿用抗冲击锚索的施工方法，涉及煤矿巷道支护技术领域，矿用抗冲击锚索包括：索体结构、耗能结构和附属结构。索体结构由钢管套筒、导向尖锥和高强纤维绳组成，高强纤维绳为多股纤维束缠绕而成的绳索结构；包括至少两个耗能结构，每个耗能结构由耗能钢筋和紧固装置组成，耗能钢筋的拉伸破断载荷低于高强纤维绳的拉伸载荷且拉断时长度不大于紧固装置间的高强纤维绳长度,耗能钢筋破坏后高强纤维绳开始承载；附属结构包括锚索托盘和锚固锁具，锚索托盘由具有蜂窝结构的橡胶垫层和钢板组成，通过锚索张拉机具施加预应力。
300	CN202310633477.2	一种小型化自双工植入式天线	H01Q	2星	2026.05.08	本发明提供了一种小型化自双工植入式天线，包括：介质基板、覆盖层，覆盖层位于介质基板顶部；介质基板顶部印刷有辐射面，介质基板底部印刷有地平面，辐射面和地平面之间通过第一矩形螺旋贴片短路探针及第二矩形螺旋贴片短路探针连通，辐射面与第一矩形螺旋贴片同轴馈电探针中心线及第二矩形螺旋贴片同轴馈电探针中心线相连；辐射面包括第一矩形螺旋贴片及第二矩形螺旋贴片，第一矩形螺旋贴片、第二矩形螺旋贴片通过设置弯曲矩形缝隙形成弯折矩形螺旋结构且结构不同，第一矩形螺旋贴片和第二矩形螺旋贴片自旋角相差180°。本发明提供的小型化自双工植入式天线，结构简单、尺寸小、剖面低、低耦合、圆极化、自双工。

序号	申请号	专利名称	IPC分类号	DPI星级	授权公告日	摘要
301	CN202310589583.5	一种考虑随机性的电力系统自适应动态表面有限时间控制方法	H02J	2星	2026.09.04	本发明提供了一种考虑随机性的电力系统自适应动态表面有限时间控制方法，包括如下步骤：随机电力系统模型构建：在传统受控电力系统的机理模型的基础上，将随机功率波动加入模型，从而构建电力系统随机模型；构建状态观测器；根据电力系统随机模型的矩阵形式，确定各参数矩阵，构建系统的状态观测器；优化电力系统的状态观测器，根据动态表面有限时间自适应控制策略，使得随机电力系统的输出x1能够跟踪上期望的轨迹xd，并使系统的跟踪误差收敛至原点。本发明能够针对随机扰动做出适当的响应，有效抑制了电力系统的随机振荡现象，增强了新型电力系统的随机干扰抵抗能力。
302	CN202310472549.X	一种基于视觉特性的色纺纱全光谱配色方法及装置	G01N	2星	2026.09.18	本发明公开了一种基于视觉特性的色纺纱全光谱配色方法及装置。所述基于视觉特性的色纺纱全光谱配色方法包括：获取加权系数矩阵；根据加权系数矩阵获取目标样品的反射率中间函数组；根据加权系数矩阵分别获取每个用于为目标样品进行配色的单色样品的反射率中间函数组；根据所述目标样品的反射率中间函数组以及每个用于为目标样品进行配色的单色样品的反射率中间函数组获取预测配比信息。本发明所设置的加权系数矩阵反映了人眼敏感特性，通过加权系数矩阵进行加权后所获取的加权向量信息更贴合实际人眼敏感区域，从而让配色预测配比偏差变小，使得配色更为准确。
303	CN202310470323.6	非对称邻域聚合的残差图卷积协同过滤推荐方法和设备	G06F	2星	2026.02.17	本发明涉及一种非对称邻域聚合的残差图卷积协同过滤推荐方法和设备。该方法根据用户特征信息、物品特征信息及其交互数据构造用户对物品的二部图，对用户和物品的特征信息进行独热编码，然后使用线性嵌入层将其映射为初始的节点嵌入向量；将节点嵌入向量在改进的图卷积层进行特征传播，对所有层的节点嵌入向量进行加权平均，得到用户和物品的最终嵌入向量；在预测层对最终嵌入向量进行内积运算，得到目标用户对目标物品的评分。本发明利用一种新的特征传播机制来更新用户和物品的节点嵌入向量，充分捕捉用户与物品之间的高阶交互关系，不仅缓解了过度平滑效应，还充分利用了用户和物品的低阶节点特征，从而有效地提高了推荐的精度。
304	CN202310352901.6	一种应用于5G智能手机的8单元双频MIMO天线	H01Q	2星	2026.04.24	本发明提供了一种应用于5G智能手机的8单元双频MIMO阵列天线，包括：水平介质基板、竖直介质基板、辐射贴片、去耦合单元、微带线和馈电端口，所述水平介质基板底面印刷有地平面，所述辐射贴片和地平面之间通过辐射贴片的短路部分连接，所述辐射贴片印刷于左右两个竖直介质基板的内侧，所述辐射贴片通过微带线进行馈电，所述微带线印刷在水平介质基板上表面，并与辐射贴片相连，所述去耦合单元印刷左右两个竖直介质基板的外侧，并置于辐射单元之间。本发明提供一种应用于5G智能手机的8单元MIMO天线，结构简单、尺寸小、剖面低、低耦合、高增益、信道容量大。

新疆大学发明专利推荐目录

序号	申请号	专利名称	IPC分类号	DPI星级	授权公告日	摘要
305	CN202310261410.0	一种用于纺织品耐磨性的检测装置	G01N	2星	2026.02.03	本发明公开了一种用于纺织品耐磨性的检测装置，涉及线性耐磨试验机技术领域，包括机体，所述机体的上端设置有传动盒，所述传动盒的侧边传动连接有移动板，所述移动板的表面固定有磨头，所述机体的侧边设置有固定座，所述固定座的上端套接有限位框，所述固定座的侧边设置有滑槽和定位孔，本发明通过限位框对纺织品的边缘进行挤压，保证纺织品的稳定固定在固定座表面，避免纺织品边缘碎裂跟随磨头移动，同时固定螺栓固定挤压杆的位置，固定螺栓表面的尖头和定位孔表面的引导斜面能保证固定螺栓与定位孔连接，在检测厚布料时能方便对布料进行固定。
306	CN202211622591.7	考虑不完全维修的可修设备可靠性建模与评估方法	G06F	2星	2026.04.24	本发明公开了一种考虑不完全维修的可修设备可靠性建模与评估方法。通过采用三参数边界强度过程模型(3-BIP)作为基准故障强度函数来修正比例故障强度(LPIM)模型，对可修设备的可靠性进行建模；将模型参数估计问题转化为非线性目标函数最值求解问题，采用粒子群优化算法求解模型参数；再次，采用逆Fisher信息矩阵法估计模型参数置信区间，给出关键可靠性指标的点估计和基于Delta法的区间估计方法；将本发明应用于某风力发电机故障截尾时间数据中，采用赤池信息准则、贝叶斯信息准则和拟合优度指标检验模型的拟合优度。该模型的拟合优度优于BIP和LPIM模型，且得出的可靠性评估结果更符合工程实际。
307	CN202310147062.4	一种土壤分层快速检测装置	G01N	2星	2025.11.25	本发明公开了一种土壤分层快速检测装置，由分层检测机构、升降机构、变幅机构、旋转机构组成，所述分层检测机构的内部安装有检测探头，所述检测探头与近红外光谱仪相连，穿过上端盖上的孔以及钻管驱动转轴后置于外管和内管之间，所述钻管驱动转轴为空心轴，下方有螺纹孔，与外管通过螺栓连接，所述内管为亚克力透明管，所述外管外表面有螺旋型切土刀片，外管末端和内管末端与钻头通过螺纹连接，可在钻入土壤的过程中对不同深度的土壤进行快速检测，同时，在检测完成后可将钻管里的土壤推回到田地里，保护了土壤资源。
308	CN202310074327.2	一种小型化双频圆极化柔性植入式天线	H01Q	2星	2026.04.03	本发明提供了一种小型化双频圆极化柔性植入式天线，包括：介质基板、覆盖层，所述覆盖层位于所述介质基板顶部；所述介质基板顶部印刷有辐射面，所述介质基板底部印刷有地平面，所述辐射面和地平面之间通过短路探针和同轴馈电中心线连通，所述辐射面和同轴馈电的中心探针相连，所述短路探针及同轴馈电中心线关于所述介质基板的中心对称分布，所述覆盖层位于所述辐射面顶部。本发明提供的一种小型化双频圆极化柔性植入式天线，结构简单、安装方便、尺寸小、剖面低、信道容量大。

序号	申请号	专利名称	IPC分类号	DPI星级	授权公告日	摘要
309	CN202310017654.4	基于结合显隐式信息的注意力知识网络的推荐方法	G06F	2星	2026.02.17	本发明公开了基于结合显隐式信息的注意力知识网络的推荐方法，主要涉及计算机应用技术领域；包括步骤：S1、收集用户历史行为数据，进行数据处理；S2、使用一个信息共享层，使项目和实体产生特征交互，互补可用信息；S3、在注意力波纹传播层中，输入用户交互的项目表示，然后利用项目和知识图谱中实体的对应关系和知识图谱中实体间的连接关系，在知识图谱中传播用户偏好，最后将扩散得到的实体表示聚合到用户表示；S4、在跨特征融合网络中，在向量级进行特征的显式交互，减少参数数量；S5、最终在预测层，将显隐式信息结合输出点积预测结果；本发明能够提高推荐的准确性，有效缓地解数据稀疏问题。
310	CN202211587938.9	一种不锈钢包铝质双金属环件径向局部热压塑性连接方法与装置	B23K	2星	2026.08.04	本发明提供了一种不锈钢包铝质双金属环件径向局部热压塑性连接方法与装置，属于双金属环件制造技术领域。该装置主要由环件加热炉、径向液压顶缸群组、环形空心支撑台、形状组合与固定模块等组成。首先，在铝合金环坯外侧和不锈钢环坯内侧分别加工键合的凸起和凹槽结构；环形空心支撑台移动到加热炉特定位置，将带有键合凸起和凹槽的双金属环组合体固定在支撑台上；启动加热炉将双金属环组合体加热到所需工作温度；环形空心支撑台带动加热的双金属环组合体下降到加热炉底部一定位置，启动环形空心支撑台中间的径向液压顶缸群组，将内侧带凸起的铝合金环坯整体压入到外侧带凹槽的不锈钢环坯中，实现双金属环件径向局部热压塑性连接。
311	CN202210960898.1	基于双层MAC和VMD自适应分频的风电平滑方法	H02J	2星	2026.03.20	基于双层MAC和VMD自适应分频的风电平滑方法，制定不平衡功率补偿策略。当不平衡功率大于零时，若此时无不确定性负荷，正不平衡功率与蓄电池A共同补偿不确定性负荷，减少蓄电池A动作；若此时无不确定性负荷，蓄电池A吸收不平衡功率。当不平衡功率小于零时，需储能系统补偿不平衡功率，优先补偿不平衡功率。制定风电波动平抑策略，利用混合储能实现五分钟时间尺度内的风电波动平抑。提取波动率需求内的补偿功率，根据超级电容器和蓄电池的特性对补偿功率进行分频，使超级电容器平抑高频低幅值的波动，蓄电池B平抑低频高幅值的波动。建立基于双层模型算法控制的平抑模型。
312	CN202210601090.4	一种蒸发冷却填料复合式换热器	F28D	2星	2025.10.17	本发明提供一种蒸发冷却填料复合式换热器，单元填料片分为互为镜像结构的第一填料片、第二填料片，填料组合的第一通道、第二通道为交叉缩放椭圆管，填料片的连接边的中心设有空心三角柱粘结结构，多片单元填料片通过上述空心三角柱粘结结构交错叠层，填料顶部设有空心椭圆孔挡板，空心椭圆孔挡板与第三椭圆管、第四椭圆管顶部平齐，第三通道顶层至空心椭圆孔挡板构成通风层。本发明通过强化装置内的蒸发冷却，增强水膜均匀性，减小通风阻力，增强填料抗污性，从而提高冷却效率，降低装置的运行能耗以及维修费用。

新疆大学发明专利推荐目录

序号	申请号	专利名称	IPC分类号	DPI星级	授权公告日	摘要
313	CN202210427520.5	一种基于狄利克雷过程混合模型的空间羽流特征聚类方法	G06F	2星	2025.11.28	本发明涉及一种基于狄利克雷过程混合模型的空间羽流特征聚类方法，其方法为，使用携带气体传感器和定位装置的机器人获取羽流扩散空间中的羽流特征，构建羽流特征集合；对具有相似特点的羽流特征，使用狄利克雷过程混合模型的方法进行聚类，得到羽流空间分布类型；设计CollapsedGibbs采样推断参数，输出最终空间羽流特征聚类数据，本发明能够考虑非结构环境下羽流分布的复杂情况，可以实现对空间中羽流类型的快速、精准且全面的聚类。
314	CN202210296438.3	一种地质工程的实验装置	E21B	2星	2025.11.21	本发明涉及地质工程技术领域，具体为一种地质工程的实验装置，包括底座，底座的上表面固定安装有储水箱，所述储水箱的上表面固定安装有加水管，且加水管与储水箱的内部相通，所述储水箱的侧表面固定连接有推杆，所述底座的内部开设有滑槽，所述滑槽的内部滑动安装有安装板，所述底座的侧表面对称开设有四组让位槽，且让位槽与滑槽的内部相通，所述安装板的侧表面与让位槽对应的位置处均固定安装有安装块。本发明中通过设置升降组件和密封圈的配合使得装置在自身的重力下对密封圈挤压进而对待检测孔洞进行密封，保证了压水实验的有序进行，通过设置卡接组件可快速地对过滤网进行安装和拆卸，且结构简单易操作。
315	CN202510409609.2	一种β-羰基二硫代磷酸酯类化合物、制备方法与应用	C07F	2.5星	2026.01.27	本发明属于有机合成技术领域，具体涉及一种β-羰基二硫代磷酸酯类化合物、制备方法与应用。本发明通过在电化学反应条件下，利用廉价易得的苯乙烯，P4S10以及醇作为原料，四丁基四氟硼酸铵(nBu4NBF4)作为电解质，乙腈(CH3CN)作为溶剂，于室温及空气氛围中制备β-羰基二硫代磷酸酯类化合物。相较于先前报道的制备方法，本发明具有绿色、环保、安全、高效节能的优点，原料易于获取，且操作简便，具有潜在的工业应用前景。
316	CN202510178833.5	一种穴盘苗移栽机钵苗检测与剔补苗试验装置及方法	A01C	2.5星	2025.11.28	本申请提供的一种穴盘苗移栽机钵苗检测与剔补苗试验装置及方法，涉及农业机械领域；该装置包括支撑架、传送机构、苗杯、图像采集装置、控制装置、剔苗机构和补苗机构；苗杯在传送机构的带动下由初始位置沿环形轨迹移动；通过图像采集装置采集裸露在苗杯的下部开口中的钵苗钵体与茎秆部分的图像信息；控制装置根据图像信息判断对应苗杯中的钵苗是否合格或者是否缺苗，对于不合格的钵苗或者缺苗的苗杯，控制装置分别输出控制信号至剔苗机构和补苗机构，实现剔苗和补苗作业；本方案能够确保苗杯内无劣质苗、漏苗、栽植地块无缺苗现象；增加移栽效率，提高移栽效果及种植收益。

新疆大学发明专利推荐目录

序号	申请号	专利名称	IPC分类号	DPI星级	授权公告日	摘要
317	CN202510141956.1	基于负荷准线型需求响应的共享储能优化配置方法及系统	H02J	2.5星	2025.11.25	本发明公开了一种基于负荷准线型需求响应的共享储能优化配置方法及系统，属于新能源并网控制技术。本发明首先构建一个用户侧共享储能运营模式，然后提出了基于性能激励机制的准线形成方式以及激励补贴策略，充分挖掘微电网用户与共享储能共同价值，简化引导用户改变功耗模式的难度。以弥补刚性负荷和决策能力弱的用户友好程度不佳，不利于吸引海量用户参与的局限。进而构建了以共享储能运营商与储能使用者剩余之和最大化的社会福利最佳为目标的用户侧共享储能配置模型，该模型考虑规划与运行两个环节，运行环节按照各市场成员对其他市场成员的替代效益进行定价，满足社会福利最大化、激励相容以及个体理性等性质。
318	CN202510068853.7	一种3-芳基喹喔啉酮类化合物的电化学合成方法	C25B	2.5星	2025.10.03	本发明公开了一种由离子液体诱导的喹喔啉酮类化合物与芳基三氮烯之间的高效C-H芳基化反应。具体涉及一种3-芳基喹喔啉酮类化合物的电化学合成方法，采用芳基三氮烯作为稳定的芳基化试剂，并以离子液体作为促进剂和电解质。在温和、无金属和无氧化剂的条件下，该方法能够以中等到优异的收率合成多种3-芳基喹喔啉酮类化合物和芳基化的喹喔啉类化合物。本方案具备操作简便、官能团耐受性优异、选择性高、产物衍生性强以及适用于克级连续流化学合成等显著特点。
319	CN202510058102.7	一种具有模拟炮孔功能的堵塞密实度测量装置及其测量方法	G01N	2.5星	2025.11.18	本发明公开了一种具有模拟炮孔功能的堵塞密实度测量装置及其测量方法，包括支撑组件，所述支撑组件用于支撑圆周换位组件和线性驱动组件，所述圆周换位组件用于横向圆周调节底撑组件的位置从而使得底撑组件位于线性驱动组件的正下方，所述底撑组件用于承载并连接空压测量组件；本发明实现了具有按需选用相应尺寸的底撑组件、空压测量组件和下压组件从而模拟相应尺寸炮孔的功能，还实现了具有空压测量组件快速组装的功能，同时也具有仿真模拟炮孔内部环境的功能，也实现了具有炮孔堵塞密实度与压力关系自动化快速量化测量的功能，保障了测量结果精确性，也为后续精细化台阶爆破提供了科学依据，适合被广泛推广和使用。
320	CN202510015999.5	一种变体无人机的性能约束控制方法、装置、设备及介质	G05D	2.5星	2025.11.18	本发明提供了一种变体无人机的性能约束控制方法、装置、设备及介质，属于无人机控制领域，该方法包括：获取目标伞式伸缩变体无人机PRVQ的当前状态和预设期望状态；根据当前状态和预设期望状态确定误差向量，并基于误差向量设置滑模面；根据误差向量和滑模面构建障碍Lyapunov函数，并确定障碍Lyapunov函数的导数表达式；根据PRVQ的动力学特性和预设期望状态的收敛速度，确定PRVQ的性能边界；根据性能边界和预设期望状态的收敛轨迹，确定PRVQ的时变性能函数；根据障碍Lyapunov函数的导数表达式、性能边界和时变性能函数，通过Lyapunov稳定性理论确定PRVQ的控制律表达式；根据控制律表达式对PRVQ进行稳定性控制。这样通过构建和实现PRVQ稳定性控制策略的关键环节，确保了PRVQ的稳定性。

新疆大学发明专利推荐目录

序号	申请号	专利名称	IPC分类号	DPI星级	授权公告日	摘要
321	CN202411881323.6	一种柔性自支撑钴-氮-碳复合催化剂的制备方法及应用	H01M	2.5星	2025.09.26	本发明属于锌空电池催化剂技术领域，公开了一种柔性自支撑钴-氮-碳复合催化剂的制备方法及应用。本发明将金属甲酸框架原位生长于碳布上，一步热解得到Co/NCNTs/CC催化剂，Co/NCNTs/CC作为ORR/OER电催化剂，比Pt/C和RuO2贵金属催化剂具有更好的催化性能，为提升非贵金属催化剂性能提供了参考。Co/NCNTs/CC作为空气阴极组装的液态锌空电池和柔性锌空电池，表现出良好的电化学性能和稳定性，具有广阔的应用前景。
322	CN202411808878.8	风电机组及其故障预警方法、装置、存储介质和程序产品	F03D	2.5星	2026.09.15	本发明公开了一种风电机组及其故障预警方法、装置、存储介质和计算机程序产品，该方法包括：对风电机组的历史数据进行处理得到样本并划分为训练集和测试集；基于CycleNet和多头注意力机制构建得到改进的BiGRU模型后，利用训练集进行训练得到风电机组的运行预测模型，加入预设的滑动窗口后利用测试集进行测试以对风电机组的运行预测模型进行修正，得到风电机组的故障预测模型；利用风电机组的故障预测模型，基于风电机组的当前数据预测风电机组是否故障，实现对风电机组的故障预。该方案，通过基于CycleNet和多头注意力机制学习得到故障预警模型，在复杂天气条件下实现变桨系统的故障预警，提高风电设备的运行效率和可靠性。
323	CN202411811223.6	一种煤基中空碳纤维膜及其制备方法和应用	D01F	2.5星	2025.11.25	本发明公开了一种煤基中空碳纤维膜及其制备方法和应用，属于水处理技术领域，该制备方法包括以下步骤：按照壳层纺丝溶液和芯层纺丝溶液的推注速度比为18：(1-6)，利用同轴静电纺丝法在铝箔上收集得到中空纤维前驱体，再依次进行空气低温预氧化和惰性气体下高温碳化处理，得到所述煤基中空碳纤维膜；其中，所述壳层纺丝溶液中含有氧化煤和聚丙烯腈；芯层纺丝溶液中含有聚苯乙烯。即本发明通过固定壳层纺丝溶液的推注速度，调节芯层纺丝溶液的推注速度，制得不同内径的煤基中空碳纤维；其中，本发明中空结构碳纤维膜具有更大的比表面积，能够提供更多的活性位点，从而提高去离子容量和效率；氧化煤改性的中空碳纤维可以用于制备无粘结剂的电极材料，减少非活性材料的使用，构建三维导电网络提高电极的电导率，同时增强了电极在机械应力作用下的结构完整性，显著提高了电极循环使用寿命。
324	CN202411800460.2	一种兼具高储钠容量和高初始库伦效率的低维煤基硬碳材料及其制备方法	C01B	2.5星	2026.01.30	本发明公开了一种兼具高储钠容量和高初始库伦效率的低维煤基硬碳材料及其制备方法，属于碱金属离子电池负极材料技术领域。该方法将新疆烟煤通过液相氧化解聚，得到氧化煤纳米片和氧化煤基石墨烯量子点；通过含胺化合物将氧化煤纳米片和氧化煤基石墨烯量子点的混合物或者氧化煤纳米片进行交联、自组装和脱氧还原，得到低维煤基前驱体；在高温煅烧阶段，使用石墨板辅助低维煤基前驱体热解，制备出系列低维煤基硬碳材料。该低维煤基硬碳材料作为钠离子电池负极兼具高储钠容量和高初始库伦效率(ICE)，在0.02A g-1的电流密度下的比容量最高可达420.40mA h g-1，同时兼具91.97%的高ICE。

新疆大学发明专利推荐目录

序号	申请号	专利名称	IPC分类号	DPI星级	授权公告日	摘要
325	CN202411798882.0	一种用于孤岛AC微电网的分布式弹性二次控制系统	H02J	2.5星	2025.09.19	本发明公开了一种用于孤岛AC微电网的分布式弹性二次控制系统，涉及电力系统控制技术领域，该系统包括以下组成部分：扩展状态观测器模块、FDI攻击模型研究模块、攻击信号估计与补偿模块和弹性分布式二次控制模块；本发明通过引入扩展状态观测器和攻击信号估计与补偿模块，能够精确估计和补偿FDI攻击对系统频率和电压的影响，使得系统在遭受FDI攻击时，能够迅速调整控制策略，稳定频率和电压，防止系统崩溃或失稳，同时，通过改进的分布式二次控制策略，实现了最优的有功功率共享，进一步提高了系统的稳定性和安全性。
326	CN202411771668.6	一种油气储层泥质含量测井曲线智能预测方法	G06Q	2.5星	2025.11.04	本发明公开了一种油气储层泥质含量测井曲线智能预测方法，属于岩石物理和测井曲线处理和解释技术领域，包括：所述在步骤101中，通过结合决定系数与网格寻优方法确定Gardner公式参数，随后利用Gardner公式生成能够覆盖实测密度数据集的虚拟密度数据集。本发明通过利用决定系数和网格寻优方法确定Gardner岩石物理公式和Larionov岩石物理公式的最优参数，能有效校正实测测井数据异常值并生成用于训练多种机器学习模型的融合数据集，综合利用交叉验证法、相关系数、决定系数和多维度SHAP方法对预测结果进行更全面评估和解释，与传统岩石物理方法比较，泥质含量的预测精度提高了12%，不仅能有效校正并扩充测井曲线数据集，还可以显著提高油气储层泥质含量预测的准确性和可靠性。
327	CN202411669757.X	一种利用焚烧炉渣和污染淤泥制备道路基层材料的方法	C04B	2.5星	2025.11.11	本发明公开了一种利用焚烧炉渣和污染淤泥制备道路基层材料的方法，该方法包括以下步骤：将焚烧炉渣进行湿法调制和化学改性，得活化焚烧炉渣；利用低温等离子体处理固相淤泥，得预处理淤泥；将活化焚烧炉渣和预处理淤泥混合均匀，得混合原料；混合原料中加入矿化剂并混合均匀并向其中加水，得反应湿料；将反应湿料进行水热反应，得到矿化材料；将矿化材料与水玻璃溶液混合均匀，得道路基层材料。本发明在水热处理条件下促使焚烧炉渣和污染淤泥中的重金属与矿化剂发生反应，将其固化和稳定化，有效降低重金属在路基中的长期浸出风险及其在环境中的迁移性。同时，水热处理产生热力学稳定的矿物相，显著增强路基材料的强度、耐久性和抗压性能。
328	CN202411664220.4	一种V掺杂的镍化磷材料及其制备方法和应用	C25B	2.5星	2025.09.26	本发明属于电解水催化剂技术领域，公开了一种V掺杂的镍化磷材料及其制备方法和应用。本发明通过水热法在NF上均匀生长V-NiZn-LDH微米球阵列，然后通过选择性碱蚀的方法得到了具有丰富缺陷的前驱体，成功制备了锚定在泡沫镍上的具有丰富表面缺陷的镍铁磷化物V-Nivac2P/NF。在1MKOH溶液中，制备的V-Nivac2P/NF自支撑电极表现出优异的电解水析氧性能和析氢性能。原位拉曼光谱表明，在OER过程中，缺陷显着加速了从相邻镍原子重构为高活性NiOOH物质，成为真正的催化活性中心。DFT计算也表明空位的引入能够提高催化剂的导电性，在吸附*OOH的步骤，V-Nivac2P/NF能够有效降低*OOH的吸附能垒。

新疆大学发明专利推荐目录

序号	申请号	专利名称	IPC分类号	DPI星级	授权公告日	摘要
329	CN202411662890.2	一种S，V-共掺杂的多孔Ni2P材料及其制备方法和应用	C25B	2.5星	2025.09.23	本发明属于电解水催化剂技术领域，公开了一种S，V-共掺杂的多孔Ni2P材料及其制备方法和应用。本发明通过水热-气固相反应两步合成方法制备了用S，V共掺杂的磷化镍S，V-Ni2P/NF，用于高效的电化学分解水。S，V-Ni2P/NF电极在泡沫镍上原位生长并具有特殊的微米花结构，表现出优异的HER和OER催化活性。S，V-Ni2P/NF优异的性能主要得益于其特殊的形貌结构和S，V共掺杂的协同作用，阴阳离子双掺使催化剂的电子结构得到了优化，进一步优化了催化剂的电子结构和电子排布，加速了催化剂的电荷传输速率，并且多孔的微米花的结构拥有较大的电化学活性比表面积，为更多活性位点的暴露提供了充足的可能，从而提高了催化剂的催化活性。
330	CN202411549513.8	基于threejs的四叉树结构的三维地球显示的方法和系统	G06T	2.5星	2026.02.03	本发明涉及地理信息技术领域，尤其涉及基于threejs的四叉树结构的三维地球显示的方法和系统；技术问题：现有技术中的计算量大、瓦片节点管理困难、结构不清晰；技术方案：基于threejs的四叉树结构的三维地球显示的方法和系统，包括有首先构造四叉树节点，然后根据瓦片行列号和层级数据计算到对应的地球表面的网格模型；本发明相较于在现有技术结构不清晰，不利于瓦片节点状态管理，也不利于后续非计算机专业人员对程序功能的扩充,且实现Lovel of detail的方式比较笨拙，层级切换的时候视觉效果差，计算量大的问题；本发明通过四叉树结构构建地图结构模型，数据结构清晰，有利于进行节点的管理，且便于程序功能的扩展，LOD过程更快捷，减小计算量。
331	CN202411532058.0	利用谷氨酸发酵废液制备煤化工废水絮凝剂的方法、煤化工废水絮凝剂及其应用	C02F	2.5星	2025.12.26	本发明涉及生物发酵行业发酵废水技术领域，是一种利用谷氨酸发酵废液制备煤化工废水絮凝剂的方法，该方法包括以下步骤：对谷氨酸发酵废液进行提取和净化，得到发酵废液提取物；在发酵废液提取物中加入所需量的金属盐和氢氧化钠，得到反应混合物，研磨反应，反应产物除杂后，得到煤化工废水絮凝剂，其中，金属盐包括镁盐、钙盐、铜盐和三价铁盐。本发明对谷氨酸发酵废液的进行二次利用，实现了谷氨酸发酵废液中的有效物质的充分利用，制备得到的煤化工废水絮凝剂对煤化工废水达到了优异的处理效果，制备和处理过程均无毒无害，绿色无污染，实现了变废为宝、事半功倍的效果。
332	CN202411543694.3	一种基于非鱼眼数码相机的植被冠层结构的测量方法	G06V	2.5星	2025.12.09	本发明涉及一种基于非鱼眼数码相机的植被冠层结构的测量方法，包括以下步骤：⑴计算非鱼眼数码相机的视场及影像对应的实际长度和宽度；⑵进行拍摄取样，得到影像；⑶对影像的RGB色彩空间转换为LAB色彩空间；⑷对LAB色彩空间中A波段进行预处理，得到背景和植被的二值影像；⑸计算FVC、CC、孔隙率、太阳直接辐射和天空漫射辐射的FAPAR、一天中的平均太阳直接辐射的FAPAR、漫射辐射占总辐射比例，进而计算得到瞬时FAPAR；⑹计算每个像元方向的累计孔隙大小分布、垄行作物的植被宽度和垄间距离；⑺计算CI、略有误差的LAI和LAI_e，以及精确的LAI和LAI_e；⑻计算平均叶倾角。本发明人力成本低、无图像变形、适用性广泛。

新疆大学发明专利推荐目录

序号	申请号	专利名称	IPC分类号	DPI星级	授权公告日	摘要
333	CN202411521781.9	一种残茬田地小麦播种机	A01B	2.5星	2025.11.21	本发明涉及农业播种机械技术领域，具体公开了一种残茬田地小麦播种机，包括种子出料机构、气泵和输气管，种子出料机构的底侧设有若干个播种组件，播种组件包括三位五通电磁阀、种子输送管、气缸、单向轴承、套管，气缸带动齿条向一方向移动过程中单向轴承自由转动，气缸带动齿条向另一方向移动过程中单向轴承锁止，齿条通过齿轮、单向轴承、套管、支撑杆带动切割盘刀转动，所述切割盘刀的切割刃和开沟板对秸秆咬合切割，本残茬田地小麦播种机，降低秸秆和根茬对播种机播种的影响，使小麦种子播种均匀，保证小麦播种的质量和效率，对土壤表面扰动小，减少水土流失。
334	CN202411503533.1	一种基于改性活性炭纤维的树苗抗盐碱隔盐材料及其制备方法和应用	D06M	2.5星	2025.09.26	本发明提供了一种基于改性活性炭纤维的树苗抗盐碱隔盐材料及其制备方法和应用，制备方法包括以下步骤：先分别用酸改性溶液和碱改性溶液对活性炭纤维进行搅拌预处理反应，反应完成后使用去离子水洗涤活性炭纤维至洗液pH为中性，真空干燥备用，向经过预处理的活性炭纤维加入强氧化剂，至活性炭纤维完全浸没在反应溶液中，磁力搅拌反应，反应完成后使用去离子水洗涤活性炭纤维至洗液pH为中性，真空干燥后得到隔盐材料，隔盐材料应用在盐碱土壤或咸水灌溉环境下，提高树苗耐盐能力。本发明中的隔盐材料制备工艺简单，反应条件温和，易于控制，且产品质量稳定，适合大规模生产，具有较高的应用可行性。
335	CN202411480384.1	一种基于缺失数据插补的稀疏注意力大气碳浓度预测方法及系统	G06Q	2.5星	2025.07.25	本发明提供一种基于缺失数据插补的稀疏注意力大气碳浓度预测方法及系统，包括以下步骤：采集大气碳数据；其中，大气碳数据包括XCO2和XCH4两个气象变量；采用基于历史回填辅助数据的多重插值方法，对大气碳数据进行缺失数据插补，获得完整数据序列；对完整数据序列进行标准化以及异常值处理，获得大气碳数据集；基于大气碳数据集以及稀疏注意力机制大气碳浓度预测模型，进行大气浓度双模式多尺度预测，获得浓度预测结果。本发明技术方案能有效提高多元双碳数据时间序列预测的精确性。
336	CN202411467416.4	一种用于电化学提取溴的电吸附材料及其制备方法和应用	C02F	2.5星	2026.04.28	本发明提供一种用于电化学提取溴的电吸附材料及其制备方法和应用。所述电吸附材料包括溴氧化铋纳米片和负载于所述溴氧化铋纳米片表面的聚乙撑二氧噻吩，所述溴氧化铋纳米片与所述聚乙撑二氧噻吩的质量比为1~10：0.1~5。本发明提供的电吸附材料具有较大的吸附容量、良好的循环稳定性和优异的选择吸附性，所述电吸附材料针对溴离子含量低于100mg/L溶液中仍有吸附能力，适合应用于油田卤水中提取溴。

新疆大学发明专利推荐目录

序号	申请号	专利名称	IPC分类号	DPI星级	授权公告日	摘要
337	CN202411434690.1	一种用于辐射制冷的多功能超织物及其制备方法	B32B	2.5星	2025.11.11	本发明公开了一种用于辐射制冷的多功能超织物及其制备方法，所述织物包含面料层、粘结层和气凝胶层，所述面料层和气凝胶层通过粘结层复合，所述气凝胶层是具有三维立体管道状结构的二氧化钛气凝胶且在骨架上负载含磁性核壳颗粒的片状静电纺纤维膜，所述用于辐射制冷的多功能超织物具有高太阳反射率(0.90-0.98)和高红外发射率(0.90-0.97)，能够实现在正午太阳直射条件下达到比基材和环境温度更低的表面温度，具有出色的户外辐射制冷、阻燃及抗菌能力。
338	CN202411383444.8	一种基于双角度注意力融合的文档级关系抽取方法	G06F	2.5星	2025.11.14	本发明提供了一种基于双角度注意力融合的文档级关系抽取方法，该方法包括：通过窗口滑动的方式将文档划分为多个片段，并通过训练好的BERT模型得到片段中的实体表达和实体表达的表达向量；将表达向量进行分类组合，得到不同的实体向量；实体向量包括：头实体向量和尾实体向量；将头实体向量和尾实体向量进行拼接操作，得到实体对；计算实体对与实体对的关联性，得到第一特征；通过训练好的BERT模型得到实体对的上下文嵌入；计算实体对和上下文嵌入的关联性，得到第二特征；将第一特征和第二特征进行特征融合，得到抽取结果。该方法通过实体对和上下文信息的潜在关系保证了抽取结果的完整性，并提高了模型的性能。
339	CN202411333666.9	一种基于聚合令牌感知特征的单目标跟踪方法	G06T	2.5星	2025.10.17	本发明提供了一种基于聚合令牌感知特征的单目标跟踪方法，具体涉及视觉与图像处理技术领域。一种基于聚合令牌感知特征的单目标跟踪方法，方法包括如下步骤，步骤1：基于聚合令牌感知特征的单目标跟踪下，构建得到由ViT-B主干网络、聚合令牌感知特征模块、多尺度特征融合模块和定位头组成的整体模型；步骤2：初始化：给定数据集X包含N个视频序列，选定第一帧图像和目标的初始边界框位置，使用预训练ViT-B主干网络的目标检测模型或手工标注的边界框来初始化跟踪模型，特征提取与增强过程，通过聚合令牌感知特征模块获得模版重点信息，利用深度神经网络精确提取当前帧图像和目标区域的特征表示，将裁剪好的目标区域输入到特征提取网络中。
340	CN202411028235.1	一种新梅采摘分级机器人及采摘方法	A01D	2.5星	2026.04.03	本发明提供一种新梅采摘分级机器人，涉及水果采摘领域，包括底座支撑机构（10）、收集箱体、分级筛选机构、采摘机械臂（40）、末端执行机构（50）、收纳机构及视觉识别系统；收集箱体设置在底座支撑机构（10）的前端，包括好果收集槽（21）与坏果收集槽（22）；分级筛选机构与采摘机械臂（40）分别设置在底座支撑机构（10）的端面，且采摘机械臂（40）远离底座支撑机构（10）的一端设置末端执行机构（50），收纳机构设置在底座支撑机构（10）的端面；视觉识别系统包括一个定位双目相机（71）与两个识别双目相机（72）。该机器人能够实现新梅采摘过程中的自动采摘与分选，有效提升采摘效率、提高采摘精准度，避免错采、漏采等问题。

新疆大学发明专利推荐目录

序号	申请号	专利名称	IPC分类号	DPI星级	授权公告日	摘要
341	CN202410572527.5	一种套筒式番茄采摘末端执行器	A01D	2.5星	2026.01.06	本发明提供一种套筒式番茄采摘末端执行器，涉及农业采摘设备领域，末端执行器设置在采摘机器人上，采摘机器人包括移动平台（10）、采摘机械臂（30）、执行器本体（20）、输送管（40）、收纳槽（50）与中控系统，执行器本体（20）包括固定支架（21），信息采集机构（22），由内筒骨架（231）、转动支座（232）、凸块（233）与定位支架（234）组成的内筒组件，由拨动件（241）、第一销轴（242）、滚轮（243）、第二销轴（244）、弹性件（245）与柔性套（246）组成的夹持组件（24），由外筒骨架（251）、柔性垫圈（252）、滚轮导轨（253）、滑移导轨（254）与连接支架（255）组成的外筒组件以及驱动机构。该末端执行器采摘效率高、采摘稳定性好。
342	CN202410504003.2	用于低照度宽视场视频图像的显著变化检测方法及装置	G06T	2.5星	2026.08.28	本发明公开了一种用于低照度宽视场视频图像的显著变化检测方法及装置，方法包括：利用对数比算子和减法算子分别获取全局差异图并进行融合；利用频域注意力机制获取全局差异图的显著变化区域；结合形态学滤波、以及能量特征和密度特征进行噪声处理，并提取目标所在的局部变化区域对；利用对数比率算子提取局部变化区域对的差异特征，得到局部变化差异图；采用加权融合对局部变化差异图进行特征优化，得到局部特征融合图；利用k-means聚类算法对局部特征融合图进行分类生成对应的局部变化图，并将所有的局部变化图合成为全局变化图，得到最终的变化检测结果。装置包括：处理器和存储器。
343	CN202410507747.X	一种快速修复含铬废水的光催化材料制备方法	B01J	2.5星	2026.07.14	本发明涉及纳米材料合成和光催化还原污染物领域，公开了一种快速修复含铬废水的光催化材料制备方法，采用一步水热法将含氨基的碳源材料与氮源小分子混合，过滤、透析、冻干得到一类富氨基碳点；将所制备富氨基碳点与TiO2水浴超声，混合均匀后进行水热反应，离心、冻干获得氨基负载TiO2的复合材料，用于在光催化中还原六价铬。经富氨基碳点修饰的T iO2禁带宽度减小，光吸收范围扩大，所带正电荷量增加，与带负电六价铬之间的静电作用力增强,且将改性后的TiO2负载在水凝胶上，进一步提高了光催化剂与污染物的接触，使得反应快速进行。该类材料在光催化处理含铬废水中具有高效的光催化活性，为含铬废水处理应用提供了有价值的技术解决方案。
344	CN202410255525.3	一种基于优化的引导滤波图像融合变化检测方法及装置	G06T	2.5星	2026.06.26	本发明公开了一种基于优化的引导滤波图像融合变化检测方法及装置，方法包括：通过极值最小尺度差异算子、像素值差异值对同一场景不同时相的图片进行处理，获取差异图；采用导向滤波的方式，在全局尺度上对差异图进行融合，以获得最优化的差异图；对时相图I1和I2使用均值滤波器得出每一个差异图对应的基层差异图，通过pca融合得到优化后的亮度显著图F1和F2作为生成显著图的图像，根据最大显著性的原则来确定权重图；对权重图进行正则化用于双尺度差异图重建，获取最终差异图；在聚类分割阶段通过引入软阈值函数对最终差异图进一步处理，用于抑制存在的异常噪声。装置包括：处理器和存储器。

新疆大学发明专利推荐目录

序号	申请号	专利名称	IPC分类号	DPI星级	授权公告日	摘要
345	CN202410245975.4	基于张量降维和高斯尺度稀疏编码的视频去雪方法及装置	G06T	2.5星	2026.06.30	本发明公开了一种基于张量降维和高斯尺度稀疏编码的视频去雪方法及装置，方法包括：使用向量化运算法则将某一通道中的一帧尺寸的二维帧数据向量转化为有x个元素的列向量，将单一通道的三维视频流降维成一组二维数据；对降维后的三个通道的视频数据进行线性组合二维矩阵，采用交替优化近似最小化拉格朗日函数，进而得到处理后的视频；所有连续区域的面积构成一个集合，每一帧的阈值通过各区域的面积自适应调节；当阈值和连续区域的面积满足增广拉格朗日函数时，掩模图像中只保留运动前景；采用稀疏编码，对图像块进行提取，在图像块层面对图像进行恢复，考虑m个相似块的集合，基于GSM模型对相似块集合同时进行稀疏编码，进而对前景进行恢复。装置包括：处理器和存储器。
346	CN202410242157.9	一种用于光催化氧化苯乙烯双功能催化剂的制备和应用	B01J	2.5星	2026.07.21	本发明公开了一种用于异质结双功能光催化材料Cu-BTC-TiO2的制备及其在光催化苯乙烯氧化中的应用方法。在温和条件下将MOF材料Cu-BTC与半导体TiO2相复合得到双功能催化剂，该催化剂在氧气为氧源条件下成功实现了芳基乙烯的氧化，通过该方法合成了一系列芳香醛。该方法具有催化剂可循环使用、条件温和、可大规模合成等优点。本发明为芳基乙烯氧化制备芳香醛提供了一种高效、温和、绿色的新路径。
347	CN202410197198.0	具备水下吸重油能力的超亲水光热复合材料的制备方法	B01J	2.5星	2026.05.01	本发明涉及超亲水/超亲油材料技术领域，具体为一种具备水下吸重油能力的超亲水光热复合材料制备方法，先采用天然低聚氨基多糖与氨基硅烷偶联剂协同胺化原棉，基于原棉协同胺化体系，向其引入聚合活性单元、纳米级导热颗粒，经超支化聚合物成形方式固化混合液相，以“一锅法”完成具备水下吸重油能力的超亲水光热复合材料的构筑。本发明原料绿色环保，实验步骤简捷安全，所制备产品在空气氛围有优异的超亲水性、超亲油性，接触角为0°，于水下氛围具有超亲水性及优异的吸重油性能，且不同氛围下经循环利用仍具有稳定的超亲水性及吸油能力，结合其具有较好的光热性能，对粘性油相有良好的吸收分离能力，为实现更广阔的应用奠基。
348	CN202410191238.0	一种恰玛古提取物在制备防治阿尔兹海默病药物中的应用	A61K	2.5星	2026.02.10	本发明提供了一种恰玛古提取物在制备防治阿尔兹海默病药物中的应用，属于生物医药技术领域。本发明所述恰玛古提取物具有良好的抗阿尔兹海默病活性，在防治阿尔兹海默病药物中具有良好的应用前景。

新疆大学发明专利推荐目录

序号	申请号	专利名称	IPC分类号	DPI星级	授权公告日	摘要
349	CN202410189423.6	FDM打印控制方法、控制设备和控制系统	B29C	2.5星	2025.09.05	本发明公开了FDM打印控制方法、控制设备和控制系统，该方法包括：基于当前设备参数控制打印机构进行当前层打印操作，获取当前层图像；对所述当前层图像进行分析处理，获取所述当前层图像对应的当前层点云模型；基于所述当前层图像和所述当前层点云模型进行误差评估，获取误差评估结果；若所述误差评估结果为符合预设误差条件，则获取目标设备参数，将所述目标设备参数更新为当前设备参数，重复执行基于当前设备参数控制打印机构进行当前层打印操作，获取当前层图像；若所述误差评估结果为不符合预设误差条件，则停止进行打印操作。该FDM打印控制方法确保打印出的工件具有较高的精度，实现设备参数实时反映工件打印状态的目的。
350	CN202410136293.X	一种生物质酸碱双功能非均相催化剂的制备方法及应用	B01J	2.5星	2026.06.23	本发明涉及一种用于合成生物柴油的生物质酸碱双功能非均相催化剂及其制备方法，其原料来源广泛，成本低廉。使用杨树叶和蛋壳为催化剂原料，变废为宝。催化剂在催化羊油酯交换合成生物柴油过程中反应产率高。采用硫酸磺化的生物炭与蛋壳复合，使催化剂具有酸碱双性位，因而有良好的耐酸性。生物炭作为载体，使负载的活性组分不易脱落，且增大比表面积，增强催化剂的活性和反应稳定性。该方法能够缓解钙基非均相碱催化酯交换过程中活性位易浸出、重复使用性差、耐酸性弱等问题，对实际工业生产具有重要的现实意义。
351	CN202410014583.7	一种活化交联半焦基硬碳材料及其制备方法和应用	C01B	2.5星	2026.01.09	本发明属于硬碳材料以及钠离子电极材料技术领域，具体涉及一种活化交联半焦基硬碳材料及其制备方法和应用。本发明将半焦用无机强碱进行活化改性，所得活化半焦与交联剂进行化学交联反应，将所得活化交联半焦进行煅烧，得到活化交联半焦基硬碳材料。本发明采用改性碱氧化协同化学交联策略，通过构建C-O-C调控半焦基硬碳的微晶结构。以碱氧氧化法精准增加含氧官能团的种类，然后与交联剂发生化学交联反应成功构建C-O-C结构。此种前驱体经碳化后得到的硬碳材料含有丰富的伪石墨相和闭孔，有利于储钠容量和初始库伦效率的提升，同时化学交联策略还可以增加材料的碳收率。
352	CN202410007351.9	一种加氢转化催化剂及其制备方法和应用	B01J	2.5星	2026.01.06	本发明公开了一种加氢转化催化剂及其制备方法和应用，属于催化剂技术领域。该制备方法是将金属无机盐溶于水中形成溶液，用碱液调节所述溶液pH值为酸性，加入废油，搅拌下加热至80-120℃反应0.5-3h；静置分层，取上层有机相，加入萃取剂洗涤后旋蒸脱溶剂，干燥后得到所述催化剂。该催化剂用作煤/重劣质油加氢转化，催化活性高，成本低，分散性高，降低了工艺操作成本；催化剂的原料来源广泛、成本低廉；同时，解决了餐饮废油的利用问题，既减少了环境污染又能变废为宝，并且最大限度地实现餐饮废油的使用价值。

新疆大学发明专利推荐目录

序号	申请号	专利名称	IPC分类号	DPI星级	授权公告日	摘要
353	CN202311665603.9	一种酚的偶氮化的合成方法	C07C	2.5星	2026.04.03	本发明公开了一种无促进剂条件下芳基三氮烯的活化方法，在光、电、流动化学、超声、微波和机械化学的促进下生成芳基偶氮正离子，与酚实现偶氮化实现了一系列芳基偶氮取代酚。与已报道的酚类化合物偶氮化制备方法相比较，本发明避免了使用酸活化芳基三氮烯，使得芳基三氮烯在温和条件下活化反应，从而减少副产物的生成。本发明的优点包括：可见光促进芳基三氮烯活化，反应活性高，底物范围广；电化学、超声化学和微波法催化芳基三氮烯活化，反应效率高；流动化学法收率高，可大量制备；机械化学法，无需溶剂条件下实现，反应效率高，且可大量制备。
354	CN202311612523.7	一种跨模态哈希检索方法	G06F	2.5星	2026.06.26	本发明公开了一种跨模态哈希检索方法，涉及跨模态学习技术领域。包括以下步骤：1)、首先包含图像网络、文本网络、标签网络在内的跨模态特征学习网络，通过特征融合图注意力分类学习模块将每个三元组信息映射到高维汉明空间；2)、如上所述，使用SwinT-S(SwinT Small模型)模型来提取图像的语义特征；3)、采用图注意力特征融合注意力模块将获取到的图像语义特征和文本语义特征进行深度融合对齐；4)、使用深度文本特征提取网络优化文本哈希码的生成,生成更优质的文本哈希码。5)、使用线性层(Linear)和Tanh(t)函数将文本特征映射为本发明需要的哈希码长度。本发明的有益效果在于：能够有效地减少语义鸿沟问题，融合不同模态特征，提高跨模态哈希检索的性能。
355	CN202311552138.8	一种驼绒抗菌纱线制备方法及驼绒抗菌纱线	D02G	2.5星	2025.09.16	本申请公开了一种驼绒抗菌纱线制备方法及驼绒抗菌纱线。所述驼绒抗菌纱线制备方法包括：获取第一驼绒纤维束、第二驼绒纤维束以及第三驼绒纤维束的纤维混合比例；分别制作第一驼绒纤维束、第二驼绒纤维束以及第三驼绒纤维束；将制作完成的第一驼绒纤维束、第二驼绒纤维束以及第三驼绒纤维束混合均匀从而获取混合纤维；采用并条机使混合纤维内部纤维伸直平行；经过粗纱、细纱工艺得到驼绒抗菌纱线。通过本申请的驼绒抗菌纱线制备方法制备的驼绒抗菌纱线，采用三种不同色彩的纤维混合纺制，在保证抗菌效果的同时，柔和纱线中光敏剂引起的色彩过亮。
356	CN202311371328.X	一种电解铝大修渣废阴极炭制备电催化剂的方法	C25B	2.5星	2026.08.18	本发明公开了一种电解铝大修渣废阴极炭制备电催化剂的方法，将大修渣废阴极炭粉与共混盐掺混后进行热处理，利用共混盐脱去电解铝大修渣废阴极炭中部分灰分并且对其造孔，其次再进行一系列洗涤并且干燥后得到多孔碳电催化剂，所制备的介孔缺陷碳材料具有良好的电化学催化性能，其用作氧化还原反应电催化剂，对过氧化氢具有较高的选择性和活性。本发明的方法所制得的介孔碳材料可以应用于电化学合成化学品领域，实现了电解铝大修渣废阴极炭的无害化和资源化，显示出较大的绿色环保效益与应用前景。

新疆大学发明专利推荐目录

序号	申请号	专利名称	IPC分类号	DPI星级	授权公告日	摘要
357	CN202311290952.7	模拟积雪边坡变形破坏的试验装置及方法	G01N	2.5星	2025.09.09	本发明公开了模拟积雪边坡变形破坏的试验装置及方法，包括支撑架，所述支撑架的立柱之间设有横板，所述横板之间固定连接底板，所述支撑架顶部边框之间固定设有滑动杆，所述滑动杆上滑动连接滑块，所述滑块下方滚动连接滑轮，所述横板的一边通过铰链连接支撑杆，通过调节倾斜板与底板之间的倾斜角度，来模拟冻土边坡的坡度，可以实现不同坡度的实验，其次通过下剪切盒和上剪切盒之间的分离，来模拟积雪荷载对散粒体斜坡稳定性造成的影响，更直接的观测在分离过程中的散粒体颗粒和雪样的变化，可以在改变坡度、荷载和加载速率因素下，研究上层雪样发生剪切破坏的荷载大小及其破坏对下层土样的影响，解决了现有技术中研究装置缺乏的问题。
358	CN202311232885.3	双极性高低压复合脉冲电源	B23H	2.5星	2024.09.20	该发明涉及一种应用于特种加工领域的双极性高低压复合脉冲电源，旨在实现双极性电火花与电解复合的可控加工。该电源利用同极性的高幅值与低幅值脉冲电压匹配形成的高低幅值复合脉冲电压实现电火花加工，利用低幅值的正极性脉冲电压实现电解加工，将电火花加工与电解加工复合在一起。通过改变高幅值脉冲电压及低幅值脉冲电压的匹配比例、幅值大小，实现电火花与电解加工强度的可控调节；通过改变高低幅值复合正脉冲电压与负脉冲电压的比例，实现正极性与负极性电火花加工强度的可控调节。该电源充分发挥了电火花加工与电解加工的优势，以及电火花加工的极性效应，以实现加工效率、精度、表面质量等综合性能指标均衡、优异的加工效果。
359	CN202311192432.2	一种负载型单层二硫化钼加氢催化剂的制备方法	B01J	2.5星	2025.07.29	本发明公开了一种负载型单层二硫化钼加氢催化剂的制备方法，涉及二硫化钼催化剂的技术领域。在搅拌下将钼源和硫源溶解至300ml去离子水中，形成均匀溶液搅拌0.5h，加入载体，将溶液转移至水热釜中，在180-200℃下反应12-36h，离心，水洗涤三次，乙醇洗涤三次，真空干燥箱140-180℃下干燥2h，得到钼前驱体；将0.1g上述钼前驱体、0.1g硫单质、50ml溶剂加入高压反应釜中，乙醇洗涤三次，控制氢气初始压力为6-10Mpa，以5-10℃/min升温至350-450℃反应1-3h；对生成物离心，乙醇洗涤三次，真空干燥箱120℃干燥2h，得到负载型单层二硫化钼加氢催化剂。通过利用钼源、硫源、载体等合成钼前驱体，并在高温、氢气和单质硫存在条件下合成负载型单层且横向尺寸为5-9nm的二硫化钼。
360	CN202311144449.0	一种小型化双频段圆极化天线	H01Q	2.5星	2026.06.12	本发明提供了一种小型化双频段圆极化天线，包括：介质基板及覆盖层，所述覆盖层位于介质基板的顶部，所述介质基板的顶部印刷有辐射面，所述介质基板的底部印刷有地平面，所述辐射面及地平面之间通过短路探针及同轴馈点中心探针相连通，所述辐射面上设置有十字形矩形槽组及L形矩形槽组，所述辐射面为中心对称结构，所述地平面上设置有T形地平面矩形槽组。本发明提供的小型化双频段圆极化天线，结构简单，具有尺寸小、剖面低、低耦合、圆极化、双频段等优点。

新疆大学发明专利推荐目录

序号	申请号	专利名称	IPC分类号	DPI星级	授权公告日	摘要
361	CN202311145375.2	一种可再生能源可靠性置信容量评估方法及相关装置	G06F	2.5星	2026.08.04	一种可再生能源可靠性置信容量综合评估方法及相关装置，包括以下步骤：建立电力系统可靠性评估模型，得到电力系统可靠性指标；在电力系统可靠性指标的基础上，构建可再生能源可靠性置信容量评估模型；在可再生能源可靠性置信容量评估模型基础上，利用基于博弈论的AHP-EWM主客观赋权法建立可再生能源置信容量指标体系并计算权重，得到可靠性置信容量的最终结果。本发明所提方法具有较好的可行性、准确性，可为新型电力系统的规划运行提供决策支撑。
362	CN202311098571.9	一种一锅两步制备降龙涎醚的方法	C07D	2.5星	2026.03.31	本发明公开了一种合成降龙涎醚的方法，涉及日化与香料领域，本发明提供了一种以香紫苏内酯为原料采用一锅两步法制备降龙涎醚。整个反应过程采用同种溶剂，先在溶剂中加入催化稳定剂，再加入还原剂，最后加入香紫苏内酯，第一步反应结束后，用催化稳定剂作为第二步反应的试剂，紧接着加入酸类甲酯试剂进行第二步反应，整个反应过程连续且在同一反应器内进行，简化了操作步骤，提高了反应效率，降低了生产成本。
363	CN202311082067.X	一种耐溶剂高弹纳米纤维材料制备方法、制备物及应用	D01F	2.5星	2025.08.15	本申请公开了一种耐溶剂高弹纳米纤维材料制备方法、制备物及应用。所述耐溶剂高弹纳米纤维材料制备方法包括：以二异氰酸酯和多元醇制备端基为异氰酸酯基的预聚体；对预聚体加入溶剂、小分子二元醇和聚氨酯催化剂进行扩链得到端异氰酸酯基聚氨酯；在端异氰酸酯基聚氨酯内加入氨基烷氧基硅烷，得到线型端烷氧基硅烷基聚氨酯；将制备好的线型端烷氧基硅烷基聚氨酯加入氯铂酸的异丙醇溶液、二月桂酸二丁基锡以及余量溶剂，在密封条件下充分搅拌，配制静电纺丝液；采用水蒸汽辅助静电纺丝工艺，使静电纺丝液进行水解-缩聚反应制备成体型聚氨酯高聚物纳米纤维。本申请制备的纳米纤维材料克服了现有纳米纤维材料耐溶剂和高弹性不可兼得的问题。
364	CN202311082065.0	基于静电纺技术的准单层排布羽绒絮片制备方法及制备物	D04H	2.5星	2025.07.08	本申请公开了一种基于静电纺技术的准单层排布羽绒絮片制备方法及制备物。所述基于静电纺技术的准单层排布羽绒絮片制备方法包括：制备进行等离子体处理的羽绒；制备端烯丙基聚氨酯；根据端烯丙基聚氨酯及进行等离子体处理的羽绒制备上下层为纤维膜中间层为羽绒的复合结构的羽绒絮片；将羽绒絮片进行紫外灯照射，从而引发羽绒表面的巯基与纤维膜中的烯丙基发生巯基-烯点击反应，使其形成牢固的S-C共价键，最终得到共价键结合的复合结构的准单层排布羽绒絮片。通过本申请的基于静电纺技术的准单层排布羽绒絮片制备方法进行制备的准单层排布羽绒絮片能够实现准单层排布羽绒的高效保温效果不会应为羽绒堆积而损失。

新疆大学发明专利推荐目录

序号	申请号	专利名称	IPC分类号	DPI星级	授权公告日	摘要
365	CN202311015578.X	一种融合LDV和近红外光谱的在线检测装置	G01N	2.5星	2026.05.19	本发明属于无损检测技术领域，具体的说是一种融合LDV和近红外光谱的在线检测装置，适合各种大中小企业流水线及商户个人自用，包括检测组件和固定组件；所述检测组件包括多个检测模块；每个所述检测模块左侧壁均固连有导电插杆、右侧壁均开设有导电插槽；所述导电插杆端部和导电插槽底部均固连铜片；所述检测模块底部设置有激光测振仪的光学头及微型光谱仪的光源；本发明由企业或商户个人根据自身需求进行适量选择，更贴合使用环境，适用范围更强，且多个检测模块的单独组合，当单一检测模块损坏时，可直接进行替换，检修及维护成本低、时间短，可更快速的恢复流水线工作。
366	CN202310972139.1	一种基于多频重构的图异常检测方法和装置	G06N	2.5星	2025.10.24	本发明为一种基于多频重构的图异常检测方法和模型。一种基于多频重构的图异常检测方法，包括以下步骤：(1)对图进行采样，获得正采样和负采样；(2)将所述的正采样和负采样进行多频滤波处理；(3)采用对比学习的方法处理结构空间上的异常，采用低频重构的方法处理属性空间上的异常，结合后实现异常检测。本发明所述的一种基于多频重构的图异常检测方法和模型，基于目标节点构建多重滤波器、低频重构和对比学习，从而具有在高维节点特征的图数据上检测异常的能力，更强的检测性能和泛化能力。
367	CN202310951379.3	一种抗菌材料、纳米纤维材料及其制备和应用	A61L	2.5星	2026.02.06	本发明涉及生物医用材料技术领域，提供一种抗菌材料、纳米纤维材料及其制备和应用，该抗菌材料由沙枣提取物还原硝酸银得到，该纳米纤维材料是将沙枣提取物、硝酸银和聚合物溶于混合溶剂中得到纺丝液后进行静电纺丝，即得；所述混合溶剂为二甲基亚砜、N,N-二甲基甲酰胺和四氢呋喃，用于形成纺丝液的同时使沙枣提取物还原硝酸银；所述聚合物为可溶于N,N-二甲基甲酰胺的聚合物。本发明制得的纳米纤维材料的具有较好的亲水性、吸水率、抗氧化性及抑菌性，可用于伤口敷料，且该制备方法简单易行、成本低，环保无污染。
368	CN202310882039.X	考虑控制策略影响的风电场直流汇集系统DC/DC变换器可靠性评估方法及系统	G06F	2.5星	2026.07.31	本发明涉及一种风电场直流汇集系统DC/DC变换器可靠性评估方法及系统，包括以下步骤：步骤1、在考虑风电场直流汇集系统中DC/DC变换器控制策略和运行工况的基础上，提出DC/DC变换器器件级可靠性预测模型；步骤2、基于DC/DC变换器BFBIC子模块结构，提出DC/DC变换器子模块级可靠性模型；步骤3、根据DC/DC变换器混合式两级模块化结构，提出DC/DC变换器设备级可靠性模型；步骤4、比较并分析考虑和不考虑控制策略影响时，DC/DC变换器可靠性评估结果的差异及原因。本发明更适用于风电场直流汇集系统中DC/DC变换器可靠性评估，改善可靠性评估结果，可为风电场直流汇集系统可靠性评估提供数据支撑。

新疆大学发明专利推荐目录

序号	申请号	专利名称	IPC分类号	DPI星级	授权公告日	摘要
369	CN202310875062.6	车辆检修或故障排查处理方案的自定义生成方法、及存储介质	G06F	2.5星	2024.05.24	本发明公开了一种车辆检修或故障排查处理方案的自定义生成方法、及存储介质，方法包括：步骤S1：对检修/故障处理方案文件加密：对检修/故障处理方案文件中所有的数据节点定义其可编辑属性，文件编制完毕完成；对检修/故障处理方案文件中的二进制数据进行加密处理，形成加密文件；步骤S2：通过可视化软件编辑检修/故障处理方案文件；通过可视化软件首先加载加密文件，采用密文对称的解密算法对文件进行解析，通过UI界面展示解析结果；用户通过关键字查询需要修改的检修内容项点并编辑；步骤S3：显示检修/故障处理方案。该存储介质用来存储用来执行方法的计算机程序。本发明具有原理简单、操作简便、适用范围广、灵活性好等优点。
370	CN202310852408.0	α-羟基酰胺或3,3-二取代氧化吲哚类化合物的合成方法	C07C	2.5星	2026.02.17	本发明公开了一种绿色环保的可见光诱导的α,β-不饱合酰胺与芳基三氮烯在空气中无任何添加剂或助溶剂的条件下，实现双官能团化的反应，当改变条件以及当N上有保护基团后也可以实现环化反应。这一无金属反应具有高度化学选择性，并且合成相应的β-羟基化合物，以及竞争性的环化产物。该反应具有相当大的优势，包括有高度选择性、反应条件温和、清洁，不需要过渡金属催化剂，原子经济性高，官能团兼容性好。
371	CN202310846713.9	高温响应的环保凝胶堵剂及其制备方法	C08F	2.5星	2026.06.30	本发明涉及凝胶堵剂技术领域，是一种高温响应的环保凝胶堵剂及其制备方法，前者原料包括物理涂覆后的纳米纤维素晶体、单体丙烯酰胺和水，按下述方法得到：先将物理涂覆后的纳米纤维素晶体溶于水中，接着加入单体丙烯酰胺，溶解完全后通氮气，置于100℃至130℃下高温干燥后得到。本发明高温响应的环保凝胶堵剂的制备工艺简单高效，无需添加交联剂和引发剂，具有绿色环保和较好的经济性，通过改变原料配方达到成胶时间的可控，同时具备的优异的耐温耐盐性能够对高温油藏环境中的气窜现象达到有效封堵。
372	CN202310723249.4	一种用于提高油田采收率的CO2响应型油水界面自组装方法	B01D	2.5星	2025.08.22	本发明涉及一种用于提高油田CO2采收率的CO2响应型油水界面自组装方法，主要将制备好的胺基表面活性剂溶液加入羧基化纳米纤维素溶液中，制备成混合溶液，向混合溶液内注入二氧化碳气体，形成自组装层，实现油水分离。本发明利用二氧化碳响应实现油水界面自组装的可控性，从而实现了高效、可控、稳定的油水分离，并具有较强的应用前景。

新疆大学发明专利推荐目录

序号	申请号	专利名称	IPC分类号	DPI星级	授权公告日	摘要
373	CN202310497488.2	一种电力管廊巡检机器人	B25J	2.5星	2025.07.11	本发明涉及一种电力管廊巡检机器人，其包括沿电力管廊走向均匀设置的多个悬挂板、连接在相邻悬挂板之间的绳索以及设置在绳索上的行走机构，所述行走机构底部可升降的设置有机器人本体；所述行走机构包括U型的安装架，所述安装架的侧板上部可转动的设置有辊轴，所述辊轴内端沿其轴线方向开设有方形的插槽，所述插槽内插设有方形的插杆，所述插杆与插槽的槽底之间设置有拉簧一，所述辊轴内侧同轴固设有支撑轮，所述插杆自由端固设有上压线轮；所述安装架的侧板上在所述辊轴正下方固设有铰连座，所述铰连座上铰连有仅可上下摆动的连接杆，所述连接杆自由端可转动的设置有下压线轮，所述连接杆中部与侧板之间连接有拉簧二。
374	CN202310476431.4	一种预测火山岩裂缝发育程度的方法、系统、设备及介质	G01V	2.5星	2026.02.13	本发明公开一种预测火山岩裂缝发育程度的方法、系统、设备及介质，涉及火山岩油气藏勘探技术领域。该方法包括：确定目标区域的三维融合地震属性体；根据三维融合地震属性体和岩性划分准则，确定三维火山岩岩性数据体；根据三维火山岩岩性数据体和基于采样点的钻井鉴定结果和井点融合地震属性确定的统计关系曲线，确定由厚度因素预测的裂缝发育率数据体和由控区断裂预测的裂缝发育率数据体；对上述两种裂缝发育率数据体进行加权计算，得到最终的裂缝发育率数据体。本发明能够实现有效预测火山岩裂缝的裂缝发育率，为裂缝发育程度的定量评价提供支撑。
375	CN202310443496.9	一种分离油包水乳液PVC气凝胶的制备方法及其应用	C08J	2.5星	2024.01.26	本发明具体涉及一种分离油包水乳液PVC气凝胶的制备方法，采用气相沉积法制备PVC气凝胶，将制备的PVC气溶胶进行再环保应用。制备方法简单，无高温高压，无任何添加剂，实现PVC气凝胶的回收再生，形成了无污染、零排放、原料的闭环实验，实现了可持续发展和资源的有效利用。
376	CN202310374137.2	基于深度图卷积网络的滚动轴承复合故障智能诊断方法	G06F	2.5星	2025.04.18	本发明公开了一种基于深度图卷积的滚动轴承复合故障诊断方法，包括以下步骤：首先，采集轴承的振动信号，将其划分成子样本；其次，将由各子样本构成图样本；最后，利用深度图卷积(DGCN)模型提取图的特征，实现复合故障的快速分类。DGCN模型能够实现端对端的诊断模式，省去了传统诊断方法中复杂的特征工程。使用顶点和边构造的图可以为诊断模型的训练提供更多信息。实验结果表明，该方法在针对同一工况、不同工况和样本不平衡的滚动轴承复合故障方面具有很大优势。针对复合故障与单一故障样本间相关性高易造成分类错误的问题，本方法能有效避免单一故障与复合故障之间的错分类。

新疆大学发明专利推荐目录

序号	申请号	专利名称	IPC分类号	DPI星级	授权公告日	摘要
377	CN202310326132.2	一种基于持久性口音记忆的口音识别方法	G10L	2.5星	2025.10.03	本申请涉及语音识别领域，尤其涉及一种基于持久性口音记忆的口音识别方法。包括：构建包括自监督预训练模型WavLM的WavLM-编码器-解码器基础结构；获取英语口语训练集，输入所述英语口音训练集至WavLM-编码器-解码器基础结构，得到编码器输出和持久性口音记忆PAM；针对WavLM-编码器-解码器基础结构进行优化处理，得到WavLM-编码器-解码器优化结构；通过英语口语训练集进行训练，得到口音识别模型；输入待识别的音频至所述口音识别模型，获取口音识别结果。本申请可以通过自监督预训练模型WavLM提取英语口语训练集的表征SSLRs并且通过SSLRs代替传统的声学特征Fbank，系统性能获得显著的提升，所以可解决口音数据稀缺，在低资源场景下口音识别效果差的问题。
378	CN202310270044.5	一种基于GNN-transformer架构的单幅图像去雪方法	G06T	2.5星	2025.12.16	本发明公开了一种基于GNN-transformer架构的单幅图像去雪方法，属于计算机图像处理技术领域，首先将需去雪图像输入到GNN-transformer框架中，使用对比学习训练出的残差网络实现基于图像的图构建；其次，使用训练好的图卷积网络模型对带雪图进行特征提取，并引入注意力机制来定位雪花位置，聚合特征信息；最后将提取到雪花特征生成雪花注意力图，将其输入到生成对抗网络中进行去雪操作，最终输出去雪图像。本发明示例的一种基于GNN-transformer架构的单幅图像去雪方法，能够高效地通过图像中的雪花结构和纹理特征来识别雪的位置，并将其去除；学习图像细节特征的同时准确完成图像去雪任务，恢复被雪覆盖的图像，从而提高图像质量。
379	CN202310188650.2	基于深度学习的新能源电力状态估计方法及系统	G06Q	2.5星	2026.08.28	基于深度学习的新能源电力系统状态估计方法及系统，包括以下步骤：步骤1、提出基于改进DNN的新能源电力系统状态估计方法及系统；步骤2、对步骤1利用基于BILSTM预测RTU数据，再利用Spline插值生成伪量测，再与节点测量的PMU量测进行融合；步骤3、基于步骤2得到的融合数据集，提出基于相容量测的联合时空FC机制和BILSTM的数据辨识技术；步骤4、基于步骤3提出的数据辨识技术；通过对数据进行深层辨识，剔除其中的不良数据，保留波动数据，从而得到原始数据集；步骤5、根据步骤4得到原始数据集建立新能源电力系统状态估计模型。本发明在保留新能源量测数据原始特性的基础上，提升新能源电力系统状态估计的精度和速度，更适应于新型电力系统发展的需要。
380	CN202310178494.1	一种确定旱区流域的地下水动力场的方法	G06F	2.5星	2025.06.03	本发明涉及一种确定旱区流域的地下水动力场的方法，该方法包括：根据研究区域内的地质情况，建立多个剖面的水文地质概念模型；根据水文地质概念模型，将研究区域的地下水概化为非均质各向异性二维稳定流数学模型；基于非均质各向异性二维稳定流数学模型的模拟结果，确定多个剖面中每个剖面的流场分布图；基于每个剖面的流场分布图，确定地下水径流的速率；基于地下水径流的速率，建立地下水动力场，从而能够确定地表水循环和地下水转化关系，进而能够为干旱内陆盆地区水资源可持续开发利用和生态保护修复提供技术支撑。

新疆大学发明专利推荐目录

序号	申请号	专利名称	IPC分类号	DPI星级	授权公告日	摘要
381	CN202310060953.6	一种用于棉花检测的水分测量仪	G01N	2.5星	2026.07.24	本发明涉及水分测量仪技术领域，且公开了一种用于棉花检测的水分测量仪，包括检测块，所述检测块的底部固定连接有锥形头，检测块的顶部固定连接有操控杆，所述检测块的顶部固定连接有套绒钉，检测块包括外腔壁，检测块的内部活动连接有外阻隔环，外阻隔环和检测块之间设置有第一伸缩杆，所述检测块的内部固定连接有第二伸缩杆，第二伸缩杆的顶部固定连接有推压板；通过检测块的顶部套绒钉穿插入棉花的内部，利用套绒钉带动其内部的棉花旋转与外部棉花分离，通过顶压杆配合外阻隔环构建待检测空间，待检测空间内部为套绒钉分离的取样棉花，便于对棉花进行深层取样分离，便于进行深层棉花的检测，同时整体操作简单，有效提高装置的使用效果。
382	CN202310039716.1	一种基于线性核驱动模型的生物结皮覆盖度反演方法	G06F	2.5星	2025.06.03	本发明提供了一种基于线性核驱动模型的生物结皮覆盖度反演方法，首先，构建基于辐射传输原理的生物结皮指数FCCI，FCCI用来提取生物结皮区域，引入比尔定律构建多角度联合方程以及相应的解算方法，估计GI模型中的FCCImax和FCCImin。最后，在GI模型的基础上完成生物结皮覆盖度FCC的计算。有益效果是：本发明构建出基于辐射传输原理的生物结皮指数，来弥补基于光谱线性组合的指数方法缺少考虑物理机制的不足；引入线性核驱动模型，提出一个多角度指数的解算方法，将基于多角度的像元二分法扩展到高空间分辨率遥感影像中，实现高空间分辨率生物结皮覆盖度反演；采用棋盘分割与蒙特卡罗算法相结合的方法，来提高大区域生物结皮覆盖度反演算法的计算效率。
383	CN202310020642.7	一种裂隙发育区及含水炮孔的装药装置及爆破方法	F42D	2.5星	2024.10.15	本发明公开了一种裂隙发育区及含水炮孔的装药装置及爆破方法，装药装置包括注水管、套筒、超强吸水剂和矿用装药袋，套筒为两端开口的套管，矿用装药袋活动套设于套筒内，套筒活动插接于炮孔内，注水管的一端设置于套筒与炮孔之间的间隙中、另一端连通水源，套筒与炮孔之间的间隙内填充有超强吸水剂，矿用装药袋内填充有炸药。本发明将超强吸水剂应用到节理、裂隙发育区及含水炮孔中，结合套筒、矿用装药袋进行装药爆破，在节理、裂隙发育炮孔运用超强吸水剂与炮孔内的注入水结合，可以实现裂隙炮孔的封堵，达到防止炸药流失及炸药能量泄露的目的；在含水炮孔中加入超强吸水剂，可达到含水炮孔装入粉状炸药爆破的目的，大大降低炸药单耗。
384	CN202310005042.3	一种巷道约束支护结构及其施工方法	E21D	2.5星	2025.03.25	本发明公开一种本发明提供一种巷道约束支护结构及其施工方法，涉及巷道支护技术领域，包括：支撑板，支撑板一侧粘贴有FRP条带；波形板，波形板位于支撑板的另一侧，且波形板与支撑板平行、间隔设置；框体，框体呈长方形，框体包括四个首尾依次连接的侧板，框体上设置有充填口；多个直管，直管穿过支撑板和波形板上的预留孔，且直管分别与支撑板、波形板固连；直管用于穿过锚杆或锚索；泡沫混凝土，泡沫混凝土通过充填口填充在框体围成的空间内；支撑板和波形板都设置在框体内且分别与框体连接；波形板的长度方向与巷道的长度方向垂直。本发明能够避免巷道的顶板和两帮出现起伏现象。

新疆大学发明专利推荐目录

序号	申请号	专利名称	IPC分类号	DPI星级	授权公告日	摘要
385	CN202310005028.3	一种可控让压变形的支护结构及其施工方法	E21D	2.5星	2025.03.25	本发明公开一种可控让压变形的支护结构及其施工方法，涉及巷道支护技术领域，包括连接部件和至少两个支护部件，连接部件用于连接相邻的两个支护部件，支护部件包括分隔板、第一蜂窝结构、第二蜂窝结构、FRP外壳、多个安装孔和多个管体，第一蜂窝结构中充填有高水材料，第一蜂窝结构的刚度与第二蜂窝结构的刚度不同，在巷道顶板/两帮发生变形时不会一次性破坏，起到持续支护的作用，在巷道顶板/两帮发生大变形时能够起到释放能量的作用；第一蜂窝结构和第二蜂窝结构分别设置于分隔板的两侧，FRP外壳包裹于第一蜂窝结构和第二蜂窝结构的外部，支护部件体积小，便于井下运输及施工，可有效减小井下作业空间小以及设备调度困难的影响。
386	CN202211705784.9	基于树形拓扑网络的拜占庭容错方法、装置及存储介质	H04L	2.5星	2026.03.27	本发明为基于树形拓扑网络的拜占庭容错方法、装置及存储介质。一种基于树形拓扑网络的拜占庭容错方法，包括以下步骤：(1)基于树形拓扑网络结构将共识节点划分为独立的若干小组；(2)引入反馈机制来对节点的行为进行监督和反馈；(3)对所述的反馈机制中反馈域失效概率进行概率分析；(4)计算通信复杂度。本发明所述的基于树形拓扑网络的拜占庭容错方法、装置及存储介质，既能提升节点可扩展性和容错性能，同时又能降低网络通信复杂度。
387	CN202211608570.X	一种普通话单音节字词发音错误检测方法及其系统	G10L	2.5星	2026.05.15	本发明涉及一种普通话单音节字词发音错误检测方法及其系统。其中，该普通话单音节字词发音错误检测方法包括，基于不同地方口音混合的普通话语音数据训练得到标准语音识别模型；获得待测音频数据，基于待测音频数据与标准语音识别模型获得GOP特征数据与音频对应的参考文本数据；其中，参考文本数据包括内容数据和位置数据；融合GOP特征数据与音频对应的参考文本数据，基于GOP特征数据以及融合后的数据，通过Conformer-MB模型输出音素方面、声调方面、字词方面的发音错误概率；基于设定阈值，得到发音正确或错误的检测结果；该普通话单音节字词发音错误检测方法及其系统，可以进一步提升普通话不同方面的发音检错效果。
388	CN202211554702.5	一种犁体曲面及其断裂过程的有限元模型及其构建方法	G06F	2.5星	2026.06.12	本发明属于计算机模型技术领域，公开了一种犁体曲面及其断裂过程的有限元模型及其构建方法，包括采用有限元网格对犁铧建模，犁体表面的硬质层由壳单元描述，而内部软质层用实体单元描述；采用离散元描述土壤和砂石，进行土壤建模和砂石建模；通过土壤离散元和犁体有限单元间的相互作用计算接触力，由接触力结合通用的Archard磨损模型计算磨损量；采用固有聚合模型描述犁体软质层和硬质层的破坏。本发明根据犁铧在犁耕过程中，犁体曲面的磨损和断裂的特点，提出一种描述铧犁耕过程从磨损直至断裂失效的有限元模型，对我国仿真技术和农机具制造业的发展都具有现实意义。

新疆大学发明专利推荐目录

序号	申请号	专利名称	IPC分类号	DPI星级	授权公告日	摘要
389	CN202211534117.9	聚乙烯亚胺硝基苯基硫脲探针、制备方法及其在识别阴离子中的应用	C08G	2.5星	2024.06.04	聚乙烯亚胺硝基苯基硫脲探针、制备方法及其在识别阴离子中的应用本发明涉及探针技术领域，公开了聚乙烯亚胺硝基苯基硫脲探针、制备方法及其在识别阴离子中的应用，所述聚乙烯亚胺硝基苯基硫脲探针制备的方法步骤如下：S1：将除水后的聚乙烯亚胺原料置于容器中，加入无水有机溶剂，磁力搅拌下至聚乙烯亚胺全部溶解，记为溶液A；S2：将4-硝基苯基异硫氰酸酯溶于无水有机溶剂中，记为溶液B；S3：将所述S2中的溶液B滴加到所述S1中的溶液A混合反应，反应停止后，旋转蒸发除去溶剂有机溶剂。然后用水将产物重新溶解，用一次蒸馏水透析除去未反应的杂质，冷冻干燥得到纯聚乙烯亚胺硝基硫脲探针。本发明制得的聚乙烯亚胺硝基苯基硫脲探针对醋酸根负离子、氟离子、硫酸根负离子具有很好的识别效果。
390	CN202211518183.7	一种多孔硅微腔生物传感器及其制备方法、赤霉素的荧光图像检测方法	G01N	2.5星	2026.06.12	本发明为一种多孔硅微腔生物传感器及其制备方法、赤霉素的荧光图像检测方法。一种多孔硅微腔生物传感器的制备方法，包括以下步骤：(1)采用电化学蚀刻法将p型掺硼单晶硅制备成多孔硅微腔；(2)对所述的多孔硅微腔进行功能化处理，使其中心波长蓝移至625nm后，得处理后的多孔硅微腔，即所述的多孔硅微腔生物传感器。本发明所述的一种多孔硅微腔生物传感器及其制备方法、赤霉素的荧光图像检测方法，通过采用多孔硅微腔并对其改性，用于赤霉素的荧光图像检测，具有成本低、灵敏度高的优点。
391	CN202211474991.8	基于多变量模糊逻辑控制的风储联合系统一次调频方法	H02J	2.5星	2026.07.03	本发明提供了一种基于多变量模糊逻辑控制的风储联合系统一次调频方法，包括：建立风储联合系统模型，进行风速区域划分，建立多变量模糊逻辑控制方法。本发明提供的基于多变量模糊逻辑控制的风储联合系统一次调频方法，能够实现对风电和储能参与一次调频的功率分配，能够充分发挥DFIG和储能的调频优势，提高了高风电渗透率电力系统的频率稳定。
392	CN202211450422.X	一种防止粉状炸药孔内装药时返粉的方法	F42D	2.5星	2026.07.14	本发明涉及一种防止粉状炸药孔内装药时返粉的方法，首先截取一段PVC管作为装药端头；然后在该PVC管轴向方向同一位置的内外管壁上各安装一圈可以上下转动的硬塑料叶片，且将径向方向同一位置的内外两叶片通过一根贯穿PVC管管壁的弧形金属杆连接；最后将安装了硬塑料叶片的PVC管与粉状炸药输送管连接，插入岩体钻孔底部，在向岩体钻孔内压注粉状炸药的同时逐渐退出装药管。在上述装药过程中，压注装药压力会使设置在PVC管内侧的叶片向上翻转，同时通过弧形金属杆带动PVC管外侧的叶片向下翻转展开，封闭装药管和岩体钻孔孔壁间的缝隙，降低粉状炸药装药过程中的返粉，提高粉状炸药的装药利用率，改善装药现场环境，提高岩体爆破效果。

新疆大学发明专利推荐目录

序号	申请号	专利名称	IPC分类号	DPI星级	授权公告日	摘要
393	CN202211447181.3	计及循环寿命和运营策略的风电汇集区储能优化配置方法	H02J	2.5星	2026.06.26	本发明提供了一种计及循环寿命和运营策略的风电汇集区储能优化配置方法，包括：获取基于市场电价的原始场景，并利用同步回代消除法对其进行消减，得到基于市场电价的典型运营场景，建立储能循环寿命测算模型，获取储能日历寿命及储能日累积循环次数，建立储能电站运营配置协同优化双层模型，其中，外层模型为储能容量优化配置模型，内层模型为储能优化运营策略模型，利用改进麻雀搜索算法，根据储能电站运营配置协同优化双层模型求解出考虑系统调频需求的储能容量配置结果。本发明提供的计及循环寿命和运营策略的风电汇集区储能优化配置方法，能够合理规划储能容量，延长了储能使用寿命，提升了储能运营经济性，有助于缩短投资回收期。
394	CN202211394627.0	玉米穗茎兼收收获机行走系统齿轮箱故障预识别方法	G06F	2.5星	2025.04.22	本发明公开了玉米穗茎兼收收获机行走系统齿轮箱故障预识别方法，包括用于某型号玉米穗茎兼收收获机使用的信息收集模块、信息处理模块和故障预识别模块，所述信息收集模块通过导线与信息处理模块电连接，所述信息处理模块通过导线与故障预识别模块电连接；所述信息收集模块将收集到车辆数据进行数据处理后存储入数据库，并对数据库进行管理；本发明在不增加玉米穗茎兼收收获机硬件的前提下，仅利用现有固件，通过本方法对历史数据和实时数据进行处理，完成收获机行走系统齿轮箱故障的预识别，故障识别率可以达到75%，在现有阶段，降低了农机智能化的实施成本，提高了农机生产效率。
395	CN202211369785.0	一种具有室温大塑性的Ni基块体非晶合金及其制备方法	C22C	2.5星	2025.04.04	本发明涉及一种具有室温大塑性的Ni基块体非晶合金及其制备方法，其结构式为Ni76-xCoxNb4P16B4(x=5,10,15和20at.%)，其中x表示Co元素在合金中所占的原子百分比。本发明采用Fluxing和J-quenching技术制备出非晶合金棒，当x=5at.%时，具有27%的室温压缩塑性，屈服强度为2596MPa，断裂强度为3559MPa。本发明的Ni基块体非晶合金具有优异的塑性变形能力，同时还能通过加工硬化达到较高的强度。因此，该Ni基块体非晶合金在作为结构材料的应用领域上具有潜在的价值。
396	CN202211296457.2	基于区块链系统的虚拟电厂优化调度方法及相关装置	G06Q	2.5星	2026.03.20	基于区块链系统的虚拟电厂优化调度方法及相关装置，包括以下步骤：步骤1、提出基于区块链的分布式粒子群优化算法；步骤2、对步骤1基于区块链的分布式粒子群优化算法在运行时验证区块的过程中所使用的共识算法进行改进，提出优化计算工作量证明共识算法；步骤3、基于步骤1、2提出的算法对区块链系统进行改进，提出优化计算型区块链系统，以匹配虚拟电厂的结构和运行要求；步骤4、基于步骤3提出的优化计算型区块链系统OCB建立OCB-VPP模型；步骤5、根据步骤4提出的OCB-VPP模型特点建立调度策略。本发明可以有效提高VPP调度效率和信息安全水平，降低VPP运行成本、提高可再生能源消纳水平、减少二氧化碳排放。

新疆大学发明专利推荐目录

序号	申请号	专利名称	IPC分类号	DPI星级	授权公告日	摘要
397	CN202211297260.0	一种陆上风电直流汇集系统拓扑结构优化方法及相关装置	H02J	2.5星	2025.07.29	一种陆上风电直流汇集系统拓扑结构优化方法及相关装置，包括基于风机串并联型风电直流汇集系统拓扑结构，将风机进行分组；基于分组输入已知条件：风电直流汇集系统内电缆、风机、DC/DC设备的故障率、故障修复时间和成本数据；根据约束条件，获得风机再次分组的方案；评估不同风机分组方案下风电直流汇集系统的可靠性，得到系统可靠性指标EENS；基于系统可靠性指标EENS，运用无网格光线寻优算法优选出全生命周期成本最低的风电直流汇集系统风机分组方案。本发明将风电汇集系统的可靠性用缺电损失成本量化，统筹考虑系统的可靠性及经济性，优选出总成本最低的风机分组方案，可为风电直流汇集系统的结构和优化提供参考。
398	CN202211218643.4	一种虚拟毛笔字及国画临摹体验设备	G09B	2.5星	2025.04.01	本发明公开了一种虚拟毛笔字及国画临摹体验设备，包括两个支撑板，两个支撑板的内壁之间固定安装有支撑架，支撑架底端的四个边角处均固定安装有支座，支撑架的背面穿插连接有两个直板，两个直板的顶端固定安装有显示屏，支撑块的正面螺纹连接有螺纹杆，螺纹杆的一端转动连接有摇杆，本发明一种虚拟毛笔字及国画临摹体验设备，通过设置了挡光板、转辊、折叠扇叶、延展架和固定钩，转动摇杆，即可带动螺纹杆转动，从而将带动套设在其一端部的第一遮光架转动，增加了光线强度，向外拉动挡光板，将卡钩卡扣到固定钩的内部，挡光板对延展架的顶部进行覆盖，解决了操作屏表面出现反光而造成光线不明，影响临摹的问题。
399	CN202211113518.7	一种高效低压微弧加工专用电源及控制方法	B23K	2.5星	2025.03.28	本发明公开了一种高效低压微弧加工专用电源及控制方法，包括直流供电模块、高压引弧模块、低压加工模块、放电间隙、变极性续流模块和控制与反馈模块，所述高压引弧模块与低压加工模块的输入端并联与直流供电模块相连接，所述高压引弧模块与低压加工模块的输出端并联与放电间隙和变极性续流模块相连接，所述高压引弧模块与低压加工模块的输出电压方向在同一加工周期内相同，所述控制与反馈模块分别与高压引弧模块、低压加工模块电连接、变极性续流模块和放电间隙相连接。本发明所述的高效低压微弧加工专用电源及控制方法解决了加工精度问题，适用于精加工，提高表面加工质量。
400	CN202210795479.7	一种基于大数据的物流系统流行性传染病防疫优化方法	G16H	2.5星	2026.08.18	本发明涉及一种基于大数据的物流系统流行性传染病防疫优化方法，包括数据采集、数据匹配、数据评价确认风险等级、并根据确认的风险等级确定抽检比例和消杀等级、在评估消杀效果后张贴检疫证明终端。本发明所提供的防疫优化方法采用“随机森林+KNN+专家打分法”组合模型对风险预测，结合大数据对物流系统流行性传染病风险等级快速评估，提高入境物流系统的检验检疫工作速度，设计物流系统检验检疫与消杀效果认证标志及互认标准，提供物流系统及五要素检验检疫消杀安全等级证明，使入境物流系统免于重复检验检疫与消杀或过度消杀，科学精准提高对物流系统检疫效率、降低服务成本、提高入境便利化与优化服务双循环的营商环境。

新疆大学发明专利推荐目录

序号	申请号	专利名称	IPC分类号	DPI星级	授权公告日	摘要
401	CN202210602841.4	一种基于数据回归的电力系统等效惯性常数识别方法	H02J	2.5星	2025.02.14	本发明公开了一种基于数据回归的电力系统等效惯性常数识别方法，即最小二乘法(LeastSquareMethod,LSM)，属于电力系统技术领域。本发明包括同步机等效惯性常数识别和虚拟惯量识别；转动惯量是同步发电机SG的一种固有属性，它通过转子存储动能，SG自然地利用这种动能来补偿功率的不平衡，如公式所示：其中ωSG是同步电机的角频率，pm,SG和pe,SG是机械功率和电磁功率；pD,SG是由于阻尼效应引起的有功功率变化。本发明通过各个部分的配合，能够在不同操作条件下对转动惯量和虚拟惯量识别方面做到具有良好的精度，并可用于量化时变自适应惯性的惯量支持效应。
402	CN202210516070.7	一种数控短电弧加工监测装置及其监测方法	B23K	2.5星	2024.05.07	本发明公开了一种数控短电弧加工监测装置及其监测方法，涉及短电弧加工技术领域，包括底座、以及固定连接在底座表面的竖板；所述竖板一端对称固定连接有第一连接板、第二连接板，所述第一连接板、第二连接板之间通过调节机构连接有高温热成像仪，热成像仪配制CCD模块；所述底座表面固定连接有与高温热成像仪正相对的透明挡板；所述底座表面设置有清理机构；所述竖板远离第一连接板、第二连接板的一端固定连接有放置板，所述放置板表面安装有显示器，所述显示器前端表面安装有显示屏；所述显示器前端表面设置有对比机构；本发明在对工件熔池的大小进行判断时更加的精准，从而避免最终熔池大小与实际需要存在误差，影响加工的效率。
403	CN202210511483.6	坎帕尼亚盐单胞菌在含铀废水处理中的应用	C12N	2.5星	2023.08.11	本发明公开一种坎帕尼亚盐单胞菌(Halomonascampaniensis)在含铀废水处理中的应用，通过寡营养和富营养培养方法，获得坎帕尼亚盐单胞菌(Halomonascampaniensis)培养液，以铀矿含铀废水为研究对象，证实坎帕尼亚盐单胞菌(Halomonascampaniensis)在含铀废水处理中的应用具有显著的吸附重金属铀的能力，当培养温度为30℃、转速180r/min摇床中培养12h后制得的种子培养液，菌体浓度在100mg/L-500mg/L之间时，菌体的吸附能力为368.19(±17.44)-982.59(±97.13)mgU/g(菌干重)，在U(Ⅵ)浓度为100mg/L时，U(Ⅵ)的去除率最高达到了93(±1)%。利用该菌株坎帕尼亚盐单胞菌(Halomonascampaniensis)处理含铀废水进行脱除重金属铀，对于微生物菌种在含铀废水处理技术领域具有广泛的应用价值。
404	CN202210324511.3	一种铝合金薄壁锥管与薄板超低温塑性连接方法及装置	B21D	2.5星	2025.04.18	本发明提供了一种铝合金薄壁锥形管与薄板超低温塑性连接方法及装置，属于轻合金管板连接技术领域。针对铝合金薄壁锥形管与薄板高效连接的难题，将锥形管和预制薄板用分半式压边圈夹紧定位；借助铝合金超低温变形增强增塑的特性，在保温槽中填充超低温介质，对锥形管与薄板同时进行深冷处理；利用扩口凸模在超低温环境中对锥形管根部进行扩孔，将管料从薄板中心孔中挤出；通过旋转的挤料板将余料压入薄板下表面中心孔附近的环形凹槽中，实现铝合金薄壁锥形管与薄板的高效连接。本发明将薄壁锥形管的扩孔与锥管塑性连接工艺“合二为一”，具有高效快捷、绿色环保、工艺集成度高、塑性接头质量好等优点。

新疆大学发明专利推荐目录

序号	申请号	专利名称	IPC分类号	DPI星级	授权公告日	摘要
405	CN202210314862.6	一种含氮杂芳烃的硒类化合物及其合成工艺	C07D	2.5星	2025.11.25	本发明公开一种含氮杂芳烃的硒类化合物及其合成工艺，所述化合物的结构式如式(1)所示：式(1)中，取代基R包括：氢、卤素、甲基、羧基、苯基中至少一种。所述含氮杂芳烃的硒类化合物的合成工艺为：在电化学条件下，以糖精、二苯基二硒醚、芳基烯烃类化合物为原料，反应生成所述含氮杂芳烃的硒类化合物。相对于传统的方法，本发明提出了一种高效、环保、易放大的含氮杂芳烃的硒类化合物的合成方法，其以糖精、二苯基二硒醚和芳基烯烃类化合物在电化学条件下，经烯烃的双官能团化反应而来，得到的含氮杂芳烃的硒类化合物的官能团兼容性好。
406	CN202210199727.1	一种忆阻禁忌学习神经元共存放电行为的分析方法及装置	G06N	2.5星	2026.03.31	本申请公开一种忆阻禁忌学习神经元共存放电行为的分析方法及装置，所述方法包括：忆阻器的选择与验证；忆阻禁忌学习神经元建模；交流平衡态分析；确定放电行为的参数域；共存放电行为的检测；共存放电行为的验证。与现有技术相比本发明所提供的放电行为检测方法准确度高，较为全面，并且有效捕捉共存放电活动。
407	CN202210157517.6	一种可自动清洁的多波形开关电源的防尘装置	B01D	2.5星	2023.01.31	本发明提供一种可自动清洁的多波形开关电源的防尘装置，属于开关电源装置技术领域。包括主柜组件、折叠门总成、除尘散热总成、清洁总成、吸污总成，主柜体的前侧设有可自动开闭的折叠门总成，除尘散热总成中的除尘滤芯横向的滑设在主柜体的内腔中，且除尘滤芯与折叠门总成中的折叠扇传动连接，清洁总成中的清洁柜体连接在主柜体的左侧，在折叠扇处于开启状态时，除尘滤芯刚好位于主柜体内，在折叠扇处于关闭状态时，除尘滤芯可联动至清洁柜体内；通过设置在清洁柜体内部清洁滚刷可对使用过的除尘滤芯进行清洁，且清洁过程不会对位于主柜体内部的开关电源造成污染，同时清洁总成中还连接有吸污总成，可将清洁过程产生的灰尘进行收集，不会污染外部环境。
408	CN202210098398.1	一种用于清洁水体的纳米二氧化钛材料的制备方法	C01G	2.5星	2023.11.10	本发明涉及一种用于清洁水体的纳米二氧化钛材料的制备方法，步骤S1第一氮气经第一管道进入汽化器与四氯化钛混合形成第一混合物，通过第二管道内管传输的第二氮气将其输送至第一反应器；步骤S2预热后的氧气经第二管道外管进入第一反应器，同时第三氮气经第三管道注入第一反应器对反应过程进行降温，形成纳米二氧化钛；步骤S3活性炭通过第一进料口注入第二反应器；步骤S4生成的纳米二氧化钛经第二进料口注入第二反应器，与活性炭搅拌形成第二混合物；步骤S5第二混合物经过滤后，进行干燥，焙烧形成负载型纳米二氧化钛；步骤S6重复步骤S4-S5，直至产出合格的负载型纳米二氧化钛。本发明通过中控单元控制各部件产出合格的纳米二氧化钛。

新疆大学发明专利推荐目录

序号	申请号	专利名称	IPC分类号	DPI星级	授权公告日	摘要
409	CN202111553582.2	一种合成钙钛矿型碱土金属钛酸盐的低温固相方法	C01G	2.5星	2023.08.22	本发明的目的在于提供一种低温固相前驱体法合成系列钙钛矿型碱土金属钛酸盐的制备方法，以固相前驱体法为基础，通过室温固相化学反应先得到前驱体，进一步在空气气氛、合适的煅烧温度下制备系列碱土金属钛酸盐，如：纳米片状CaTiO3、纳米颗粒状SrTiO3、纳米立方体BaTiO3。该制备方法采用廉价易得的原料，制备方法简单，安全系数高，环境友好，易于实现大批量生产等特点都使本发明具有极为广阔的应用前景。
410	CN202111000482.7	一种FRP约束砂基胶凝材料柱构筑巷旁支护体的方法	E21D	2.5星	2023.09.01	本发明涉及一种FRP约束砂基胶凝材料柱构筑巷旁支护体的方法。该方法首先将由高含水量胶凝材料、水和沙漠砂按比例混合成的砂基胶凝材料泵送至待充填FRP约束砂基胶凝材料柱，待充填模袋充分接顶后，使用UHMWPE带加固FRP约束砂基胶凝材料柱上部，沿FRP约束砂基胶凝材料柱采空区侧构筑防漏风墙，巷道侧喷50mm混凝土，随后回撤后方单体液压支柱，按照该构筑巷旁支护体顺序一直回采到区段边界。该方法充分利用纤维复合材料提供的约束，可保证砂基胶凝材料的承载能力和轴向变形能力与留巷围岩变形相适应，有效降低沿空留巷巷旁支护体的构筑成本，降低水资源消耗，实现沙漠或戈壁矿区无煤柱连续开采。
411	CN202110981752.0	一种页岩油开发实验装置	E21B	2.5星	2023.05.26	本发明涉及页岩油开发技术领域，具体的说是一种页岩油开发实验装置，包括安置架，所述安置架上安置有处理机构和出油机构，所述处理机构内设有取样加料机构，所述出油机构上设有储料机构，所述储料机构内设有实验机构，所述安置架上固定有支撑机构；将处理机构设于安置架上，通过相应的多级破碎组件，从而令油页岩破碎的更加充分，使得得以保证后续的产油率；将加料机构设于处理机构上，通过相应的弹簧卡杆组件以及取料抽样组件，从而方便在使用时能够随时获取研究样本；将储料机构设于出油机构上，通过相应的存储组件以及传动组件，配合实验机构，从而方便直接投放各种不同的催化剂，使得在热解出油过程中方便研究不同催化剂对出油的影响。
412	CN202110699891.4	一种用于中低温煤焦油沥青生产橡胶油的催化剂制备方法	B01J	2.5星	2026.03.24	本发明公开了一种用于中低温煤焦油沥青生产橡胶油的催化剂制备方法，该方法包括以下步骤：一、将活性金属前驱体、氧化铝前驱体、分子筛和玛瑙球按化学计量比加入球磨罐内，球磨1小时，得到粘稠混合物；二、将步骤一得到的粘稠混合物置于110℃的烘箱中干燥6小时后，550℃下焙烧4小时，得到氧化态催化剂；三、将步骤二得到氧化态催化剂置于硫化剂中浸渍12小时后，90℃干燥3小时，得到预硫化物；将步骤三中得到的预硫化物置于高压釜进行活化处理，得到用于中低温煤焦油沥青制备橡胶油的催化剂。本方法通过一次加料完成载体复合和活性金属负载，无预硫废液。该催化剂活性高、孔道可控和酸性可调，在中低温煤沥青加氢方面具有较好的应用前景。

新疆大学发明专利推荐目录

序号	申请号	专利名称	IPC分类号	DPI星级	授权公告日	摘要
413	CN202110569305.4	可用于乙炔氢氯化反应的铜铋复合盐非贵金属催化剂及其制备方法	B01J	2.5星	2026.08.04	本发明公开了一种用于乙炔氢氯化反应的铜铋复合盐非贵金属催化剂。该催化剂主要包括活性组分及载体，所述活性组分为铋酸铜，占催化剂质量比为1~60 wt%。所述载体为碳材料(活性炭、碳纳米管和生物质等碳材料)和非碳材料（分子筛、埃洛石和膨润土等硅酸盐材料）中的一种。催化剂的制备方法采用原位沉积法、共沉淀法、水热/微波法和超声辅助浸渍法中的一种。在常压、反应温度为90~300℃、原料气空速为30~3000 h-1、原料气V（C2H2）：V（HCl）=1.0~2.0的条件下，对上述催化剂活性进行评价。本发明优点在于催化剂绿色环保、成本低廉，制备方法简单，催化剂性能优良，乙炔转化率可达到91.60%，氯乙烯选择性维持在99.20%。
414	CN202110548149.3	变极性双电极电弧车削加工方法	B23K	2.5星	2024.08.09	一种变极性双电极电弧车削加工方法，属于特种加工领域。采用前后两组工具电极，前端工具电极和后端工具电极同时分别与工件在两个放电间隙形成放电，利用两个放电间隙中产生的电弧放电同时对工件进行高效去除。本发明借助两个工具电极放电，实现正极性加工与负极性加工同时进行，能够在实现难切削材料的高效低成本加工的同时，大幅度降低单位能耗体积比。本发明较传统电弧加工方法效率更高，单位能耗体积比更低，更加节能环保。
415	CN202110507181.7	基于双流网络结构的快速显著性目标检测方法	G06T	2.5星	2023.04.18	本发明公开了一种基于双流网络结构的快速显著性目标检测方法，所述方法包括：对标注值进行预处理，将标注值拆分为边缘轮廓图和主体图；将ResNet-50网络中的卷积层conv3_4、conv4_6、conv5_3通过编码的方式分为边缘支流和主体支流；对边缘支流加入边缘轮廓增强模块，该支流用于检测边缘轮廓特征；主体支流按照ResNet-50的结构进行卷积，检测主体特征；将通道注意模块入到高级语义特征的输出通道；将边缘轮廓特征与主体特征进行融合得到精确的显著目标图。本发明提高了检测速度和目标边缘轮廓的检测精度。
416	CN202110266877.5	基于自动判别策略的低照度图像变化检测方法及装置	G06V	2.5星	2022.07.01	本发明公开了一种基于自动判别策略的低照度图像变化检测方法及装置，方法包括：输入两幅低照度环境下多时相监控图像，提出了一种自适应对数比算子用于生成一幅差异图；使用TVL1模型降低差异图中的噪声，使差异图更平滑；使用自动判别策略判断两幅多时相监控图像间是否存在变化，根据判别结果对获得的差异图进行自适应压缩获得压缩差异图，并对压缩差异图进行中值滤波获得最终的差异图；采用K-means算法对最终的差异图进行聚类得到变化区域和未变化区域。装置包括：生成模块、降噪与平滑模块、判别模块、及聚类模块，本发明能够实时准确稳定的检测出低照度监控场景中的变化，在多时相监控图像间反映的场景没有发生变化时不会导致误报警。

新疆大学发明专利推荐目录

序号	申请号	专利名称	IPC分类号	DPI星级	授权公告日	摘要
417	CN202110194288.0	一种水力切块煤巷掘进方法	E21C	2.5星	2022.11.25	本发明公开了一种水力切块煤巷掘进方法，涉及井工煤矿煤巷掘进技术领域，本发明包括煤巷本体、钻杆、高压水侧喷装置的喷管和高压水直喷装置的喷管，煤巷本体内划分有多个煤块本体，在煤巷正中心有一个缺口，每两个上下设置的煤块本体之间均设有煤块与煤体的外侧连接面，每个煤块本体与煤体之间均设有煤块与煤体的内侧连接面，高压水侧喷装置的喷管的一端固定连接有高压水侧喷装置的喷头，高压水直喷装置的喷管的一端固定连接有高压水直喷装置的喷头，该一种水力切块煤巷掘进的方法使用高压水流作为煤体切割动力和媒介，可有效降低煤巷掘进过程中煤尘量，改善煤巷掘进作业环境，提高煤巷掘进效率和质量。
418	CN202110155227.3	通过湖中心岛屿两侧沉积分异现象确定盆地古风向的方法	G01N	2.5星	2023.04.07	本发明公开了通过湖中心岛屿两侧沉积分异现象确定盆地古风向的方法，包括以下步骤：步骤S1：确定古风向待恢复区位置和层位；步骤S2：根据古风向待恢复区位置和层位，分析沉积体系；步骤S3：根据沉积体积，分析岛屿不同位置相组合沉积特征；步骤S4：根据岛屿不同位置沉积特征，确定盆地古风向；本发明主要依据岛屿中心沉积分异现象来恢复古风向。
419	CN202011132447.6	一种消除特高压直流站间通讯延时的实时计算方法	H02J	2.5星	2022.03.29	本发明公开了一种消除特高压直流站间通讯延时的实时计算方法，考虑整流侧与逆变侧的平波电抗器，获取直流输电线路等值参数，将直流输电等值模型根据距离进行等效，通过测量整流站或逆变站的直流电压与直流电流，可实现对直流输电线路任一点的直流电压与直流电流进行计算，得到的直流电压可作为低压限流控制器的启动电压；在整流站与逆变站都增加低压限流控制器，从而实现对另一站直流电流指令值的实时计算；选取最大值作为整流站最终的直流电流指令值，选取最小值作为逆变站最终的直流电流指令值，在此方法下，可保证整流侧直流电流指令值始终大于逆变站直流电流指令值，且可避免整流站与逆变站间的通讯延时对系统稳定及恢复的影响。
420	CN202010828009.7	一种煤系水中硫化氢含量的测定装置及使用方法	G01N	2.5星	2022.07.22	本发明涉及硫化氢测定技术领域，具体的说是一种煤系水中硫化氢含量的测定装置及使用方法，包括底板、吹扫机构、储存机构、真空泵、反应机构、支撑机构和收集机构；使用时，将储存机构设于底板顶部位于吹扫机构的一侧，通过相应的酒精加热同真空泵降压相配合，令硫化氢气体从煤系水内被析出，从而无需直接通入硫化氢气体，使得避免了对人体可能造成的伤害；使用时，将反应机构设于底板顶部背离储存机构的一侧，通过设置相应的反渗透装置，从而一方面可以加快硫化氢气体从煤系水中析出，另一方面又避免了析出气体中硫化氢被抽出导致的测量误差，使得使用更加方便，同时令测试结果更加准确。

新疆大学发明专利推荐目录

序号	申请号	专利名称	IPC分类号	DPI星级	授权公告日	摘要
421	CN202010678008.9	一种多孔硅布拉格反射镜生物传感器的检测方法	G01N	2.5星	2024.06.21	本发明公开了一种多孔硅布拉格反射镜生物传感器的检测方法。第一个信号光是从多孔硅布拉格反射镜表面反射的波长为635nm的探测光。生物探针用半导体量子点标记后与目标分子在多孔硅布拉格反射镜内进行反应，半导体量子点起折射率放大的作用。生物分子在多孔硅布拉格反射镜内发生特异性结合引起了器件折射率增大而导致探测反射光的增强。第二个信号光是生物反应物中量子点的荧光。反应物中的量子点在短波长光激发下，产生波长约为630nm的荧光。荧光信号由多孔硅布拉格反射镜进一步增强。用数字显微镜同时获得多孔硅布拉格反射镜表面两种光叠加的图像，通过计算生物反应前后图像的平均灰度值变化，可高灵敏的检测目标生物分子。
422	CN202010482409.7	一种新型图书馆管理机器人机构	B25J	2.5星	2024.11.01	一种新型图书馆管理机器人机构，包括运动总成、伸缩式底盘、底盘前部、底盘后部、编码直线电机、麦克纳姆轮、驱动电机、控制室、收集室、收集筐框架、齿条、收集筐、伺服电机、齿轮、中心推杆电机、清扫臂、左臂、右臂、第一伺服电机、上臂上部、臂中推杆电机、上臂下部、关节总成、第二伺服电机、电机连接架、第三伺服电机、清扫装置、排刷座、排刷、第一摄像头、第二摄像头、控制端、平台支架、控制主机、超声波传感器等；本发明移动灵活、定位准确、运动平稳且噪声较小，能自主清扫桌位上的物品，收集室具有较大的空间安置占位同学的物品，可将物品运送至指定位置，能通过软件系统控制，机器人服务历程记录。
423	CN202010314833.0	一种同步调相机的双轴励磁装置及调节方法	H02P	2.5星	2020.12.15	本发明实施例公开了一种同步调相机的双轴励磁装置，包括设置在转子d轴和q轴上的d轴励磁绕组和q轴励磁绕组，设置在定子上的电枢绕组，用于检测电网载荷值的载荷检测电路，以及用于获取同步调相机的实时无功功率值的无功功率测量电路。本发明主要根据电网载荷的情况，选择性使用及调节三个绕组的工作状态以及励磁电流，不仅可以解决同步调相机过度进相因发热损坏端部绝缘的问题，还能避免机组失去静态稳定性，而且还能够从三者电流合理调节的方式上控制调相机的整个绕组发热热量，减少附加冷却结构的使用。
424	CN201910854951.8	一种薄壁无定型碳纳米管及其制备方法和应用	C01B	2.5星	2022.08.09	本发明提供了一种薄壁无定型碳纳米管及其制备方法和应用，属于功能材料技术领域。本发明将磺化聚合物纳米管-SiO2复合材料进行煅烧，在煅烧过程中聚合物纳米管会收缩，同时嵌入到聚合物纳米管的管壁内的SiO2颗粒成型并会对聚合物纳米管产生物理挤压作用，得到碳纳米管-SiO2复合材料，后经氢氟酸刻蚀去除SiO2，最终制备得到薄壁无定型碳纳米管。本发明提供的制备方法操作简单、无需特殊装置及昂贵的试剂，且制备得到的薄壁无定型碳纳米管作为锂离子电池负极材料，展现出优异的电化学性能。

新疆大学发明专利推荐目录

序号	申请号	专利名称	IPC分类号	DPI星级	授权公告日	摘要
425	CN201811612926.0	一种印刷体维吾尔文图像单词的高精度匹配算法	G06F	2.5星	2023.12.15	本发明公开了一种印刷体维吾尔文图像单词的高精度匹配算法，首先利用SIFT特征，检索出检索图片和匹配图片的局部特征点，利用基于欧式距离的匹配算法，对局部特征点进行特征匹配，得到特征匹配点后，对匹配的结果数目进行一次预匹配，从而将误匹配的匹配图像进行筛除。经过预匹配后将匹配好的特征对象，用单应性变换来对进行一次映射处理，根据映射结果进行投射变换，再根据透射变换的结果对匹配词进行检索结果的鉴定。
426	CN201811389847.8	一种负极材料的制备方法	H01M	2.5星	2020.07.14	本发明涉及一种电化学性能优良的负极材料及其制备方法和制品，方法为：在负极材料主体的表面沉积类金刚石碳或者在制备负极材料主体的过程中生成的中间产物的表面沉积类金刚石碳后继续制备过程制得电化学性能优良的负极材料，制得的负极材料主要由负极材料主体以及沉积在负极材料主体表面的类金刚石碳组成，由该负极材料制得的制品主要由电池负极极片主体以及位于其单侧或双侧的涂层组成，涂层中含该负极材料。本发明方法操作简单，节能环保，制得的负极材料的导电性能好，多次充放电循环后的稳定好，由其制品制得的电池多次充放电循环后的容量保持率和首圈库仑效率高，电化学性能优异。
427	CN201810059246.4	一种自然循环热空气的电馕坑	A47J	2.5星	2024.01.30	一种自然循环热空气的电馕坑，包括馕坑本体、空气夹层、保温层、加热元件、限流板、测温装置、温控装置、集气管道、馕坑壁、直管段、弯管段、气流分散器、导流板等，直管段内部形成的真空区为热空气的自然循环提供了驱动力，通过限流板的导流作用充分回收了热空气，有效提高了馕坑的热效率。

如有转化应用意向，请与我们联系

联 系 人：马娟 苗铎
联系电话：0991-4619397，4619677
邮　　箱：xjdxkyc@163.com

新疆大学发明专利清单